



ORTOFOTO 2006 CON CATASTALE



ORTOFOTO 2018 (ESRI IMAGERY)





| VISTE |
|-------|
| |

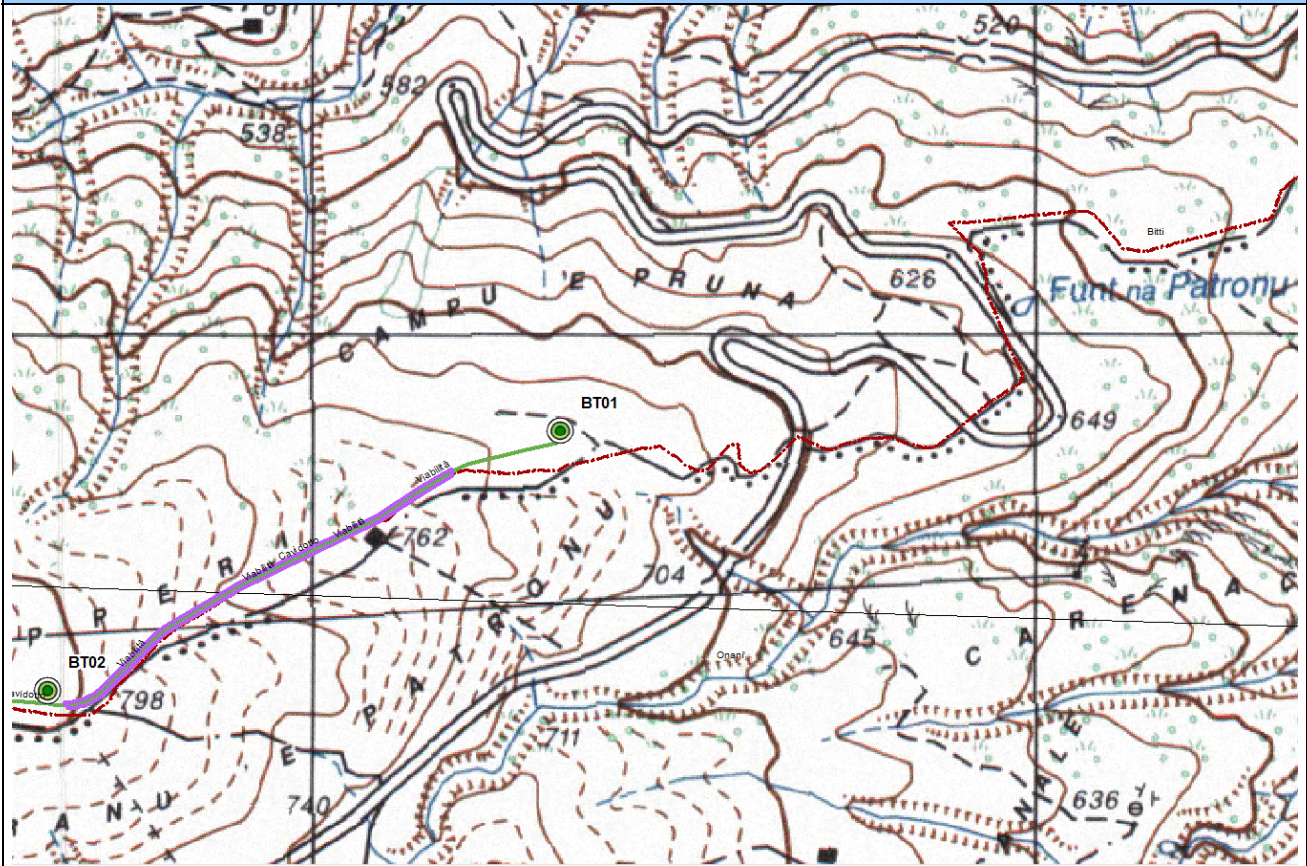


3.5 P ALA BT01

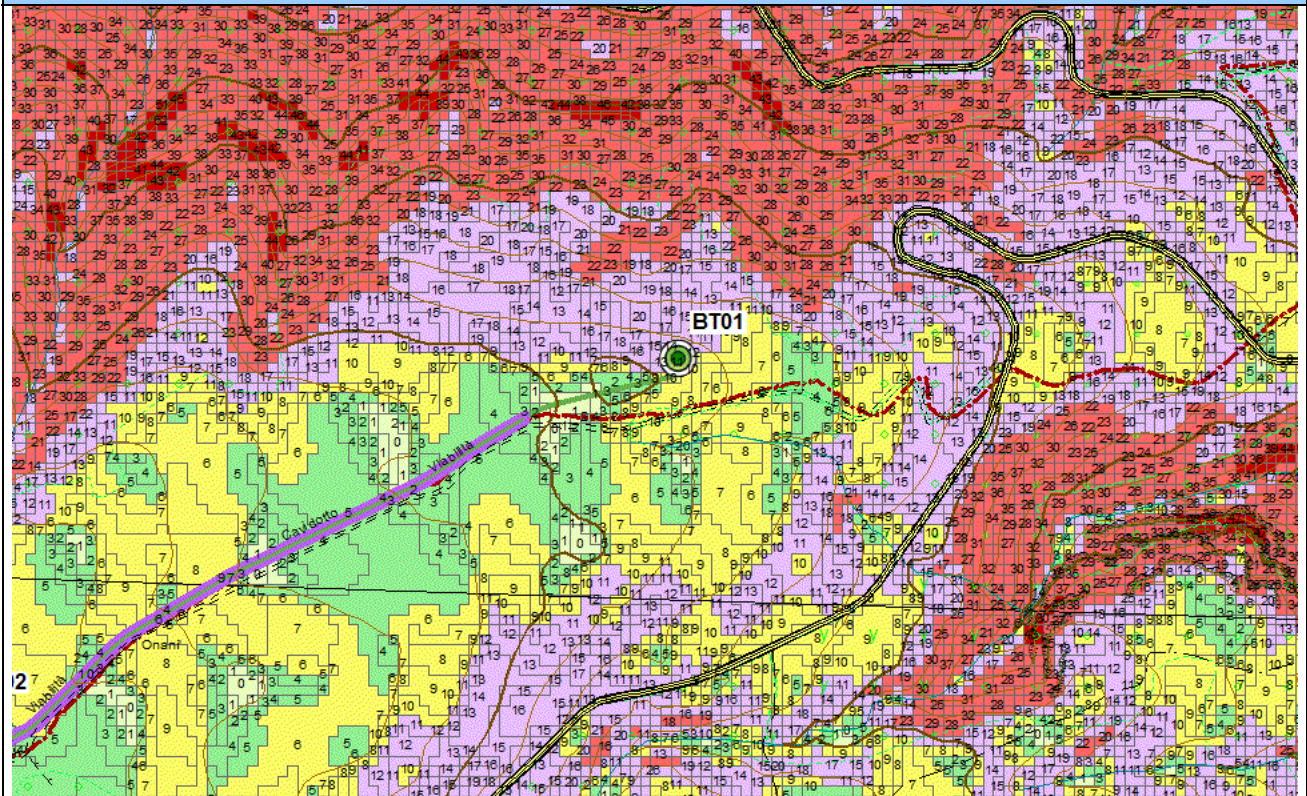
| Ambito analizzato | Area di posizionamento della pala BT01 | | | | | | |
|---|--|--------------------------------|-----------------------|-------|-----------|-----------|------------|
| Caratteri generali del sito | Il sito è ubicato in comune di Bitti, in loc. Campu 'e Pruna, in area agropastorale collinare | | | | | | |
| Morfologia | Forme collinari da subpianeggianti a moderatamente acclivi | | | | | | |
| Caratteri pedologici | Suoli derivati da rocce metamorfiche, di media profondità, franco sabbiosi, mediamente permeabili, subacidi, parzialmente desaturati. Locale presenza di roccia affiorante (rock outcrop) | | | | | | |
| Giudizio di capacità d'uso del suolo | Suoli classificabili nelle classi VI, IV e VIII della land capability per limitazioni dovute allo scarso spessore del suolo e alla pietrosità | | | | | | |
| Uso del suolo e colture in atto | Pascolo, pascolo arborato con sughera | | | | | | |
| Copertura vegetale | Garighe terofitiche, pascolo con sughere isolate | | | | | | |
| Naturalità | Livello di naturalità medio-basso per presenza del pascolo | | | | | | |
| Reti e infrastrutture | Viabilità interpodereale con accesso sulla S.P. 50 | | | | | | |
| Caratteri del paesaggio agrario | Paesaggio del pascolo arborato | | | | | | |
| Fattori economici di mantenimento o di trasformazione | Attività agropastorali. Limitate potenzialità economiche della produzione agrozootecnica per la scarsa fertilità del suolo | | | | | | |
| Sensibilità del sito | Suolo e soprassuolo di scarso interesse agrario, sensibilità bassa, media per la presenza delle sughere | | | | | | |
| Possibili impatti | Perdita di suolo per creazione di tratto di viabilità di accesso (necessario il riallineamento della strada interpodereale). Prelievo e trapianto di alcune sughere presenti. Polveri e rumore durante l'esecuzione dei lavori | | | | | | |
| | | | Origine degli impatti | | | | |
| | Produzione degli impatti | | Sottostazioni | Pale | Viabilità | Cavidotti | Cumulativi |
| | Ambito | Componenti | | | | | |
| | Sistema ambientale | Vegetazione | 0 | 1 | 1 | 1 | 1 |
| | | Idrologia | 0 | 0 0 0 | | | 0 |
| | | Suolo | 0 | 3 | 1 | 1 | 3 |
| | | Produzione di rumori e polveri | 0 | 1 | 1 | 1 | 1 |
| | Infrastrutture rurali | Aziende agricole | 0 | 0 0 0 | | | 0 |
| | | Rete irrigua | 0 | 0 0 0 | | | 0 |
| Viabilità locale | | 0 0 | | 2 | 1 | 2 | |
| Altre infrastrutture | | 0 | 0 0 0 | | | 0 | |
| Paesaggio agrario | Modifiche del paesaggio agrario | 0 | 3 | 1 0 | | 3 | |
| Interventi di mitigazione e compensazione | Ripristino dei luoghi al termine dei lavori. Prelievo e trapianto di n. 15 sughere presenti lungo il percorso. Interventi di forestazione compensativa | | | | | | |
| Note | Scala approssimativa delle immagini 1:5.000 | | | | | | |
| Giudizio sintetico | Impatti complessivamente limitati, buona compatibilità con il progetto | | | | | | |

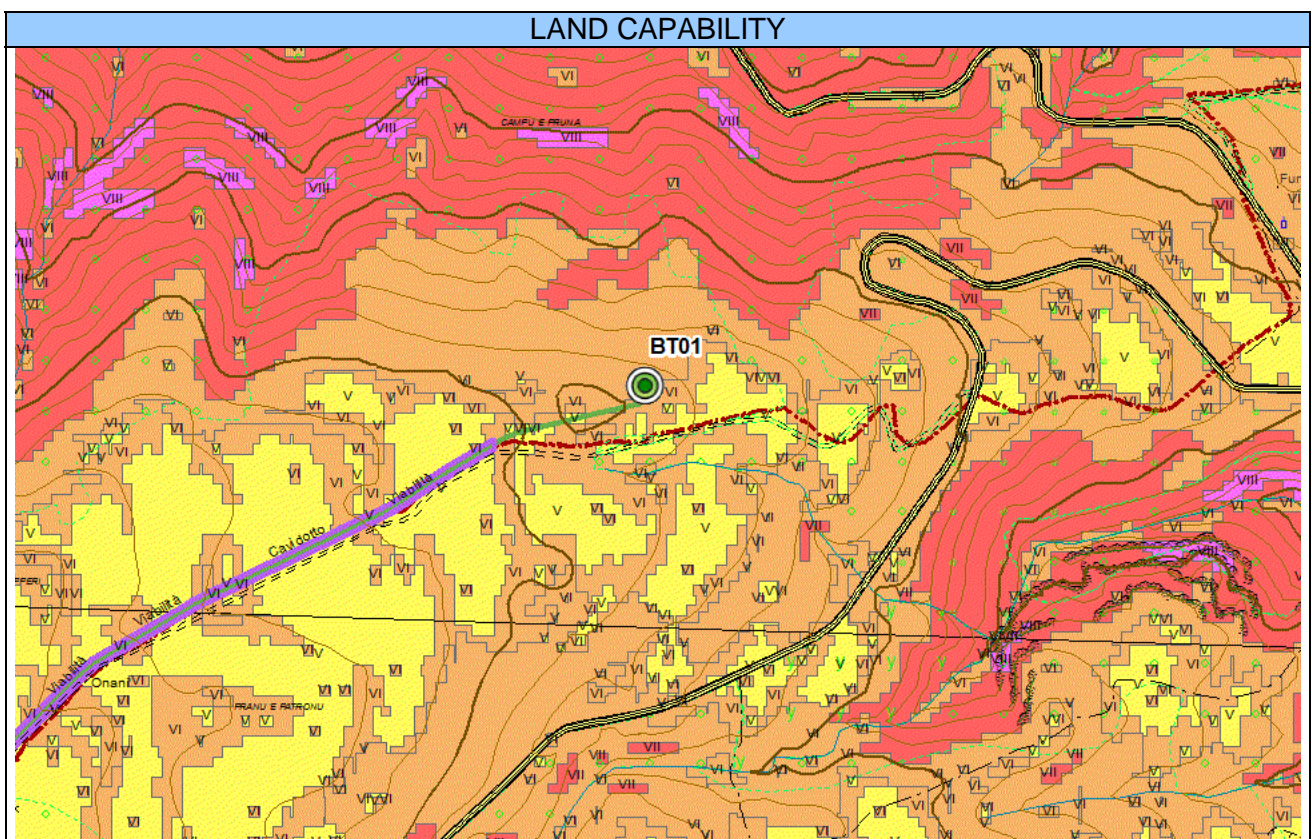
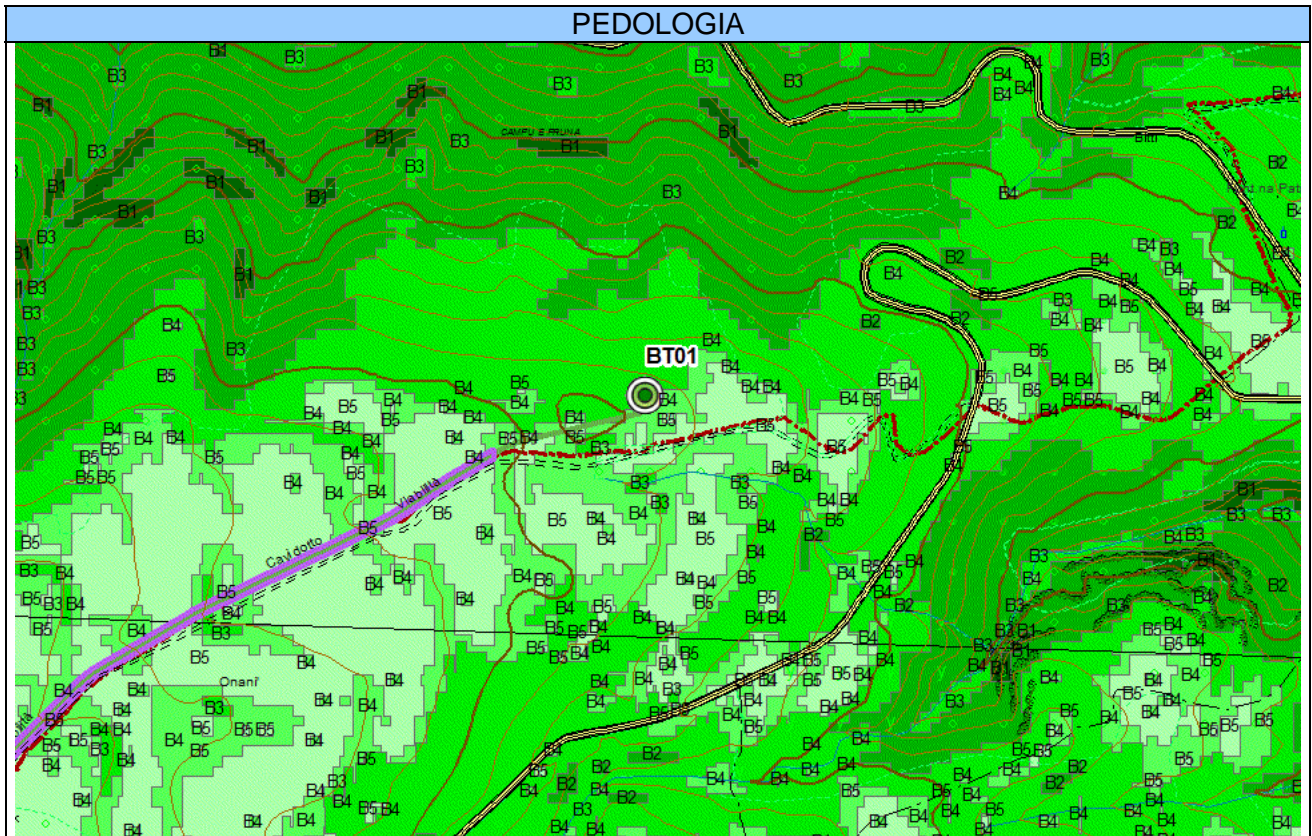


INQUADRAMENTO IGM



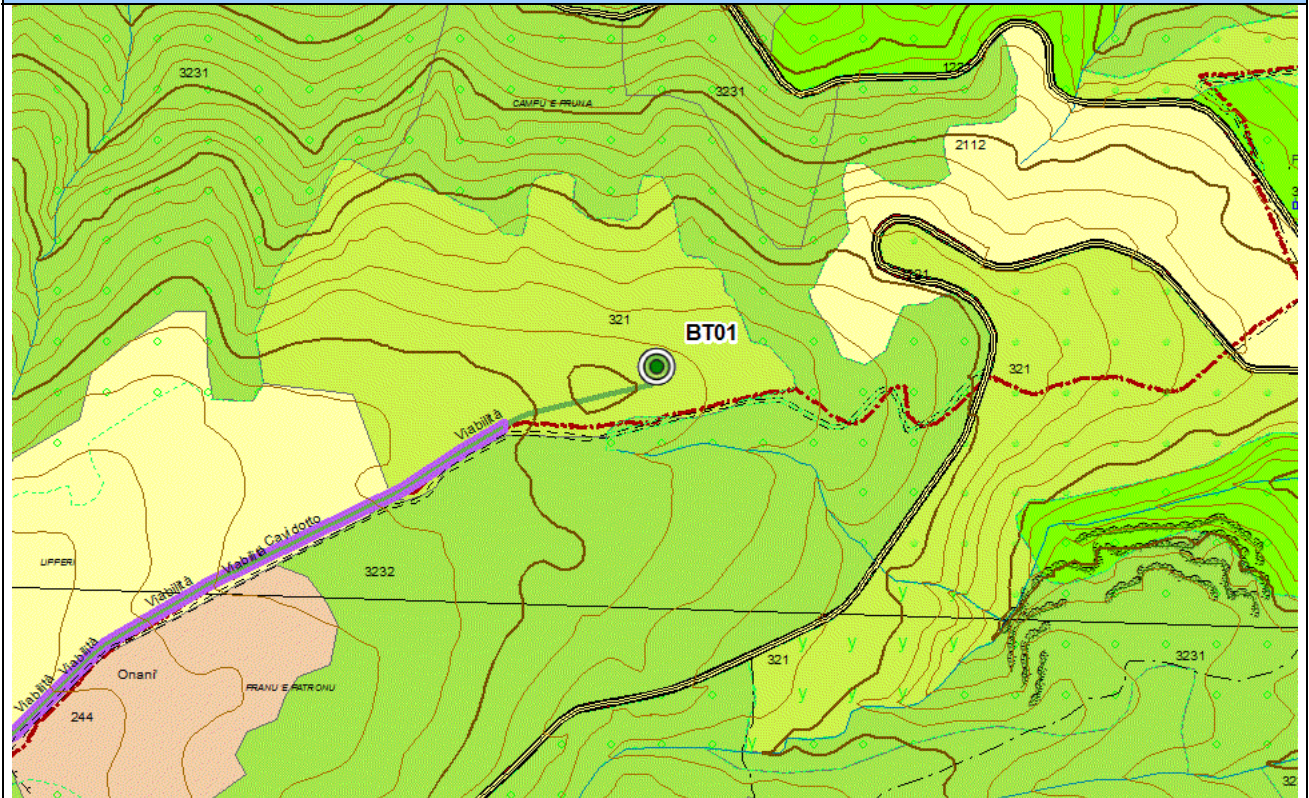
MORFOLOGIA



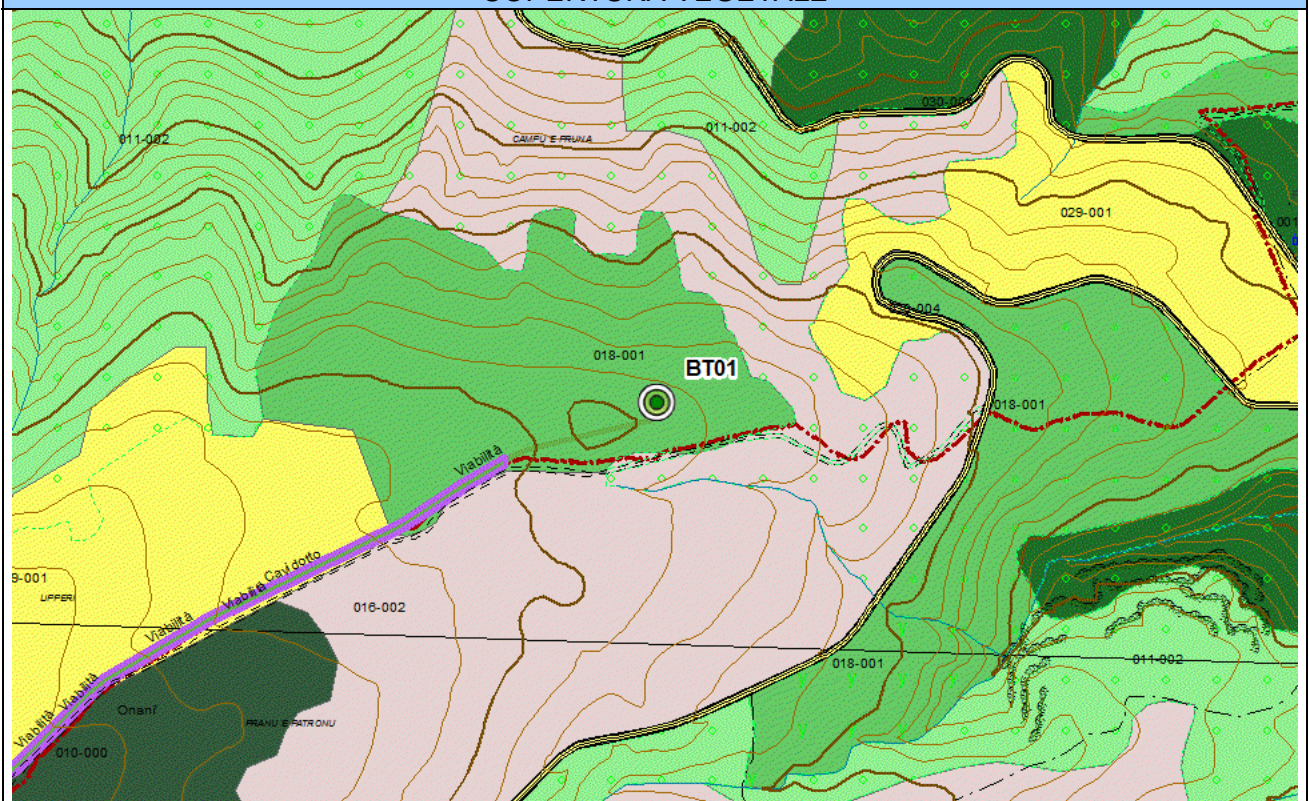




USO DEL SUOLO

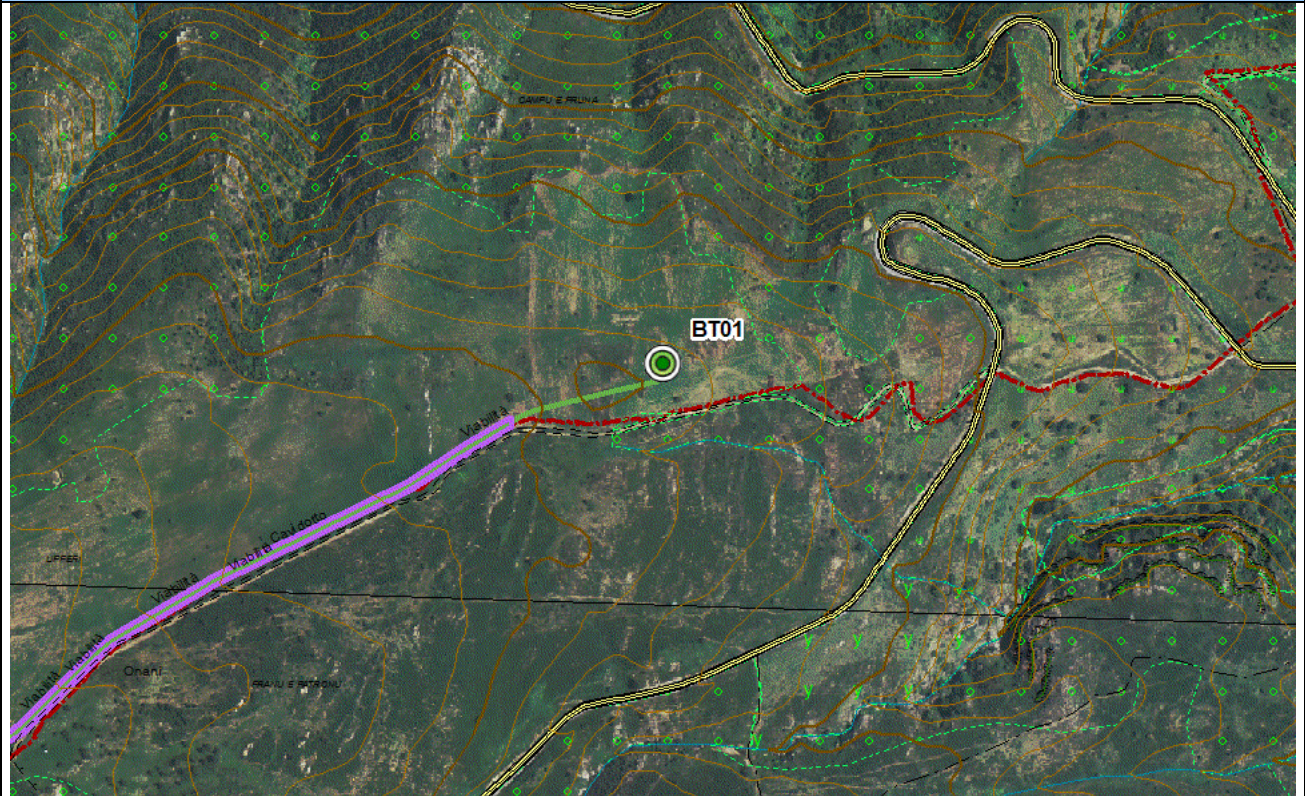


COPERTURA VEGETALE

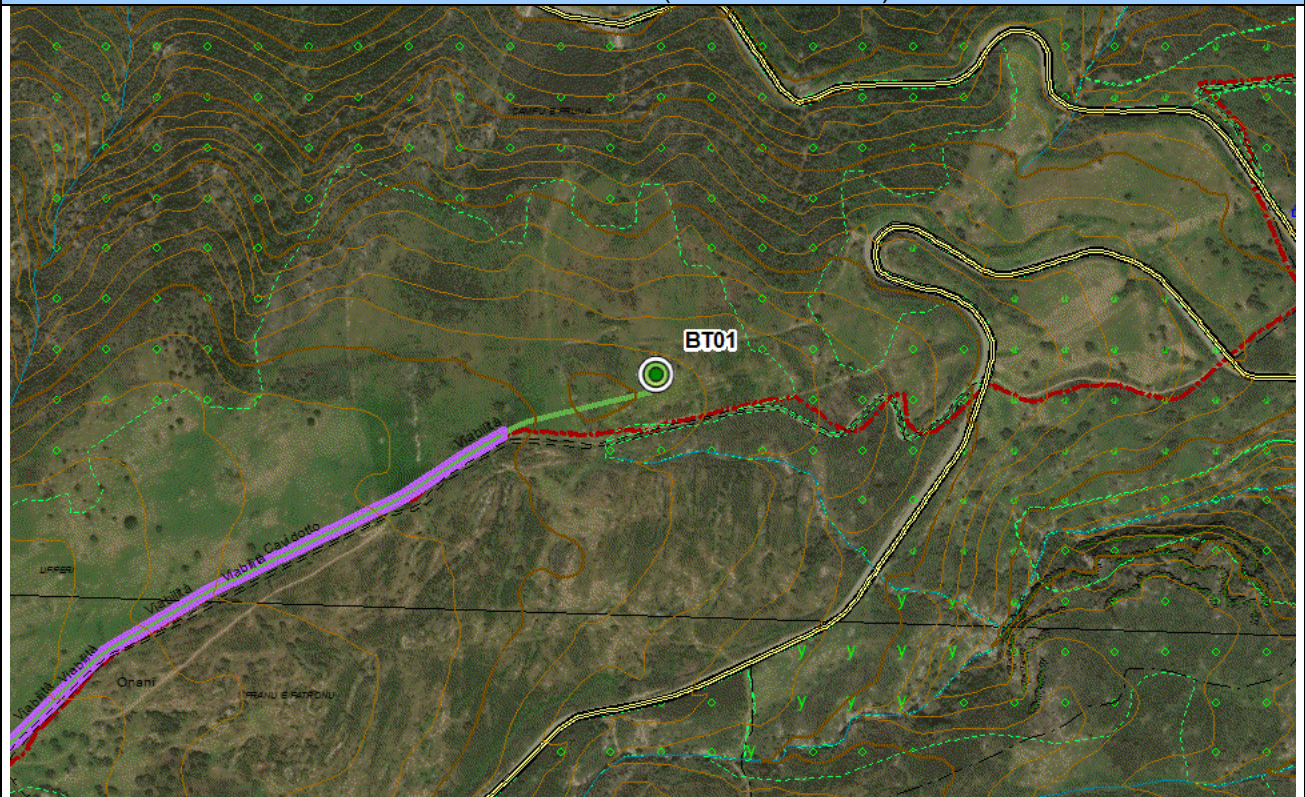




ORTOFOTO 2006 (RAS)



ORTOFOTO 2018 (ESRI IMAGERY)





VISTE

(immagine Google Street view)

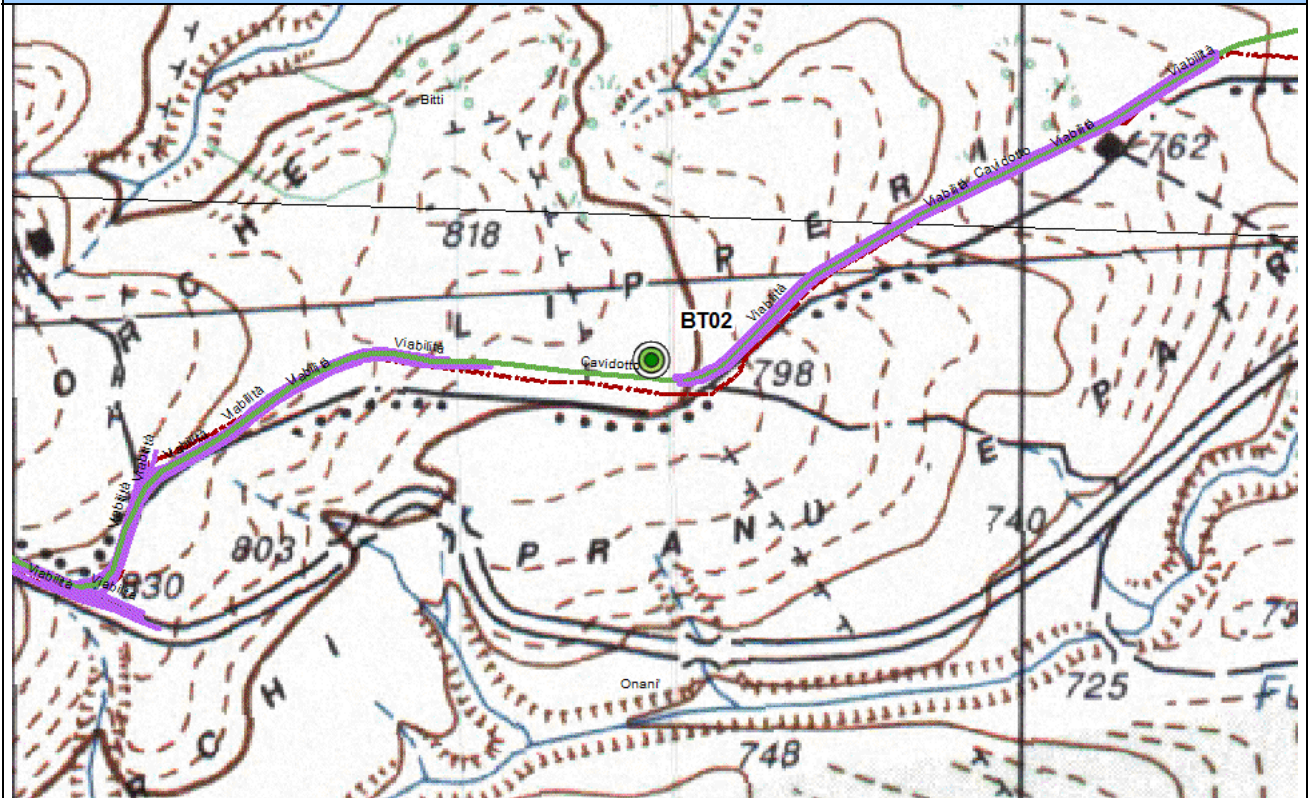


3.6 P ALA BT02

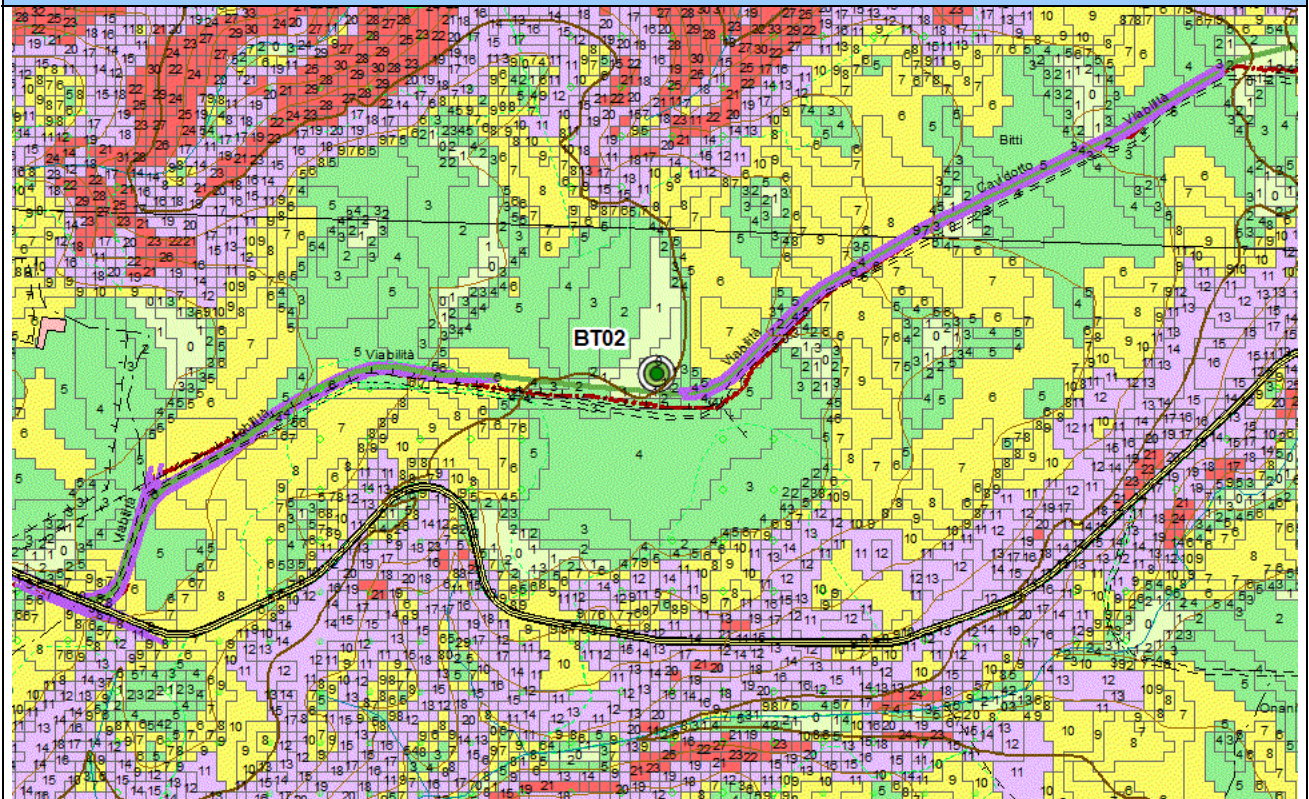
| <i>Ambito analizzato</i> | <i>Area di posizionamento della pala BT02</i> | | | | | | |
|--|--|--------------------------------|------------------------------|-------------|------------------|------------------|-------------------|
| <i>Caratteri generali del sito</i> | Il sito è ubicato in Comune di Bitti in loc. Lipperi in un'area agropastorale collinare | | | | | | |
| <i>Morfologia</i> | Forme collinari da subpianeggianti a moderatamente acclivi | | | | | | |
| <i>Caratteri pedologici</i> | Suoli costituiti da depositi di versante derivati da rocce metamorfiche, di media profondità, franco sabbiosi, mediamente permeabili, subacidi, parzialmente desaturati | | | | | | |
| <i>Giudizio di capacità d'uso del suolo</i> | Suoli classificabili nelle classi VI, IV e VIII della land capability per limitazioni dovute allo scarso spessore del suolo e alla pietrosità | | | | | | |
| <i>Uso del suolo e colture in atto</i> | Pascolo e pascolo arborato con sughera | | | | | | |
| <i>Copertura vegetale</i> | Garighe terofitiche, pascolo con sughera | | | | | | |
| <i>Naturalità</i> | Livello di naturalità medio-basso per presenza del pascolo | | | | | | |
| <i>Reti e infrastrutture</i> | Viabilità interpodereale con accesso sulla S.P. 50 | | | | | | |
| <i>Caratteri del paesaggio agrario</i> | Paesaggio del pascolo arborato | | | | | | |
| <i>Fattori economici di mantenimento o di trasformazione</i> | Attività agropastorali. Limitate potenzialità economiche della produzione per la scarsa fertilità del suolo | | | | | | |
| <i>Sensibilità del sito</i> | Perdita di suolo per creazione di tratto di viabilità di accesso (necessario il riallineamento della strada interpodereale). Prelievo e trapianto di alcune sughere presenti. Polveri e rumore durante l'esecuzione dei lavori | | | | | | |
| <i>Possibili impatti</i> | Perdita di suolo. Polveri e rumore durante l'esecuzione dei lavori | | | | | | |
| | | | <i>Origine degli impatti</i> | | | | |
| | <i>Produzione degli impatti</i> | | Sottostazioni | Pale | Viabilità | Cavidotti | Cumulativi |
| | Ambito | Componenti | | | | | |
| | <i>Sistema ambientale</i> | Vegetazione | 0 | 1 | 1 | 1 | 1 |
| | | Idrologia | 0 | 0 | 0 0 0 | | |
| | | Suolo | 0 | 3 | 1 | 1 | 3 |
| | | Produzione di rumori e polveri | 0 | 1 | 1 | 1 | 1 |
| | <i>Infrastrutture rurali</i> | Aziende agricole | 0 | 0 | 0 0 0 | | |
| | | Rete irrigua | 0 | 0 | 0 0 0 | | |
| Viabilità locale | | 0 0 | | 2 | 1 | 2 | |
| | Altre infrastrutture | 0 | 0 | 0 0 0 | | | |
| <i>Paesaggio agrario</i> | Modifiche del paesaggio agrario | 0 | 3 | 1 0 | | 3 | |
| <i>Interventi di mitigazione e compensazione</i> | Ripristino dei luoghi al termine dei lavori. Prelievo e trapianto di n. 10 sughere presenti lungo il percorso. Interventi di forestazione compensativa | | | | | | |
| <i>Note</i> | Scala approssimativa delle immagini 1:5.000. La pala BT02 si trova fra le pale BT01 e BT03, posizionate rispettivamente a circa 800 e 780 m di distanza | | | | | | |
| <i>Giudizio sintetico</i> | Impatti complessivamente limitati, buona compatibilità con il progetto | | | | | | |

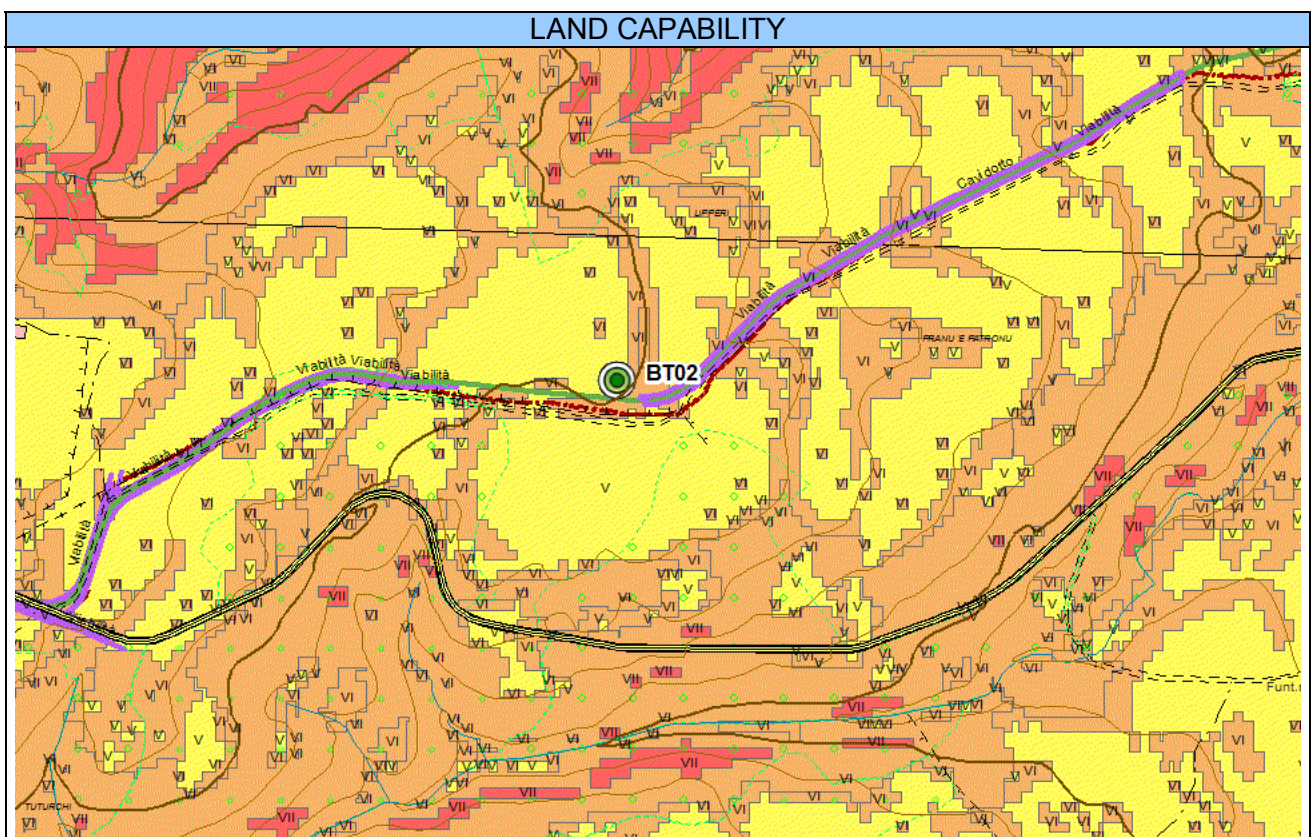
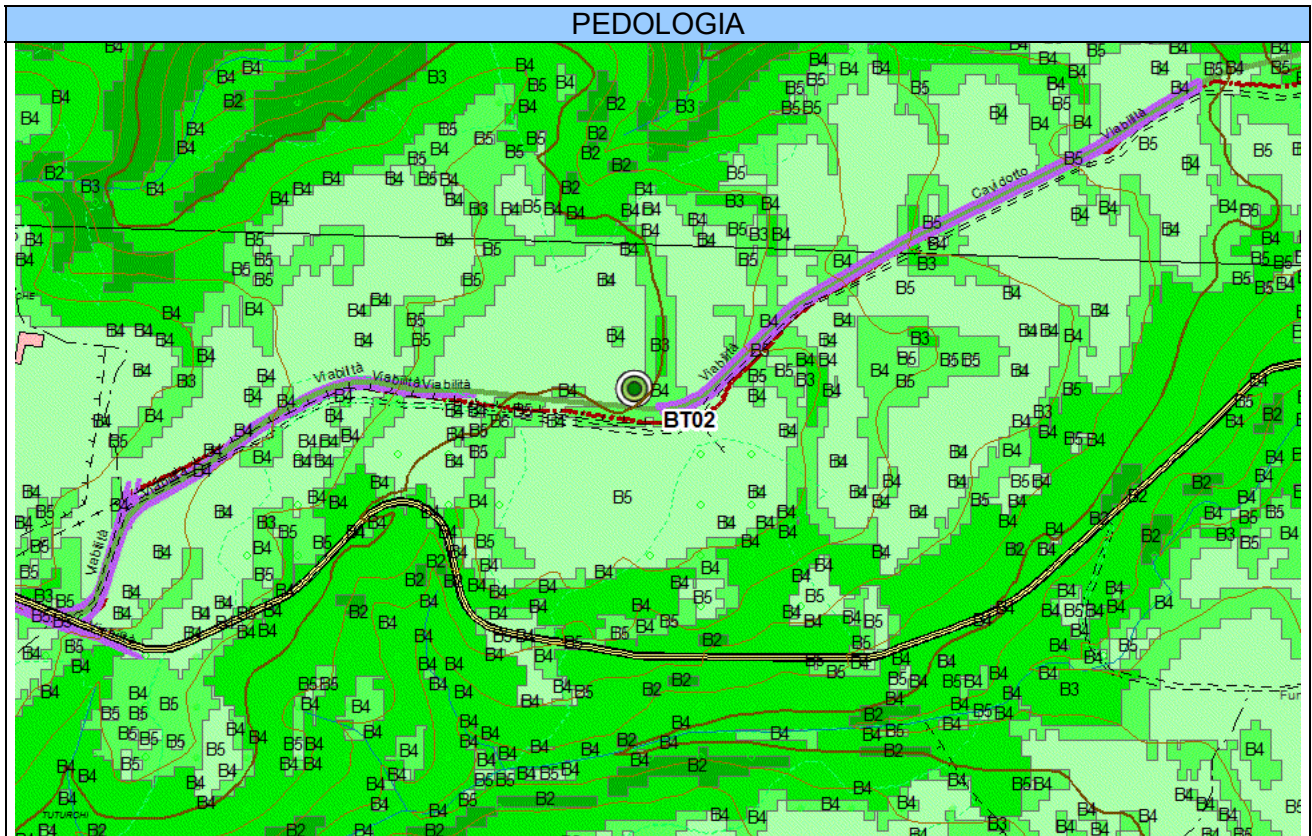


INQUADRAMENTO IGM



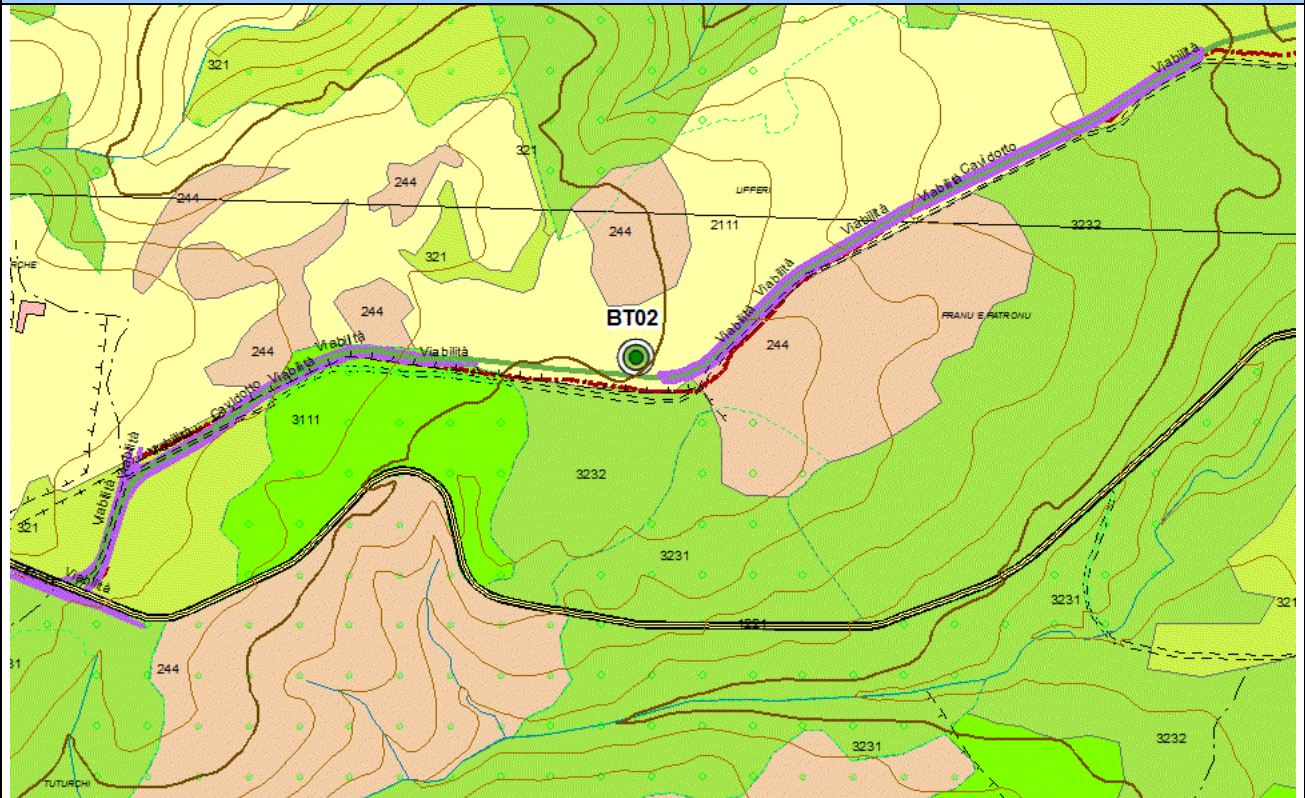
MORFOLOGIA



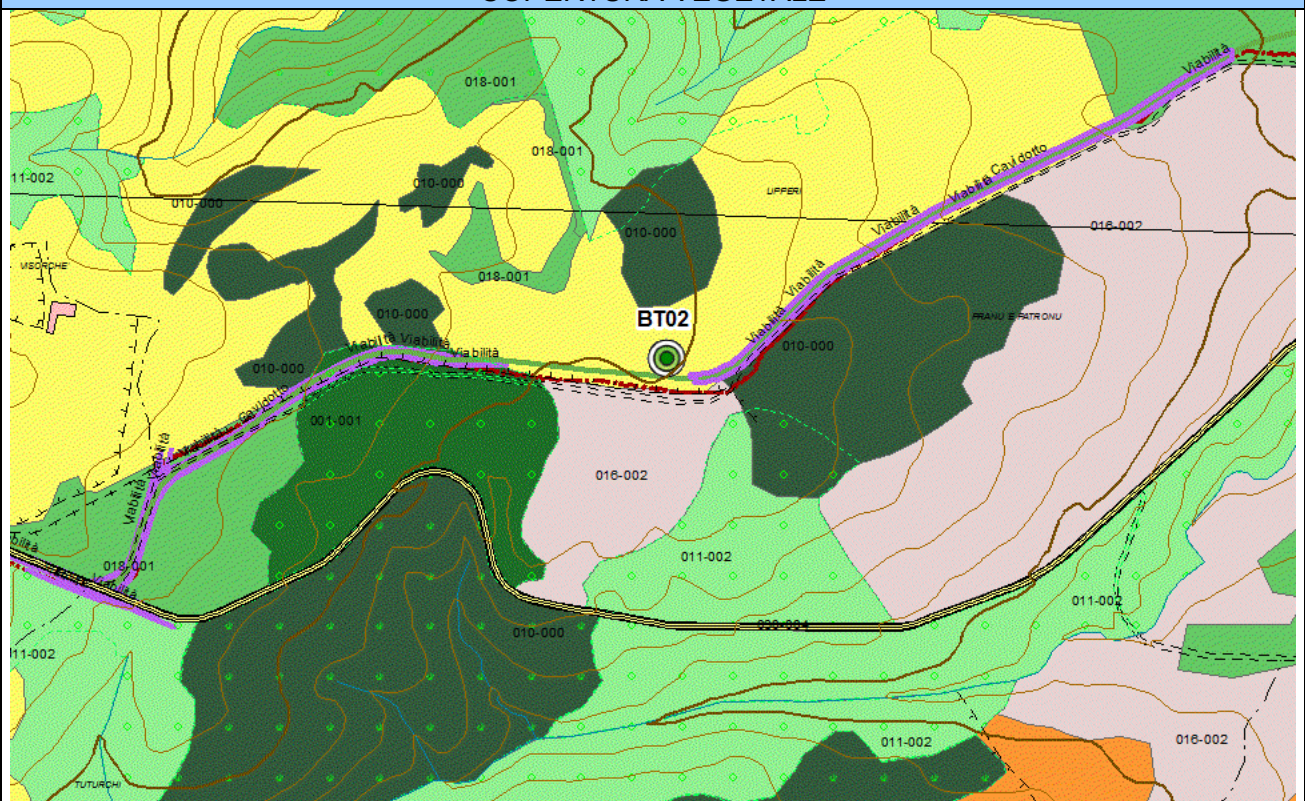




USO DEL SUOLO

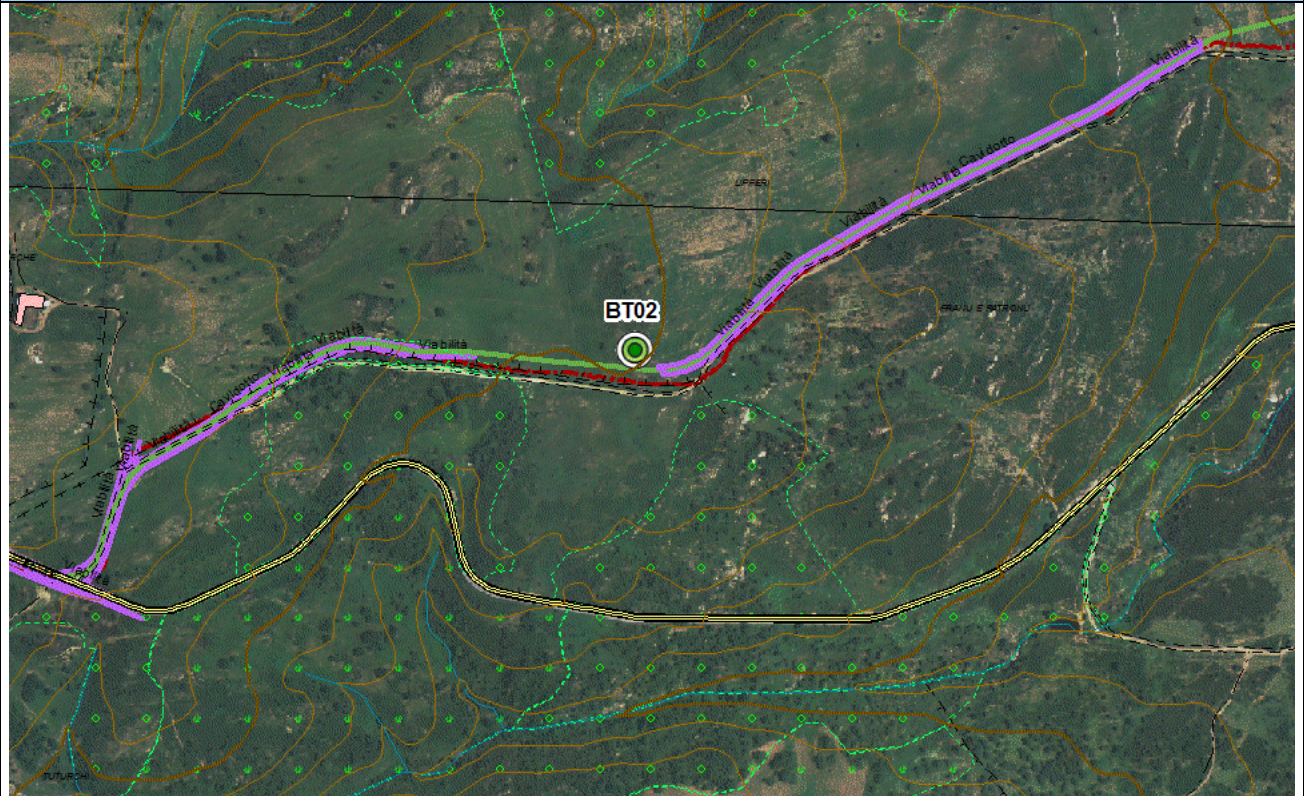


COPERTURA VEGETALE

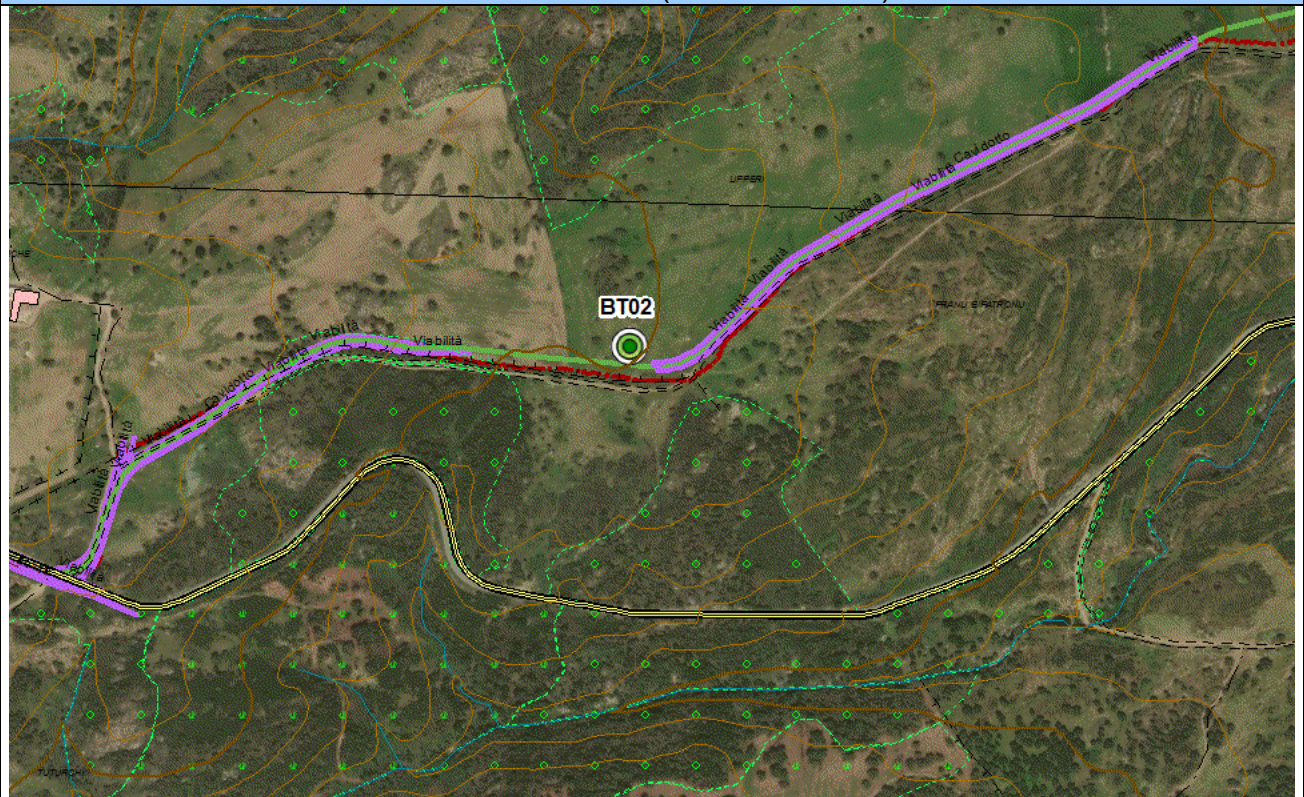




ORTOFOTO 2006 (RAS)



ORTOFOTO 2018 (ESRI IMAGERY)





| VISTE |
|-------|
| |

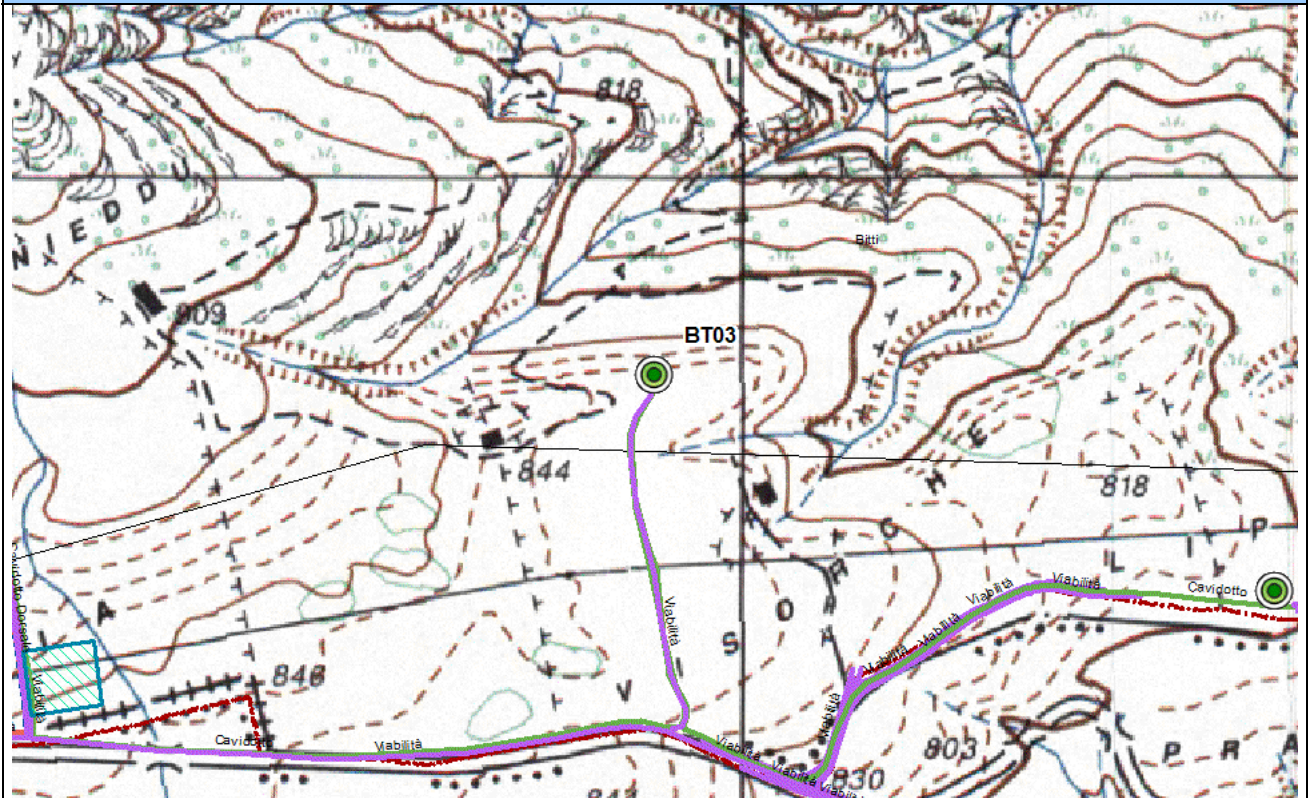


3.7 P ALA BT03

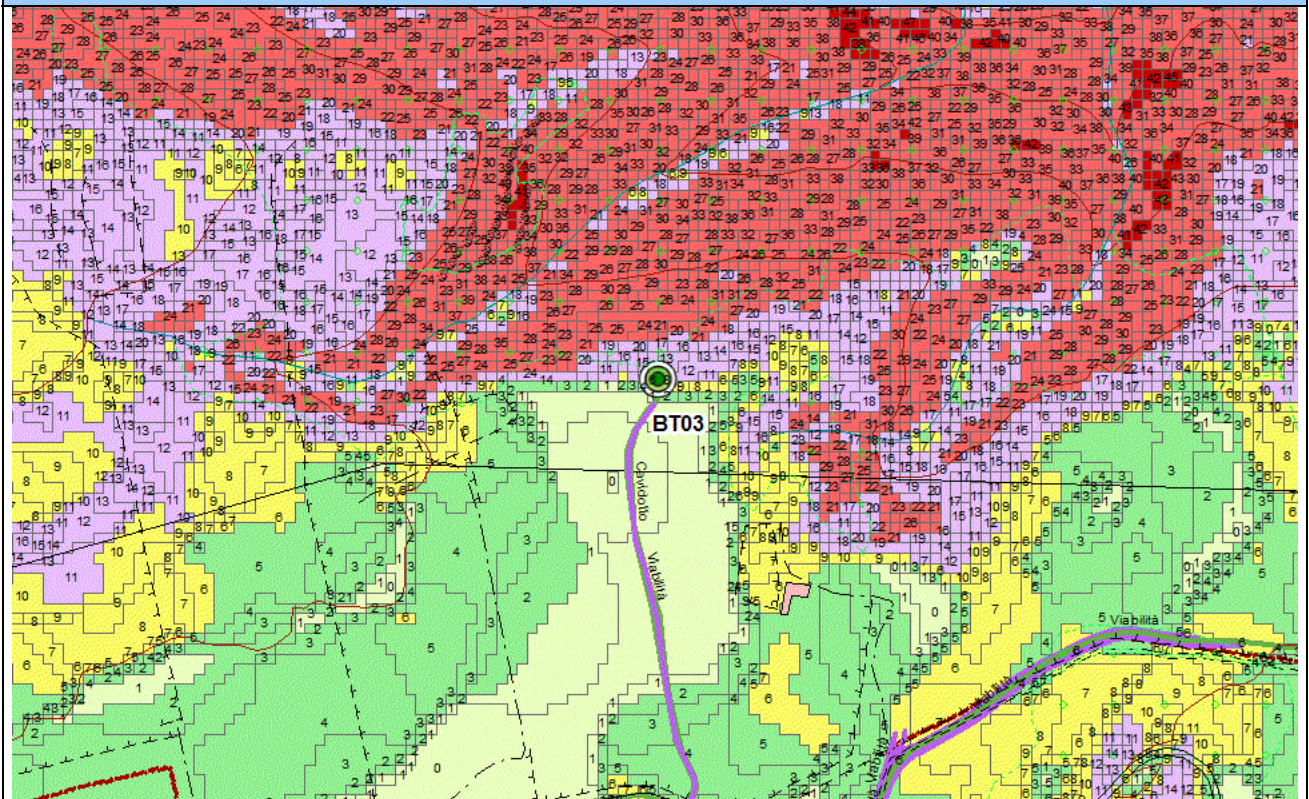
| <i>Ambito analizzato</i> | <i>Area di posizionamento della pala BT03</i> | | | | | | |
|--|--|--------------------------------|------------------------------|-------------|------------------|------------------|-------------------|
| <i>Caratteri generali del sito</i> | Il sito è ubicato in comune di Bitti in loc. Visorche, in un'area agropastorale collinare | | | | | | |
| <i>Morfologia</i> | Forme collinari da subpianeggianti a moderatamente acclivi | | | | | | |
| <i>Caratteri pedologici</i> | Suoli derivati da rocce metamorfiche, di media profondità, franco sabbiosi, mediamente permeabili, subacidi, parzialmente desaturati. Locale presenza di roccia affiorante (rock outcrop) | | | | | | |
| <i>Giudizio di capacità d'uso del suolo</i> | Suoli classificabili nelle classi VI, IV e VIII della land capability per limitazioni dovute allo scarso spessore del suolo e alla pietrosità | | | | | | |
| <i>Uso del suolo e colture in atto</i> | Colture estensive, pascolo e pascolo arborato con sughera | | | | | | |
| <i>Copertura vegetale</i> | Colture agrarie estensive, pascolo arborato con sughere isolate | | | | | | |
| <i>Naturalità</i> | Livello di naturalità da basso per la presenza dei terreni arati a medio-basso per presenza del pascolo | | | | | | |
| <i>Reti e infrastrutture</i> | Viabilità interpoderale con accesso sulla S.P. 50, fabbricati zootecnici non residenziali | | | | | | |
| <i>Caratteri del paesaggio agrario</i> | Paesaggio delle colture estensive e del pascolo arborato | | | | | | |
| <i>Fattori economici di mantenimento o di trasformazione</i> | Attività agropastorali. Limitate potenzialità economiche della produzione agrozootecnica per la scarsa fertilità del suolo | | | | | | |
| <i>Sensibilità del sito</i> | Suolo e soprassuolo di scarso interesse agrario, sensibilità bassa | | | | | | |
| <i>Possibili impatti</i> | Perdita di suolo. Polveri e rumore durante l'esecuzione dei lavori | | | | | | |
| | | | <i>Origine degli impatti</i> | | | | |
| | <i>Produzione degli impatti</i> | | <i>Sottostazioni</i> | <i>Pale</i> | <i>Viabilità</i> | <i>Cavidotti</i> | <i>Cumulativi</i> |
| | <i>Ambito</i> | <i>Componenti</i> | | | | | |
| | <i>Sistema ambientale</i> | Vegetazione | 0 | 1 | 1 | 1 | 1 |
| | | Idrologia | 0 | 0 0 0 | | | 0 |
| | | Suolo | 0 | 3 | 1 | 1 | 3 |
| | | Produzione di rumori e polveri | 0 | 1 | 1 | 1 | 1 |
| | <i>Infrastrutture rurali</i> | Aziende agricole | 0 | 0 0 0 | | | 0 |
| | | Rete irrigua | 0 | 0 0 0 | | | 0 |
| Viabilità locale | | 0 0 | | 1 | 1 | 1 | |
| Altre infrastrutture | | 0 | 0 0 0 | | | 0 | |
| <i>Paesaggio agrario</i> | Modifiche del paesaggio agrario | 0 | 3 | 1 0 | | 3 | |
| <i>Interventi di mitigazione e compensazione</i> | Ripristino dei luoghi al termine dei lavori. Interventi di forestazione compensativa | | | | | | |
| <i>Note</i> | Scala approssimativa delle immagini 1:5.000. La pala BT03 si trova fra le pale BT02 e BT04, posizionate rispettivamente a circa 780 e 1080 m di distanza, ed è a circa 740 m dall'area di cantiere | | | | | | |
| <i>Giudizio sintetico</i> | Impatti complessivamente limitati, buona compatibilità con il progetto | | | | | | |



INQUADRAMENTO IGM

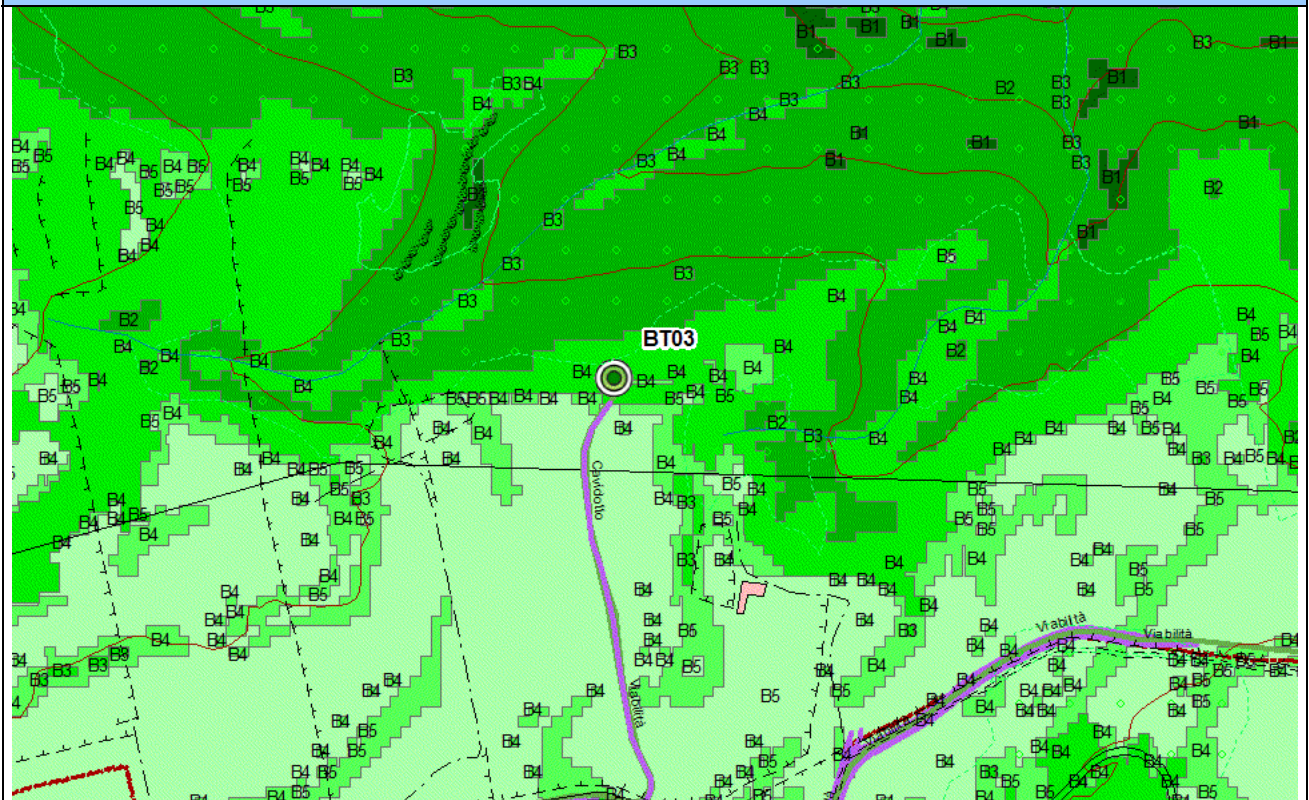


MORFOLOGIA

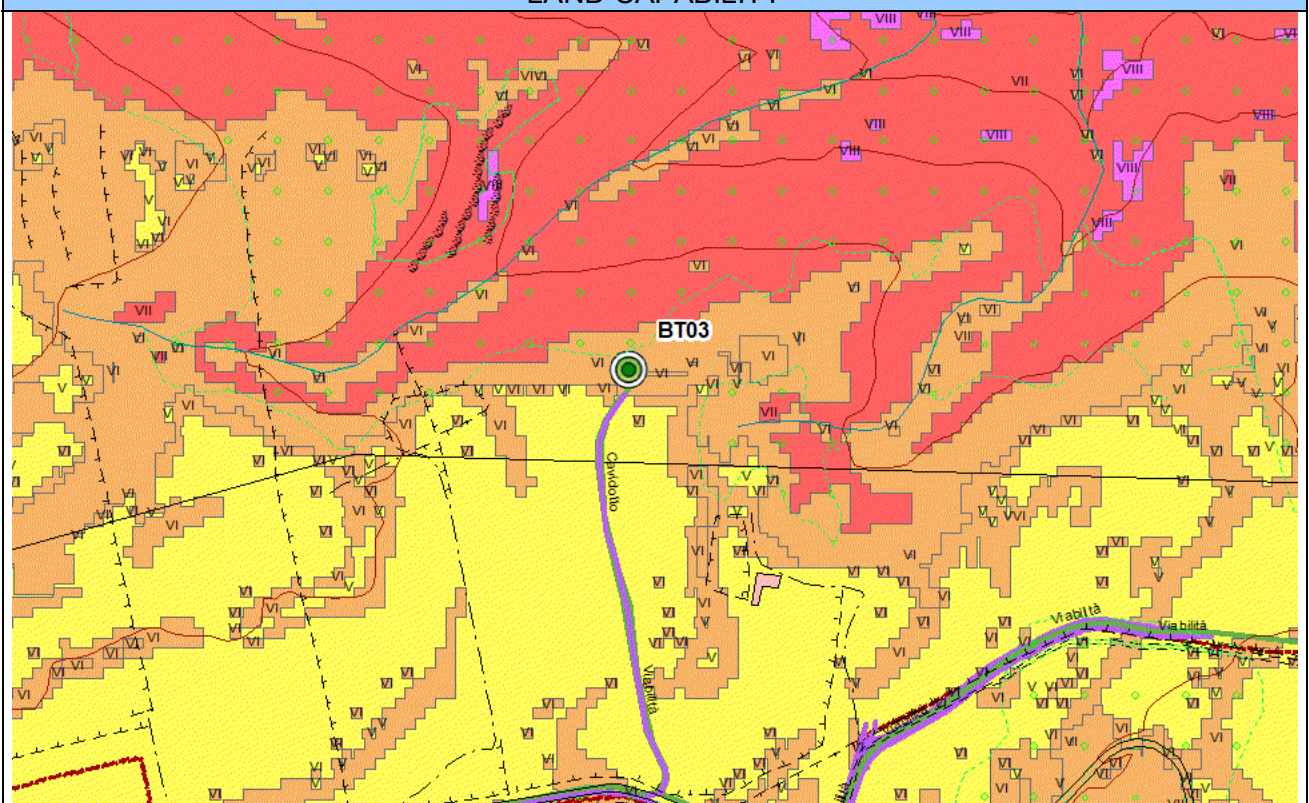




PEDOLOGIA

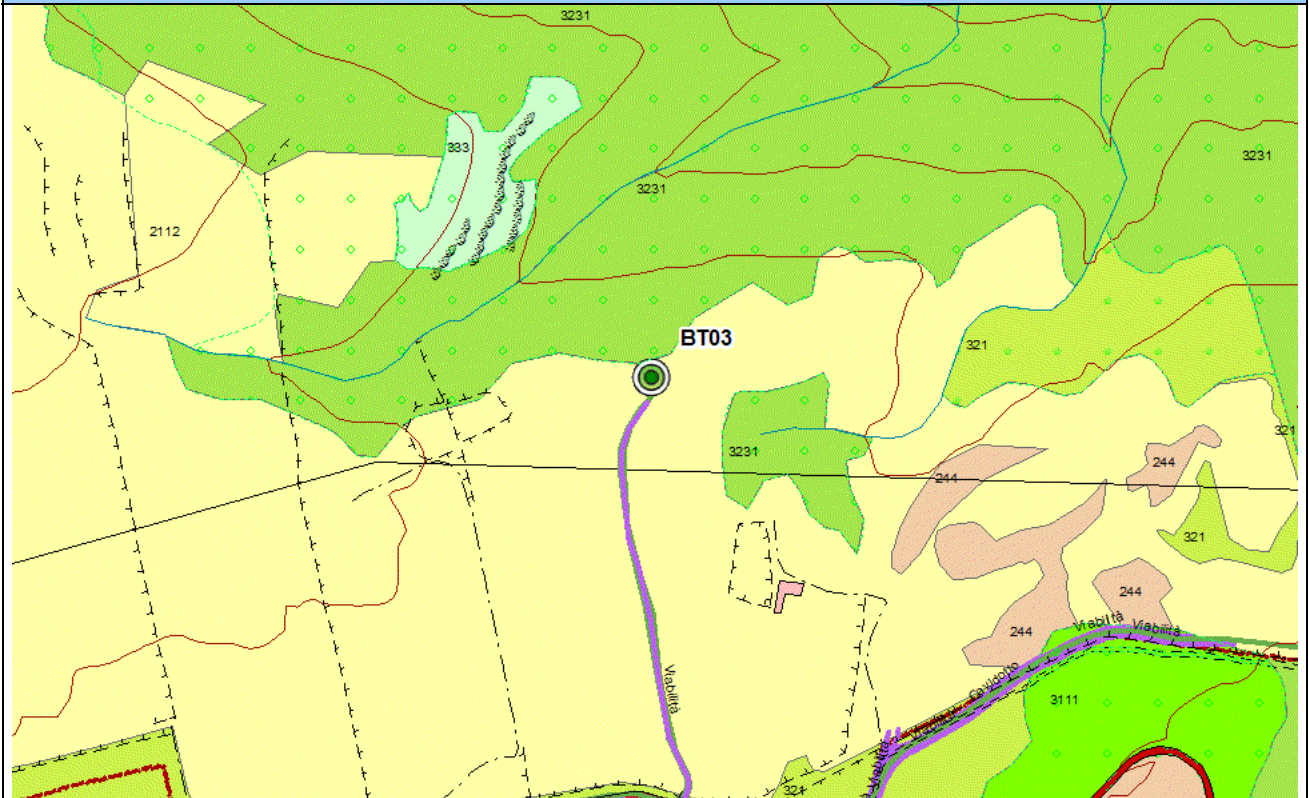


LAND CAPABILITY

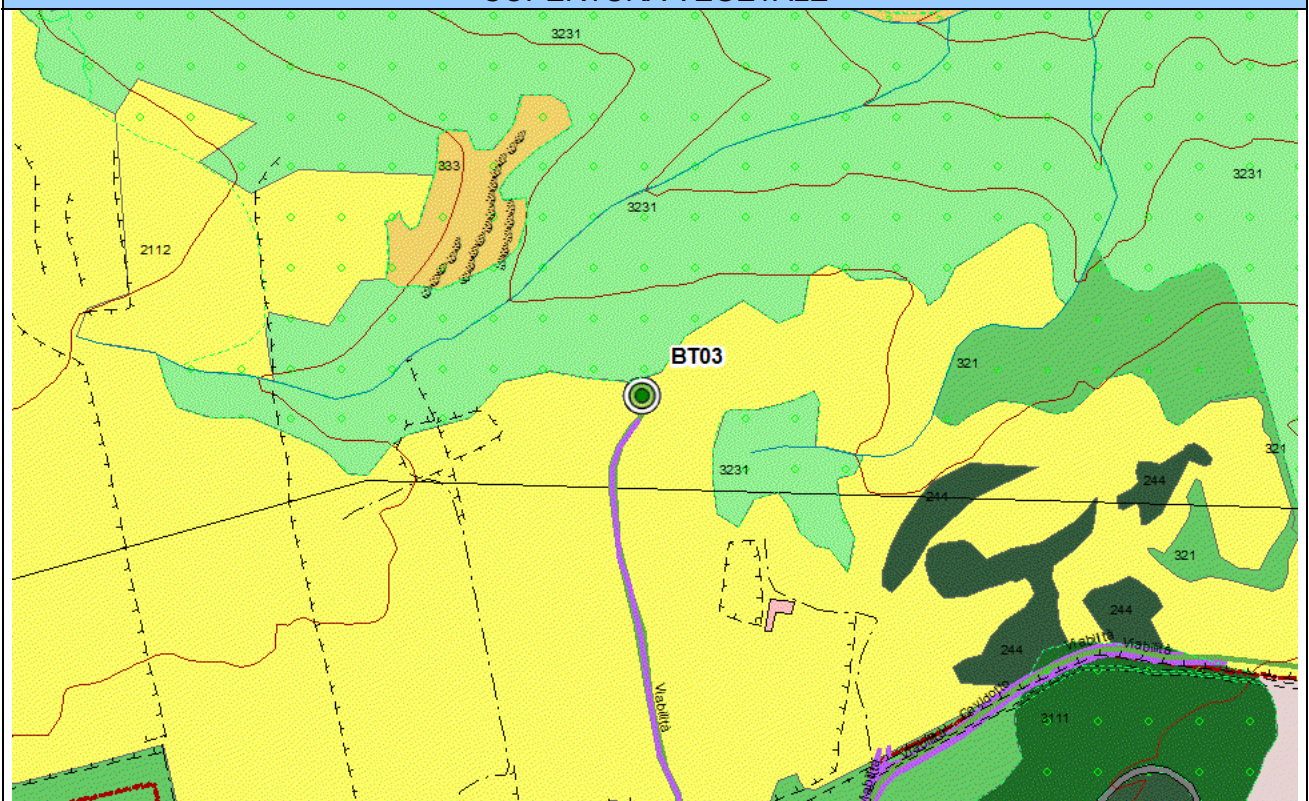




USO DEL SUOLO



COPERTURA VEGETALE





ORTOFOTO 2006 (RAS)



ORTOFOTO 2018 (ESRI IMAGERY)





| |
|-------|
| VISTE |
| |

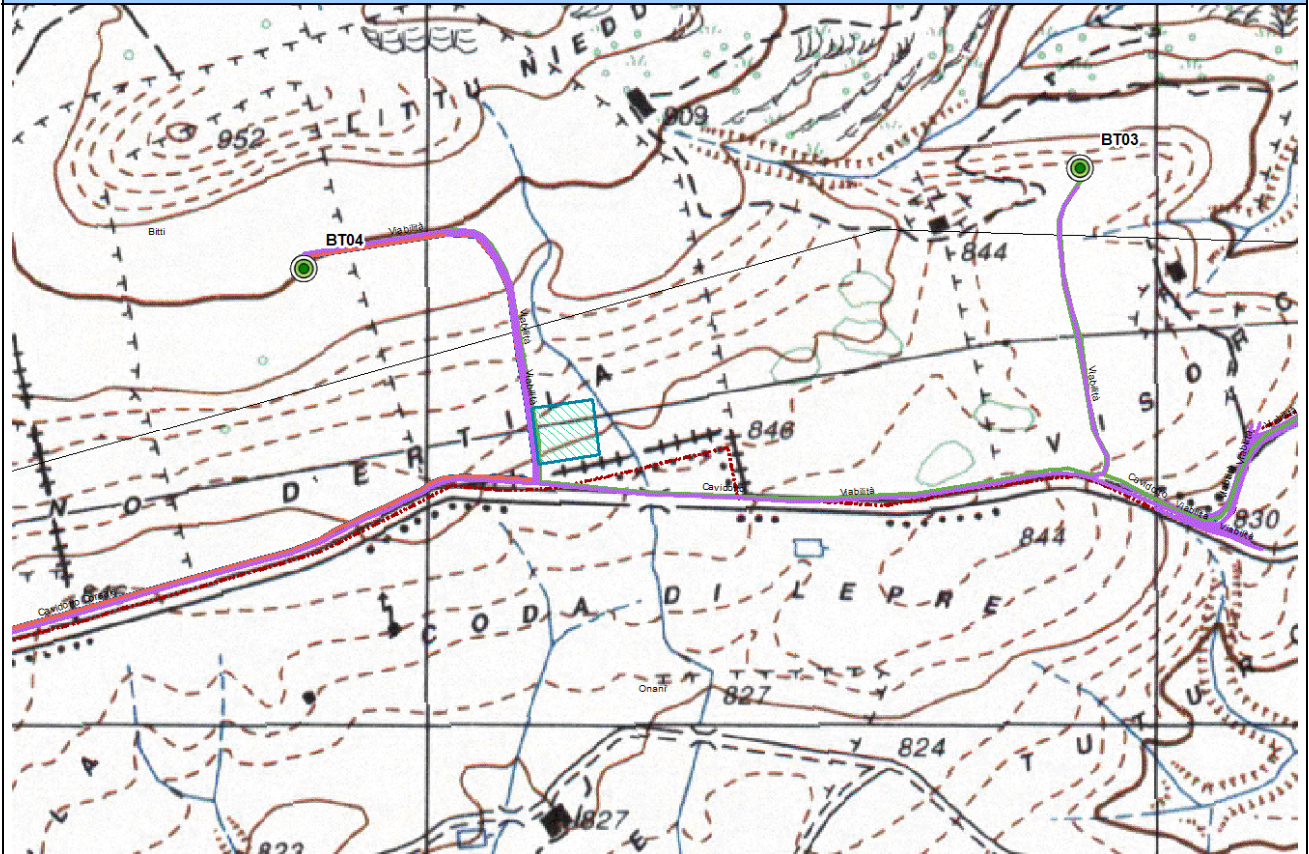


3.8 AREA DI CANTIERE E PALA BT04

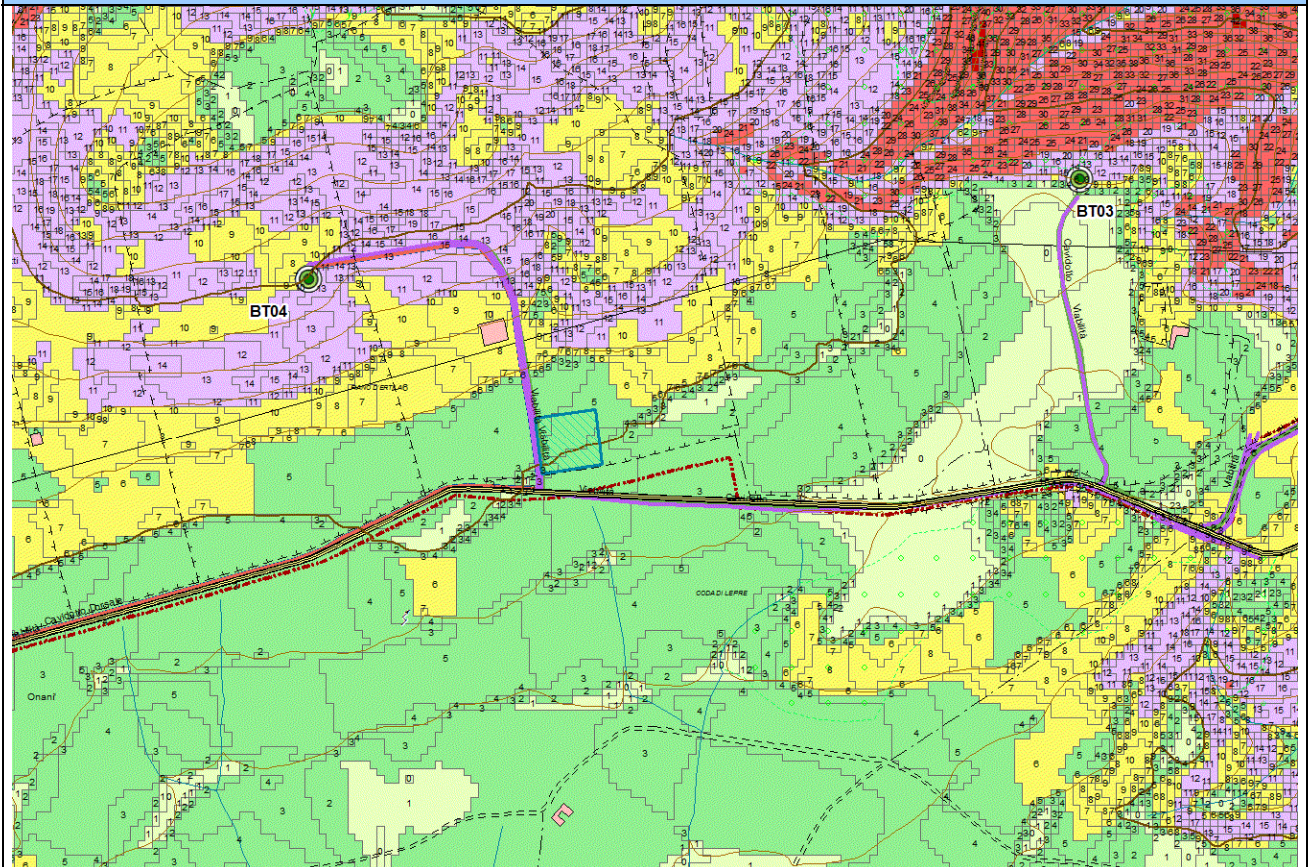
| Ambito analizzato | Area di posizionamento della Pala BT04 e dell'area di cantiere | | | | | | |
|---|---|--------------------------------|----------------------|-------------|------------------|------------------|-------------------|
| Caratteri generali del sito | La pala BT04 è ubicata in comune di Bitti, a breve distanza (circa 360 m) dall'area di cantiere di 6550 mq posizionata in loc. Piano d'Ertila nei pressi della pala BT04. Al termine dei lavori l'area sarà anche utilizzata come area per le compensazioni ambientali, attraverso la realizzazione di un impianto di sughera | | | | | | |
| Morfologia | Forme subpianeggianti, con pendenze moderate | | | | | | |
| Caratteri pedologici | Suoli derivati da rocce metamorfiche, di media profondità, franco sabbiosi, mediamente permeabili, subacidi, parzialmente desaturati. | | | | | | |
| Giudizio di capacità d'uso del suolo | Suoli classificabili nelle classi V e VI della land capability per limitazioni dovute allo scarso spessore del suolo | | | | | | |
| Uso del suolo e colture in atto | Colture agrarie (colture erbacee) | | | | | | |
| Copertura vegetale | Cereali e specie foraggere | | | | | | |
| Naturalità | Livello di naturalità medio-basso per presenza di colture agrarie | | | | | | |
| Reti e infrastrutture | Viabilità interpodereale con accesso sulla S.P. 50, fabbricati zootecnici | | | | | | |
| Caratteri del paesaggio agrario | Paesaggio delle colture estensive erbacee asciutte | | | | | | |
| Fattori economici di mantenimento o di trasformazione | Attività agropastorali. Limitate potenzialità economiche della produzione agrozootecnica in atto per la scarsa fertilità del suolo | | | | | | |
| Sensibilità del sito | Suolo e soprassuolo di interesse agrario medio basso, bassa sensibilità | | | | | | |
| Possibili impatti | Perdita di suolo (con ripristino). Polveri e rumore durante l'esecuzione dei lavori | | | | | | |
| | <i>Origine degli impatti</i> | | | | | | |
| | <i>Produzione degli impatti</i> | | Sottostazioni | Pale | Viabilità | Cavidotti | Cumulativi |
| | Ambito | Componenti | | | | | |
| | Sistema ambientale | Vegetazione | 0 | 1 | 1 | 1 | 1 |
| | | Idrologia | 0 | 0 | 0 0 0 | | |
| | | Suolo | 0 | 3 | 1 | 1 | 3 |
| | | Produzione di rumori e polveri | 0 | 1 | 1 | 1 | 1 |
| | Infrastrutture rurali | Aziende agricole | 0 0 | | 1 | 0 | 1 |
| | | Rete irrigua | 0 | 0 | 0 0 0 | | |
| Viabilità locale | | 0 0 | | 1 | 1 | 1 | |
| Altre infrastrutture | | 0 | 0 | 0 0 0 | | | |
| Paesaggio agrario | Modifiche del paesaggio agrario | 0 | 3 | 1 0 | | 3 | |
| Interventi di mitigazione e compensazione | Al termine dei lavori l'area di cantiere sarà utilizzata per la realizzazione di un intervento compensativo, consistente nella piantagione di piantine di sughera con sesto di impianto di 3x2 (densità pari a 1667 piantine per ha). Ripristino dei luoghi al termine dei lavori. | | | | | | |
| Note | Scala approssimativa delle immagini 1:5.000, l'area di trasbordo è indicata con un retinato celeste | | | | | | |
| Giudizio sintetico | Impatti complessivamente limitati, buona compatibilità con il progetto | | | | | | |



INQUADRAMENTO IGM

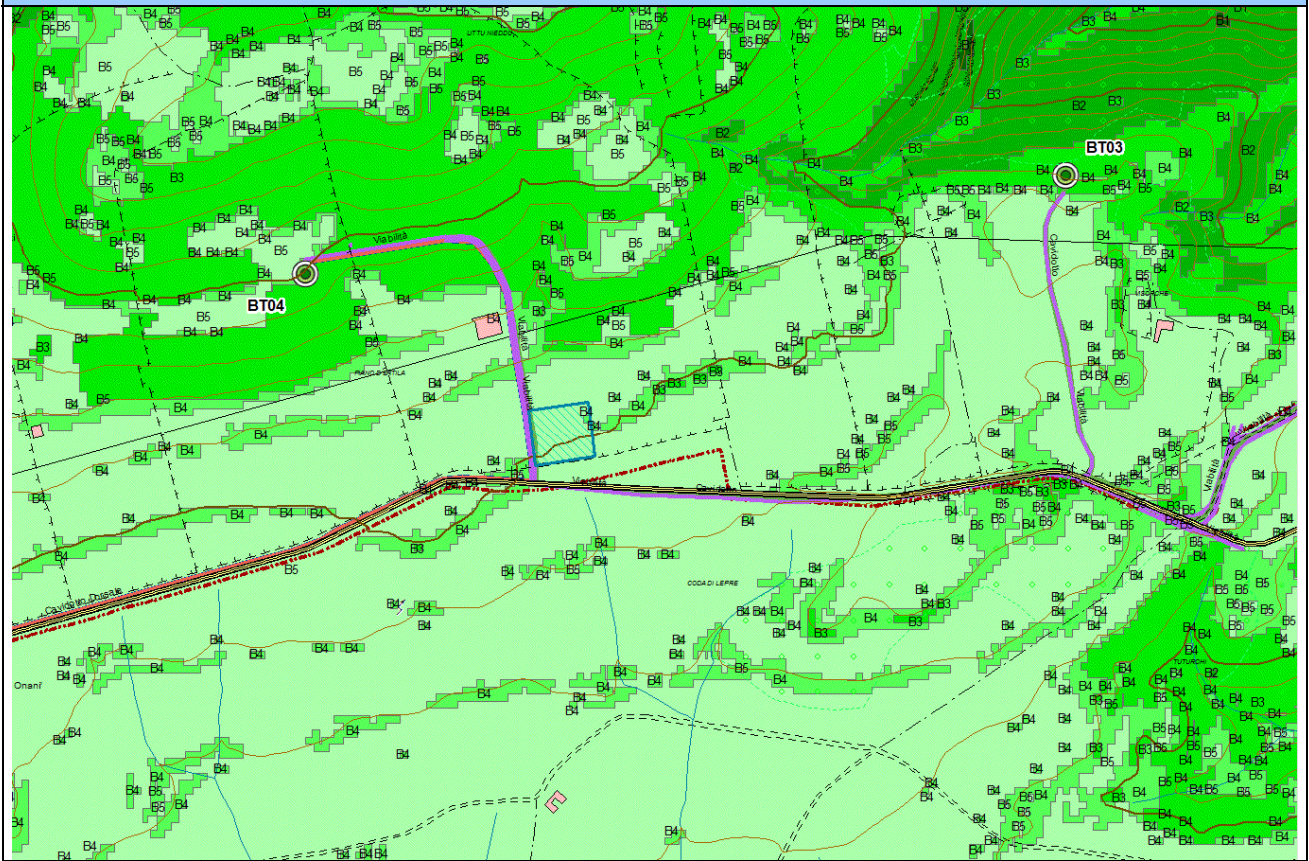


MORFOLOGIA

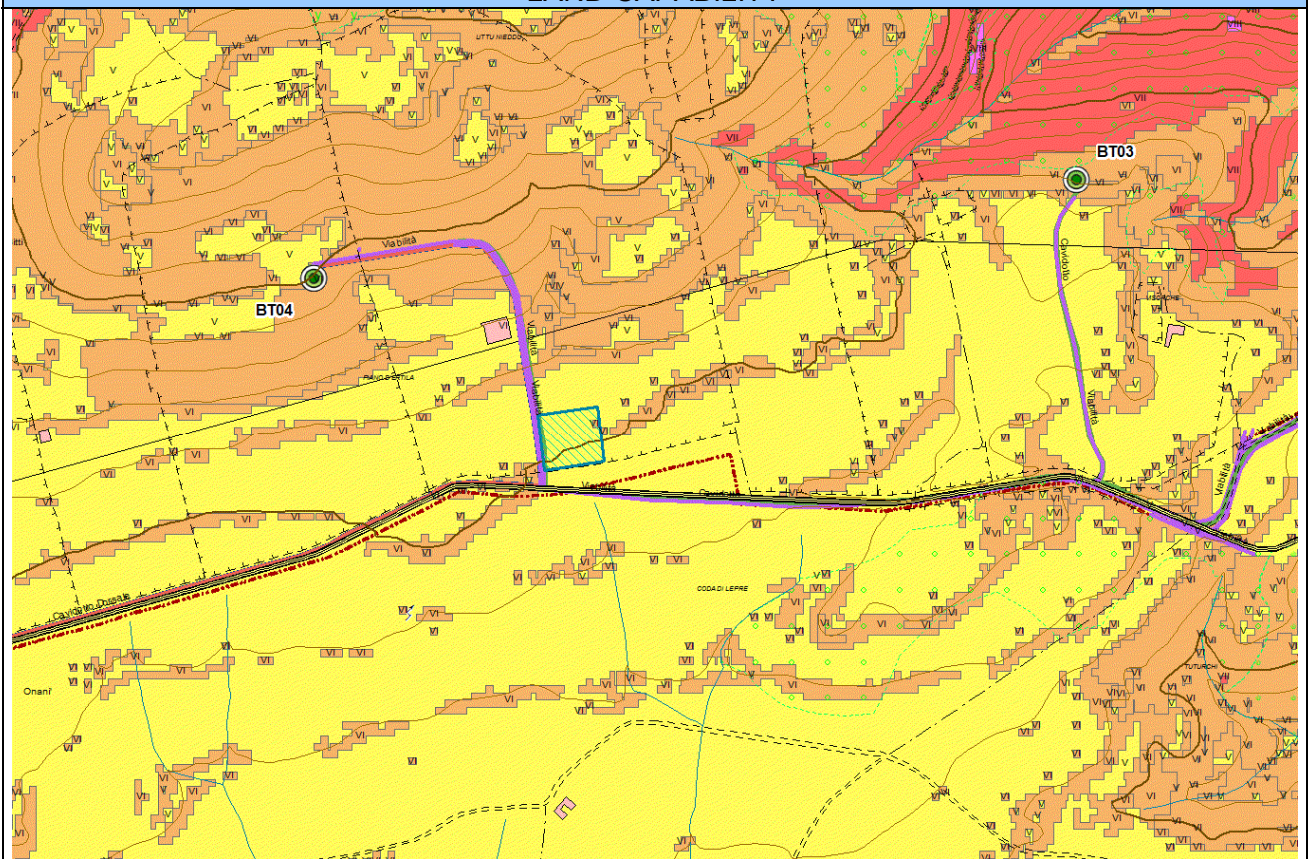




PEDOLOGIA

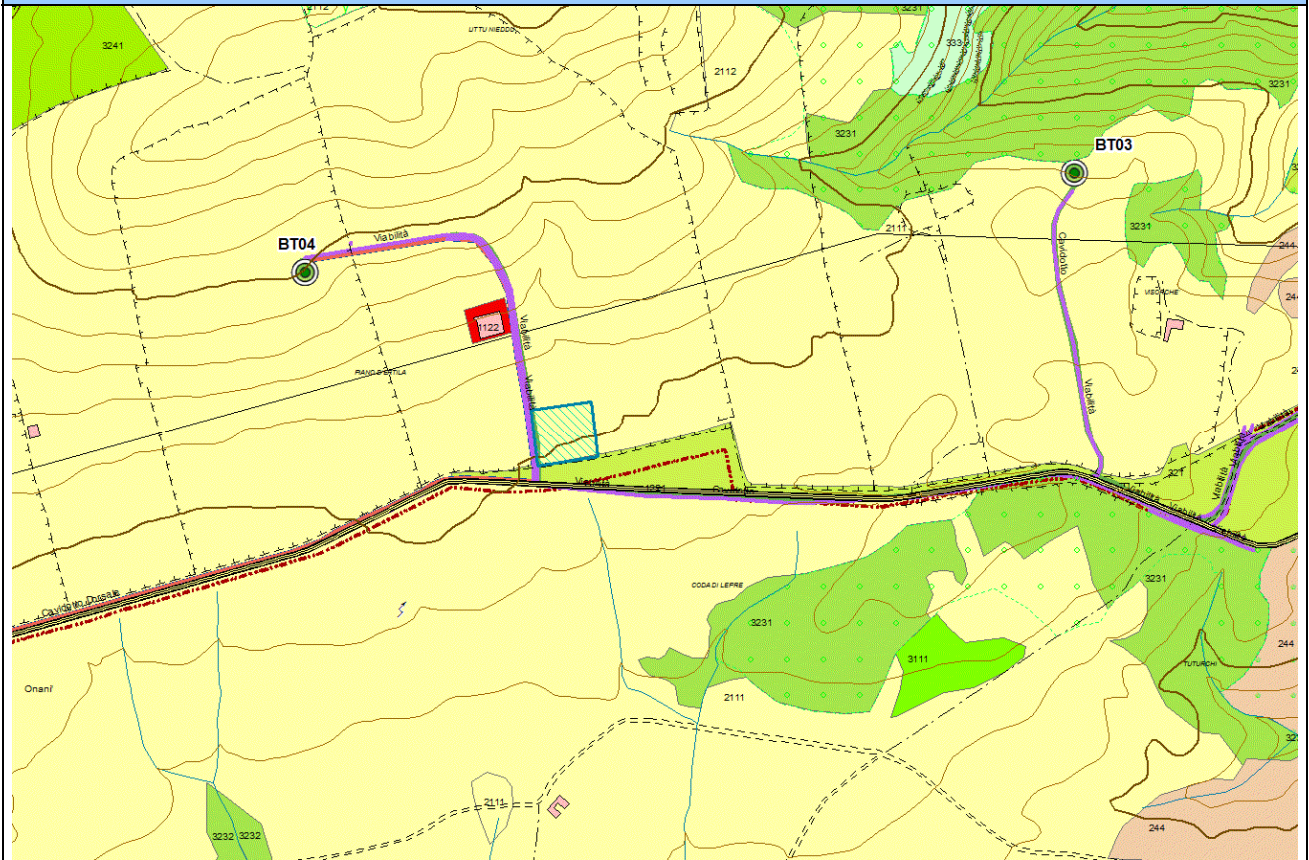


LAND CAPABILITY

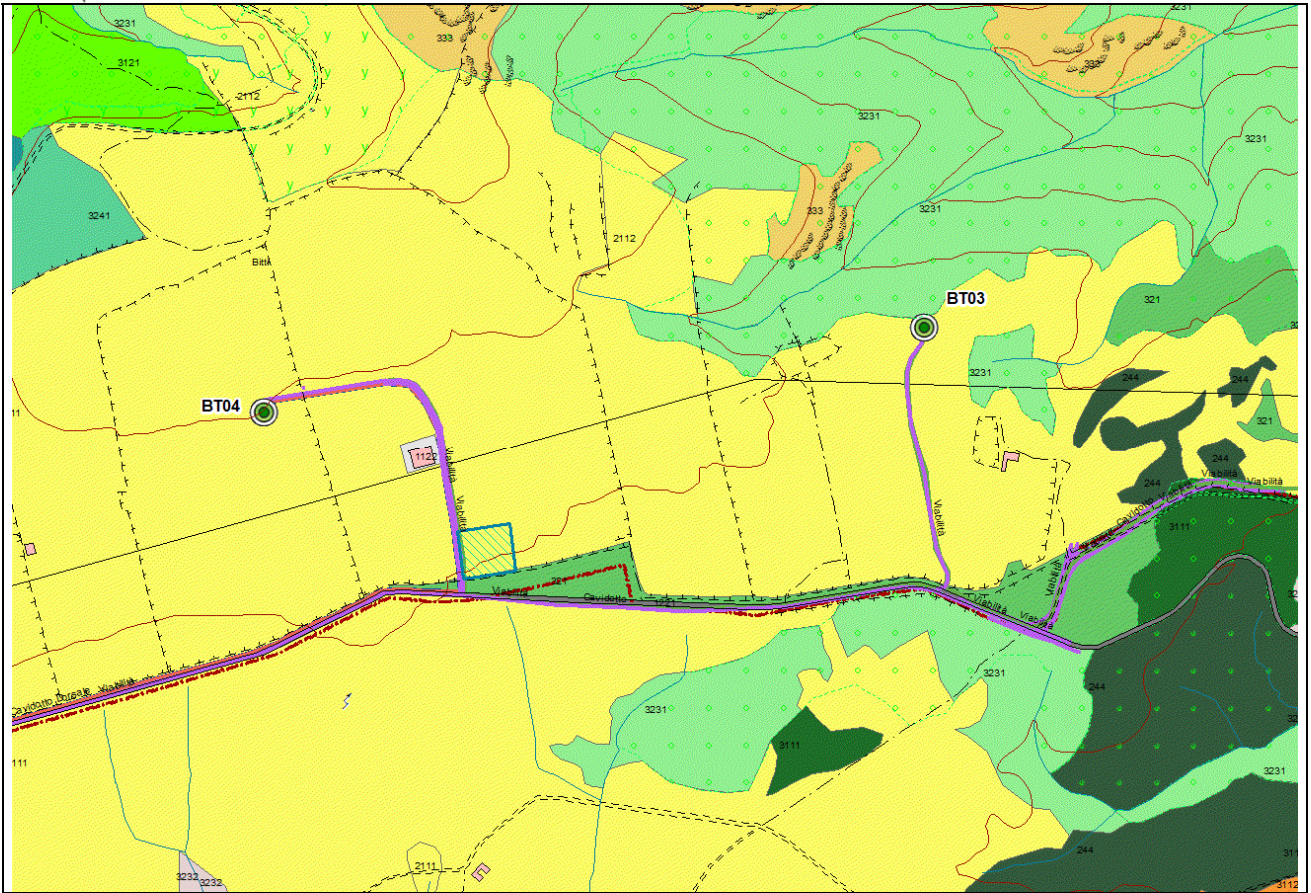




USO DEL SUOLO



COPERTURA VEGETALE



ORTOFOTO 2006 (RAS)





ORTOFOTO 2018 (ESRI IMAGERY)



VISTE

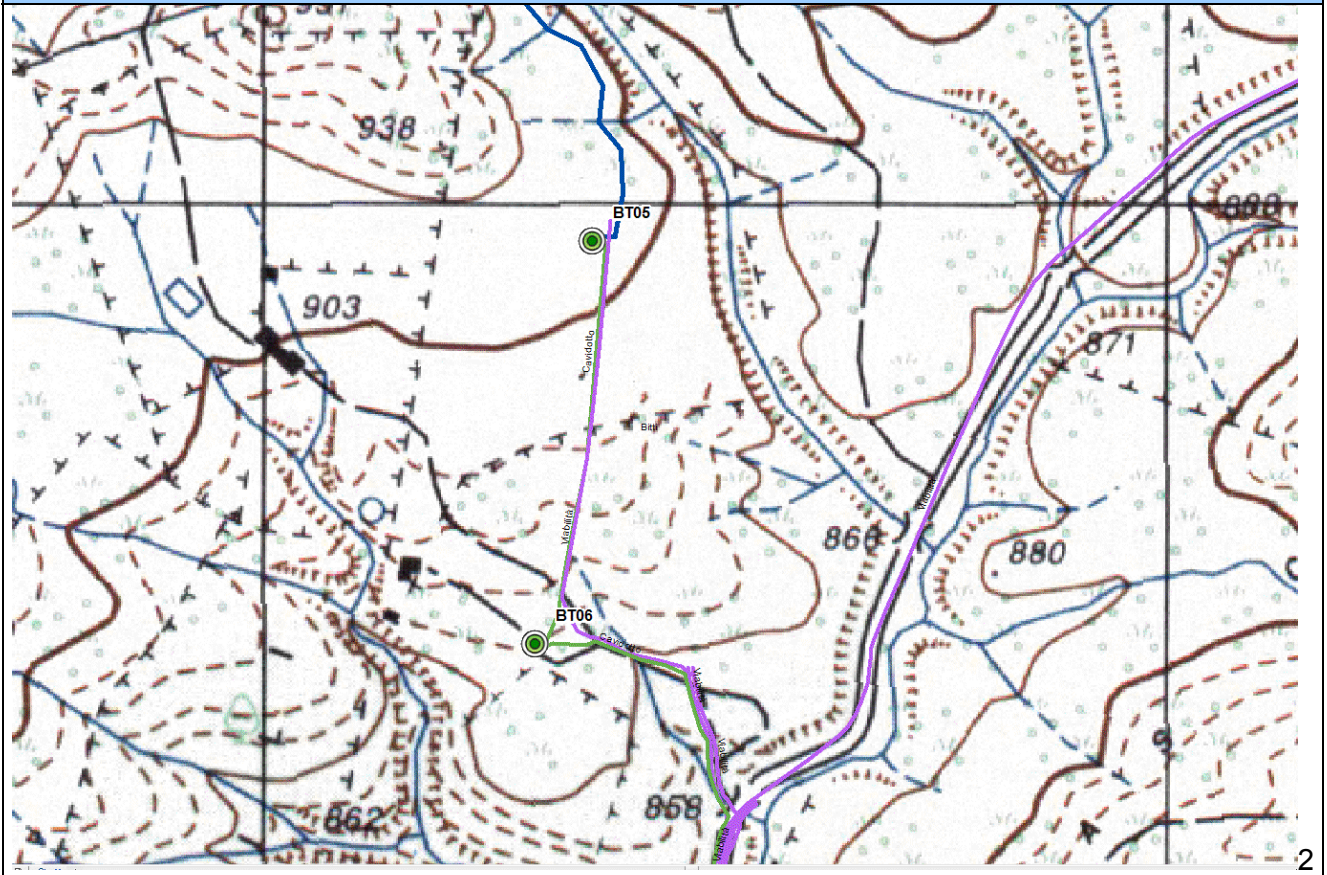


3.9 PALA BT05 E BT06

| Ambito analizzato | Area di posizionamento delle Pale BT05 e BT06 | | | | | | |
|---|--|--------------------------------|-----------------------|------|-----------|-----------|------------|
| Caratteri generali del sito | Il sito in cui sono posizionate le due pale è ubicato in comune di Bitti in loc. Chicchili in un'area agropastorale collinare. Le due pale sono poste all'incirca lungo l'asse N-S e distano circa 450 m l'una dall'altra | | | | | | |
| Morfologia | Forme collinari da subpianeggianti a moderatamente acclivi | | | | | | |
| Caratteri pedologici | Suoli derivati da rocce metamorfiche, di media profondità, franco sabbiosi, mediamente permeabili, subacidi, parzialmente desaturati. Locale presenza di roccia affiorante (rock outcrop) | | | | | | |
| Giudizio di capacità d'uso del suolo | Suoli classificabili nella classe V della land capability | | | | | | |
| Uso del suolo e colture in atto | Colture estensive, pascolo e pascolo arborato con sughera. Nell'area circostante sono presenti nuclei di sughereta e interventi di imboscamento con specie a rapido accrescimento | | | | | | |
| Copertura vegetale | Pascolo e pascolo arborato con sughere isolate, limitatamente colture agrarie estensive | | | | | | |
| Naturalità | Livello di naturalità da basso per la presenza dei terreni arati a medio-basso per presenza del pascolo e pascolo arborato | | | | | | |
| Reti e infrastrutture | Viabilità interpodereale con accesso sulla S.P. 50, piccole strutture zootecniche non residenziali nell'intorno | | | | | | |
| Caratteri del paesaggio agrario | Paesaggio del pascolo arborato | | | | | | |
| Fattori economici di mantenimento o di trasformazione | Attività agropastorali. Limitate potenzialità economiche della produzione agrozootecnica per la scarsa fertilità del suolo | | | | | | |
| Sensibilità del sito | Suolo e soprassuolo di scarso interesse agrario, sensibilità bassa | | | | | | |
| Possibili impatti | Perdita di suolo per creazione di tratto di viabilità di accesso (necessario il riallineamento della strada interpodereale). Prelievo e trapianto di alcune sughere presenti. Polveri e rumore durante l'esecuzione dei lavori | | | | | | |
| | | | Origine degli impatti | | | | |
| | Produzione degli impatti | | Sottostazioni | Pale | Viabilità | Cavidotti | Cumulativi |
| | Ambito | Componenti | | | | | |
| | Sistema ambientale | Vegetazione | 0 | 1 | 1 | 1 | 1 |
| | | Idrologia | 0 | 0 0 | | 0 0 | |
| | | Suolo | 0 | 3 | 1 | 1 | 3 |
| | | Produzione di rumori e polveri | 0 | 1 | 1 | 1 | 1 |
| | Infrastrutture rurali | Aziende agricole | 0 | 0 0 | | 0 0 | |
| | | Rete irrigua | 0 | 0 0 | | 0 0 | |
| Viabilità locale | | 0 0 | | 1 | 1 | 1 | |
| Altre infrastrutture | | 0 | 0 0 | | 0 0 | | |
| Paesaggio agrario | Modifiche del paesaggio agrario | 0 | 3 | 1 0 | | 3 | |
| Interventi di mitigazione e compensazione | Ripristino dei luoghi al termine dei lavori. Prelievo e trapianto di n. 10 sughere presenti lungo il percorso. Interventi di forestazione compensativa | | | | | | |
| Note | Scala approssimativa delle immagini 1:5.000.. | | | | | | |
| Giudizio sintetico | Impatti complessivamente limitati, buona compatibilità con il progetto | | | | | | |

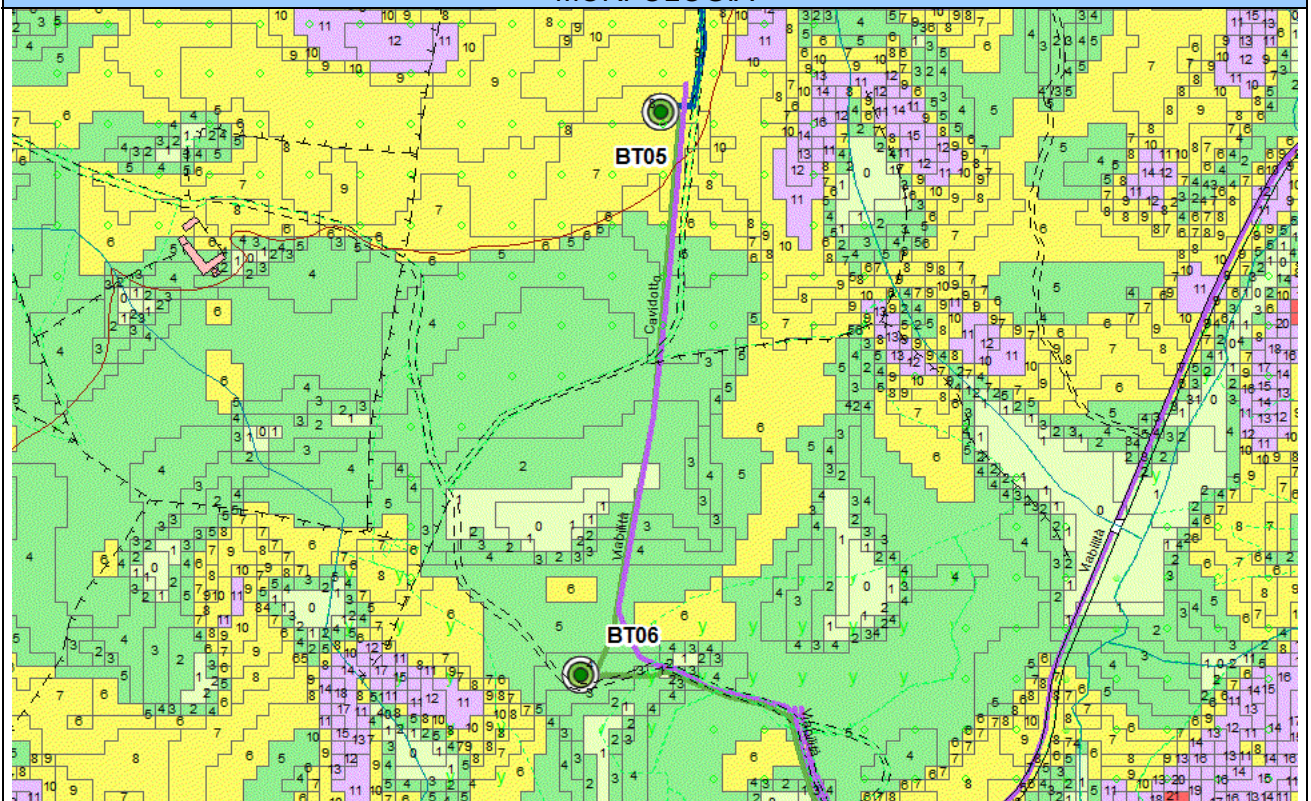


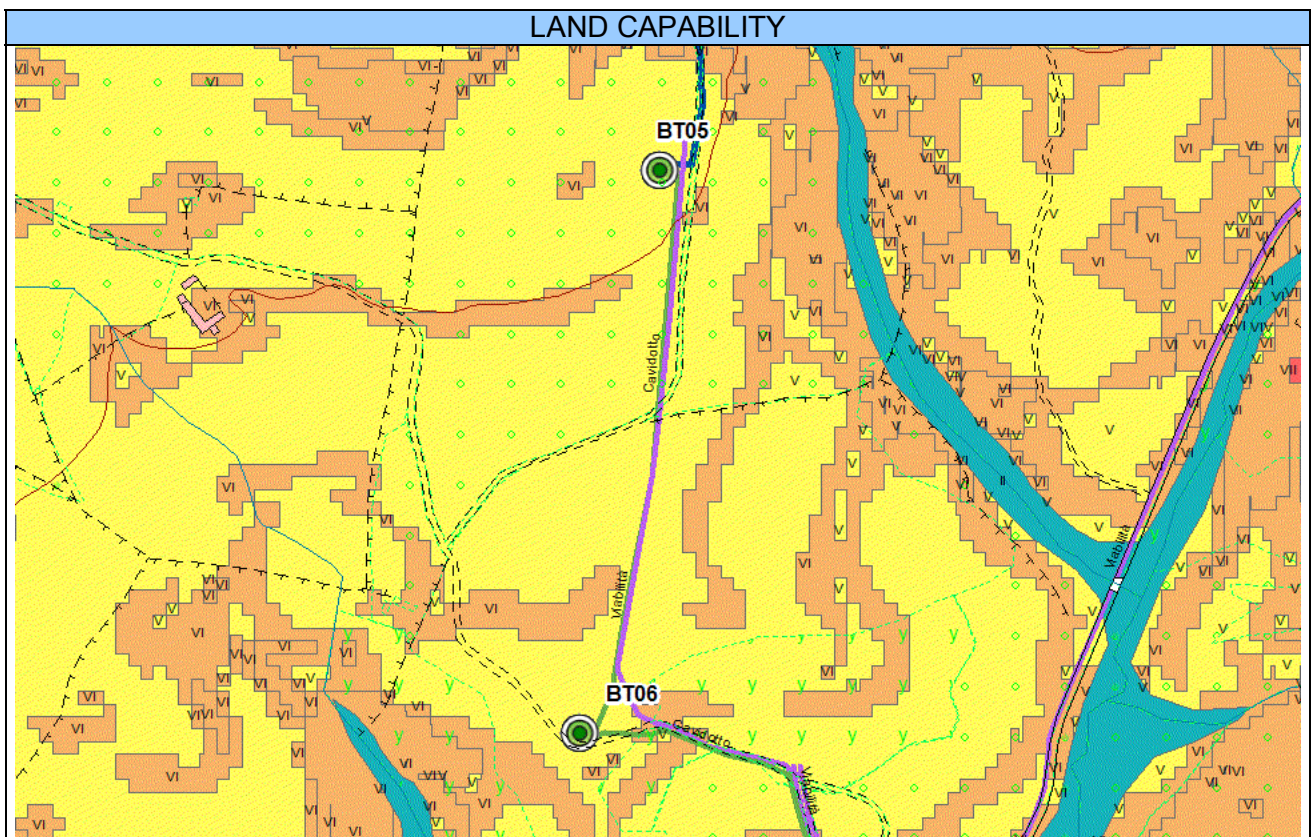
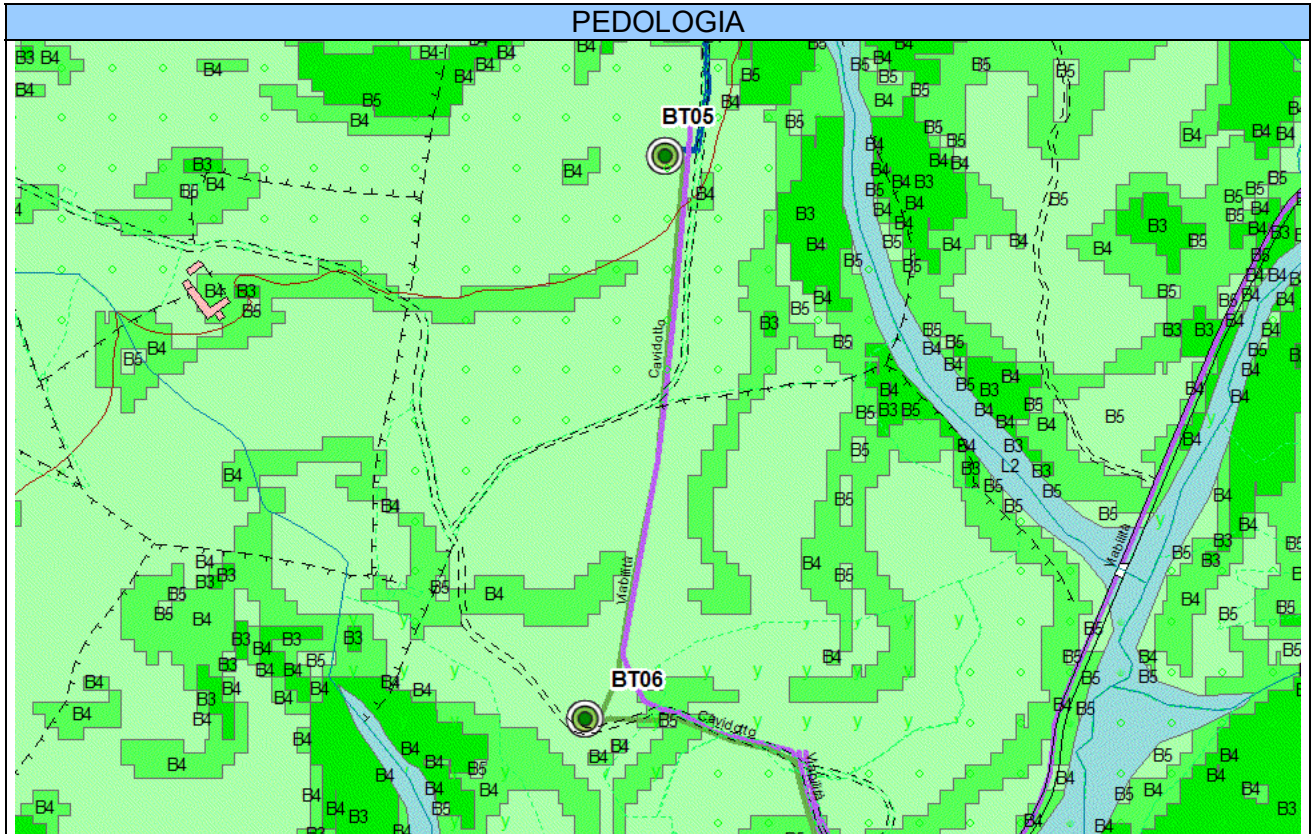
INQUADRAMENTO IGM

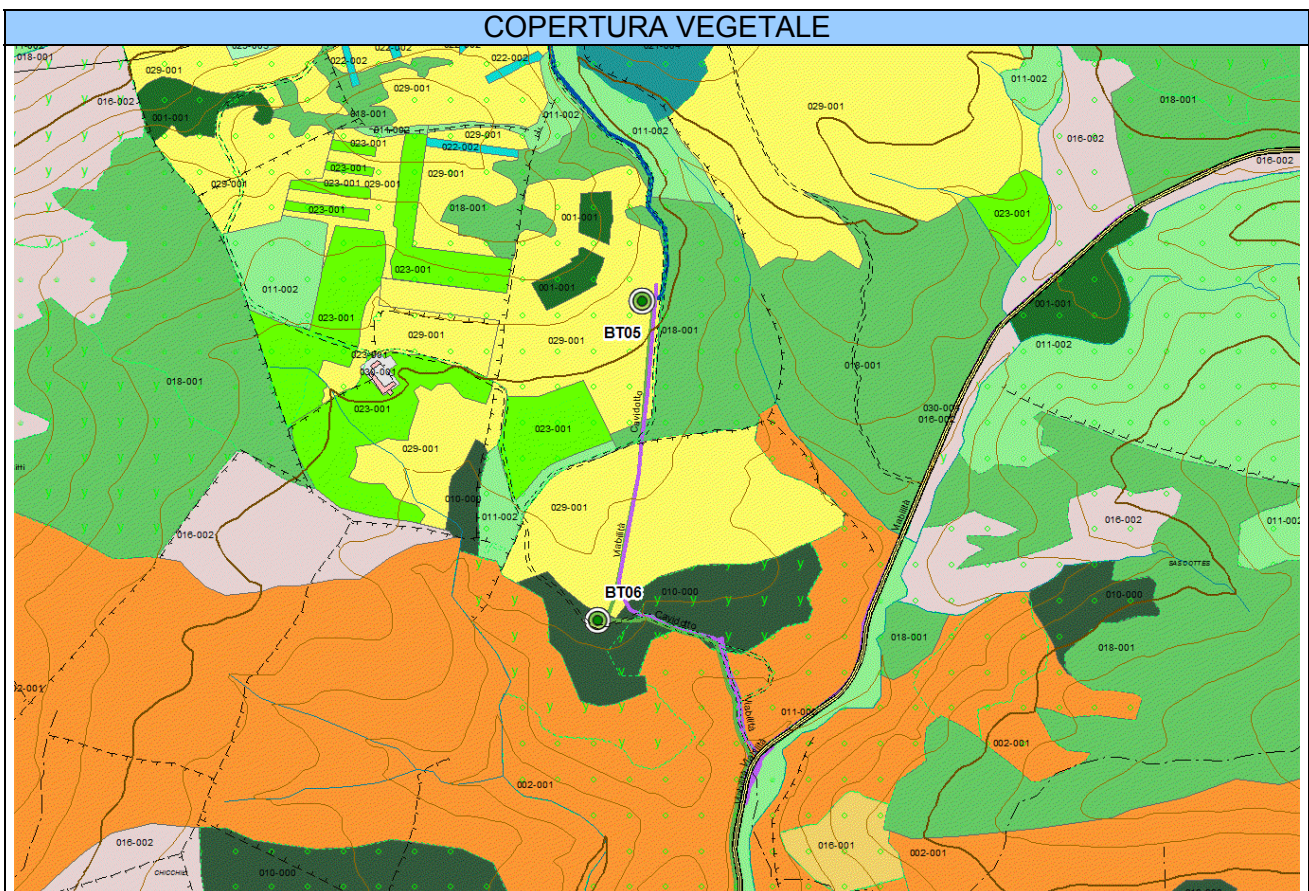


2

MORFOLOGIA





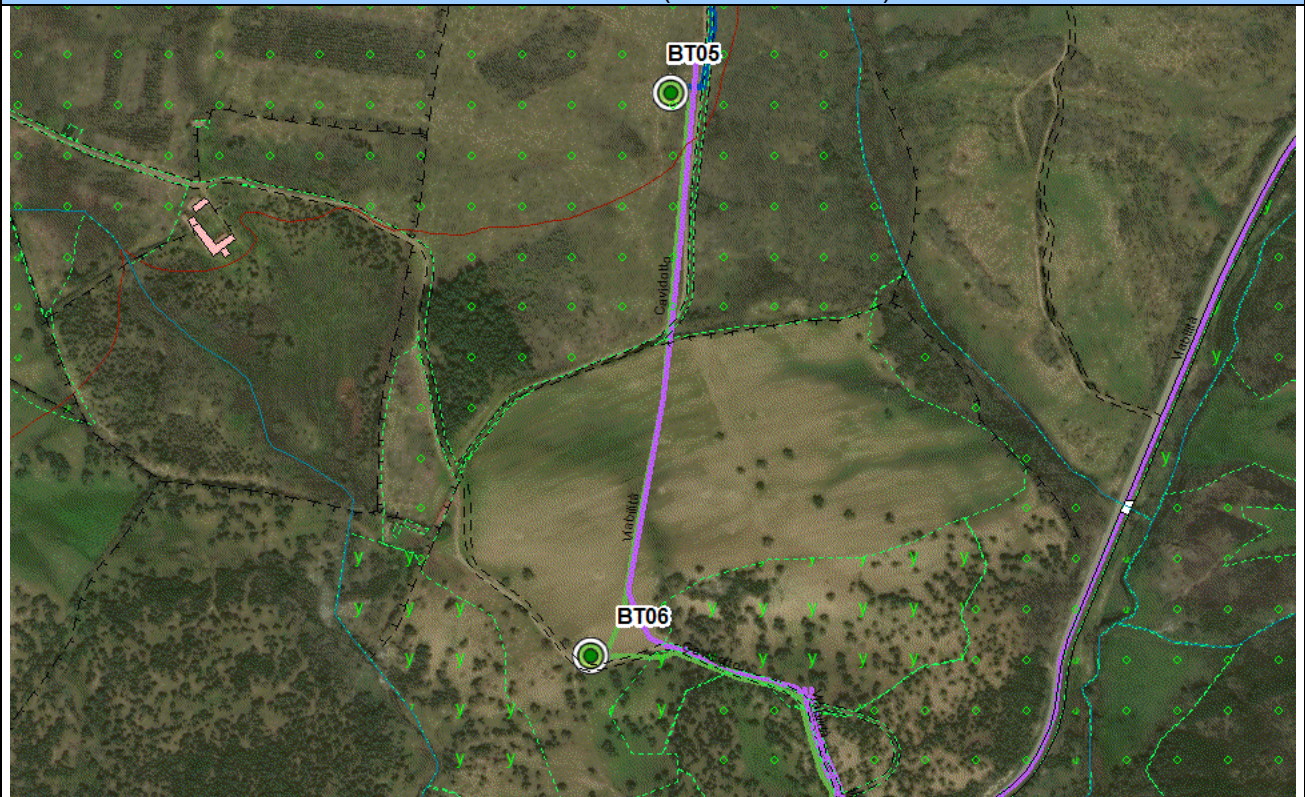




ORTOFOTO 2006 (RAS)



ORTOFOTO 2018 (ESRI IMAGERY)





| |
|-------|
| VISTE |
| |

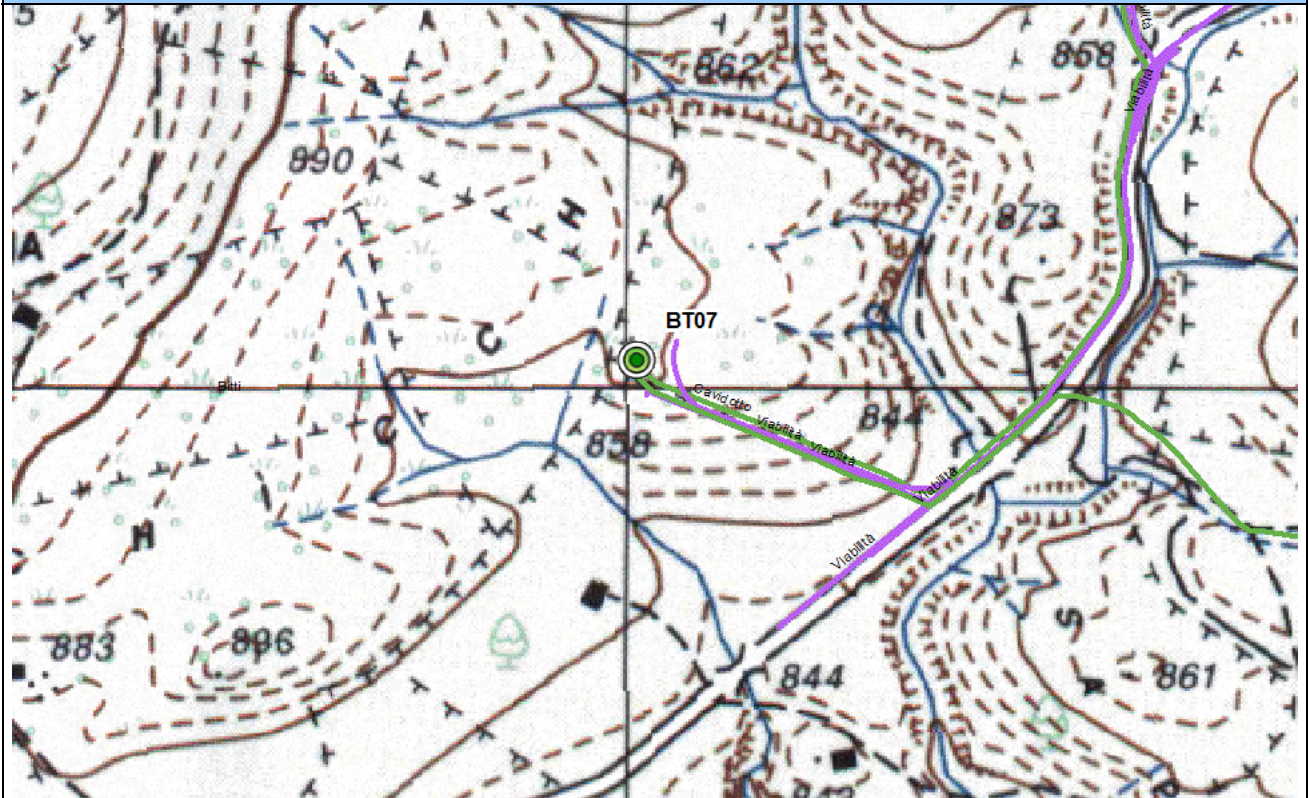


3.10 PALA BT07

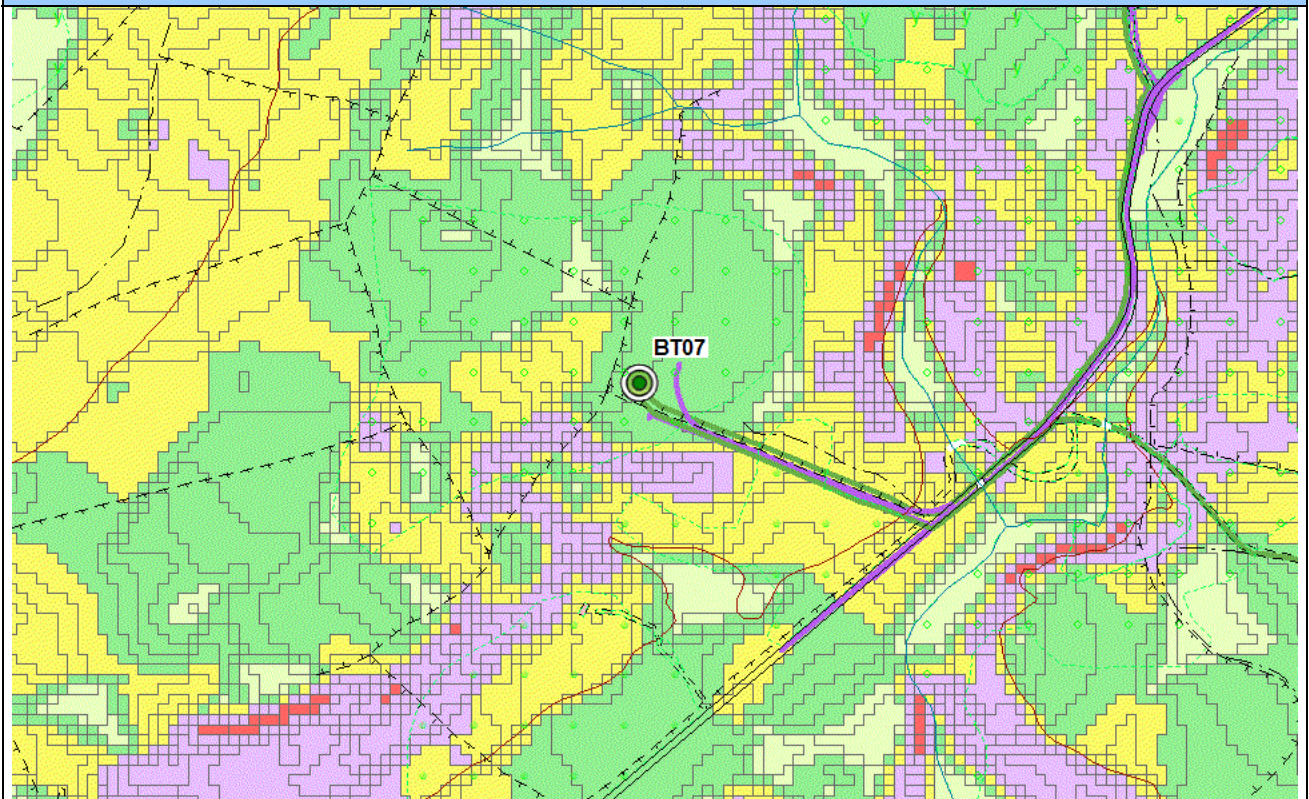
| Ambito analizzato | Area di posizionamento della Pala BT07 | | | | | | |
|---|--|--------------------------------|----------------------|-------------|------------------|------------------|-------------------|
| Caratteri generali del sito | La pala BT07 è ubicata in comune di Bitti in loc. Chicchili, in un'area agropastorale collinare, circa 600 m a SW della pala BT06 | | | | | | |
| Morfologia | Forme collinari da subpianeggianti a moderatamente acclivi | | | | | | |
| Caratteri pedologici | Suoli costituiti da depositi di versante derivati da rocce metamorfiche, di media profondità, franco sabbiosi, mediamente permeabili, subacidi, parzialmente desaturati | | | | | | |
| Giudizio di capacità d'uso del suolo | Suoli classificabili nella classe V della land capability | | | | | | |
| Uso del suolo e colture in atto | Colture estensive, pascolo e pascolo arborato con sughera | | | | | | |
| Copertura vegetale | Pascolo e pascolo arborato con sughere | | | | | | |
| Naturalità | Livello di naturalità medio-basso per l'area di intervento | | | | | | |
| Reti e infrastrutture | Viabilità interpodereale con accesso sulla S.P. 50 | | | | | | |
| Caratteri del paesaggio agrario | Paesaggio del pascolo arborato | | | | | | |
| Fattori economici di mantenimento o di trasformazione | Attività agropastorali. Limitate potenzialità economiche della produzione agrozootecnica per la scarsa fertilità del suolo | | | | | | |
| Sensibilità del sito | Suolo e soprassuolo di scarso interesse agrario, sensibilità bassa, | | | | | | |
| Possibili impatti | Perdita di suolo per creazione di tratto di viabilità di accesso (necessario il riallineamento della strada interpodereale). Prelievo e trapianto di alcune sughere presenti. Polveri e rumore durante l'esecuzione dei lavori | | | | | | |
| | <i>Origine degli impatti</i> | | | | | | |
| | <i>Produzione degli impatti</i> | | Sottostazioni | Pale | Viabilità | Cavidotti | Cumulativi |
| | Ambito | Componenti | | | | | |
| | Sistema ambientale | Vegetazione | 0 | 1 | 1 | 1 | 1 |
| | | Idrologia | 0 | 0 | 0 0 0 | | |
| | | Suolo | 0 | 3 | 1 | 1 | 3 |
| | | Produzione di rumori e polveri | 0 | 1 | 1 | 1 | 1 |
| | Infrastrutture rurali | Aziende agricole | 0 | 0 | 0 0 0 | | |
| | | Rete irrigua | 0 | 0 | 0 0 0 | | |
| Viabilità locale | | 0 0 | | 1 | 1 | 1 | |
| Altre infrastrutture | | 0 | 0 | 0 0 0 | | | |
| Paesaggio agrario | Modifiche del paesaggio agrario | 0 | 3 | 1 0 | | 3 | |
| Interventi di mitigazione e compensazione | Ripristino dei luoghi al termine dei lavori. Prelievo e trapianto di n. 10 sughere presenti lungo il percorso. Interventi di forestazione compensativa | | | | | | |
| Note | Scala approssimativa delle immagini 1:5.000 | | | | | | |
| Giudizio sintetico | Impatti complessivamente limitati, buona compatibilità con il progetto | | | | | | |

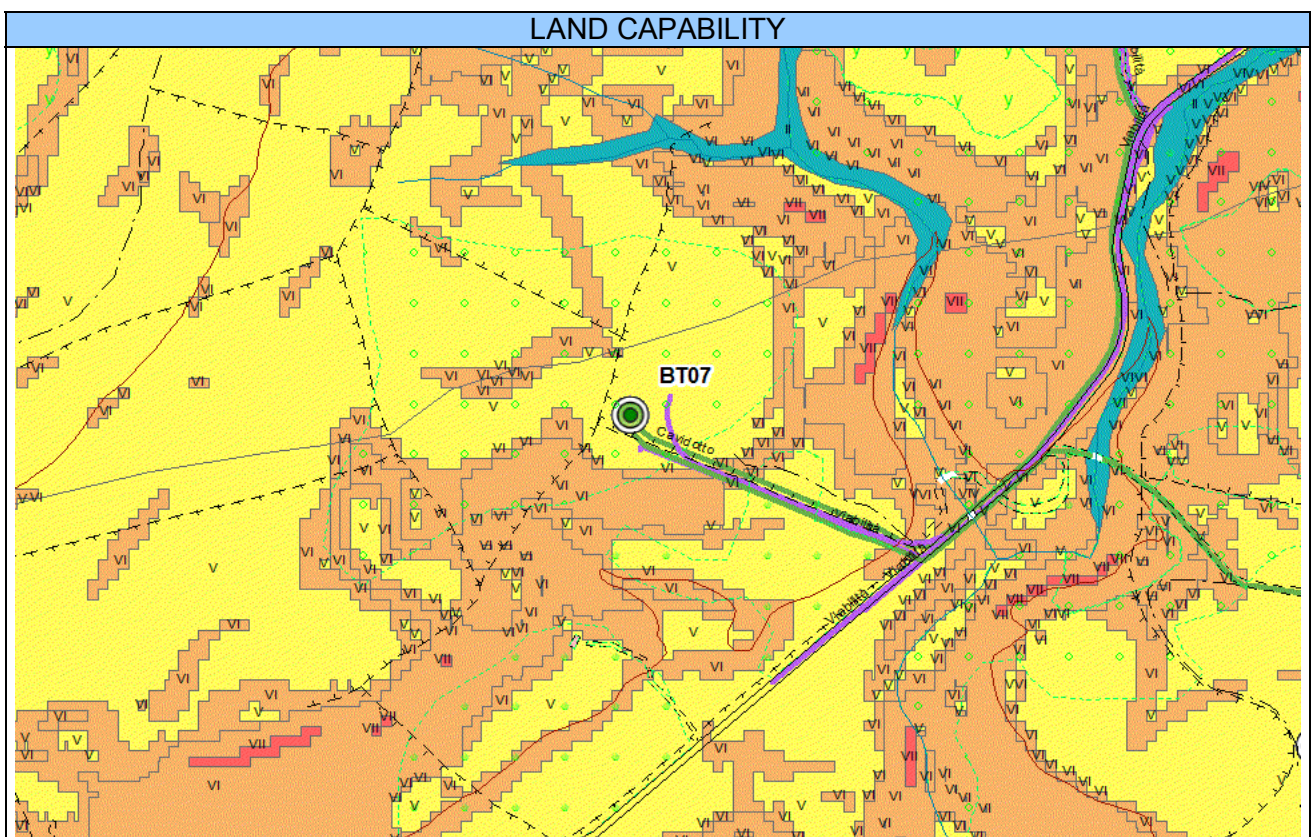
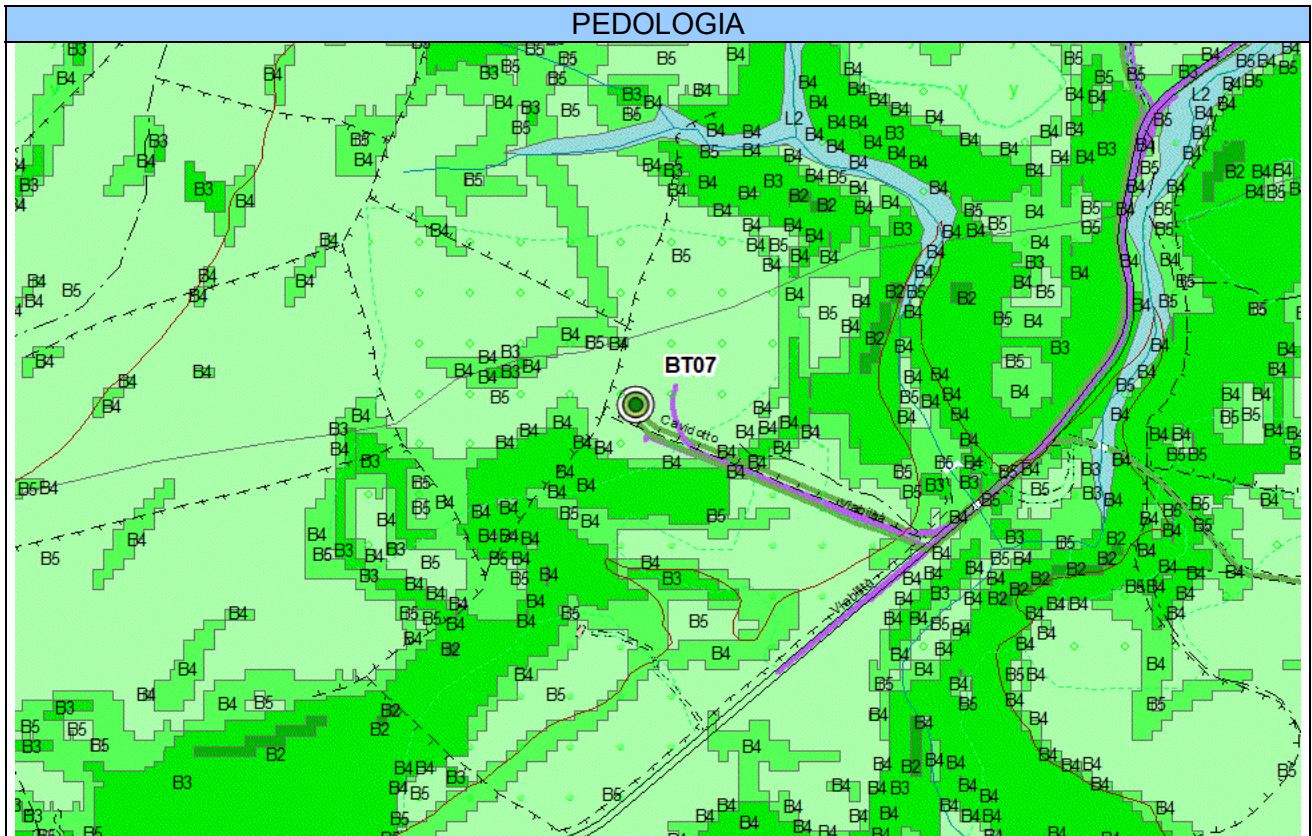


INQUADRAMENTO IGM



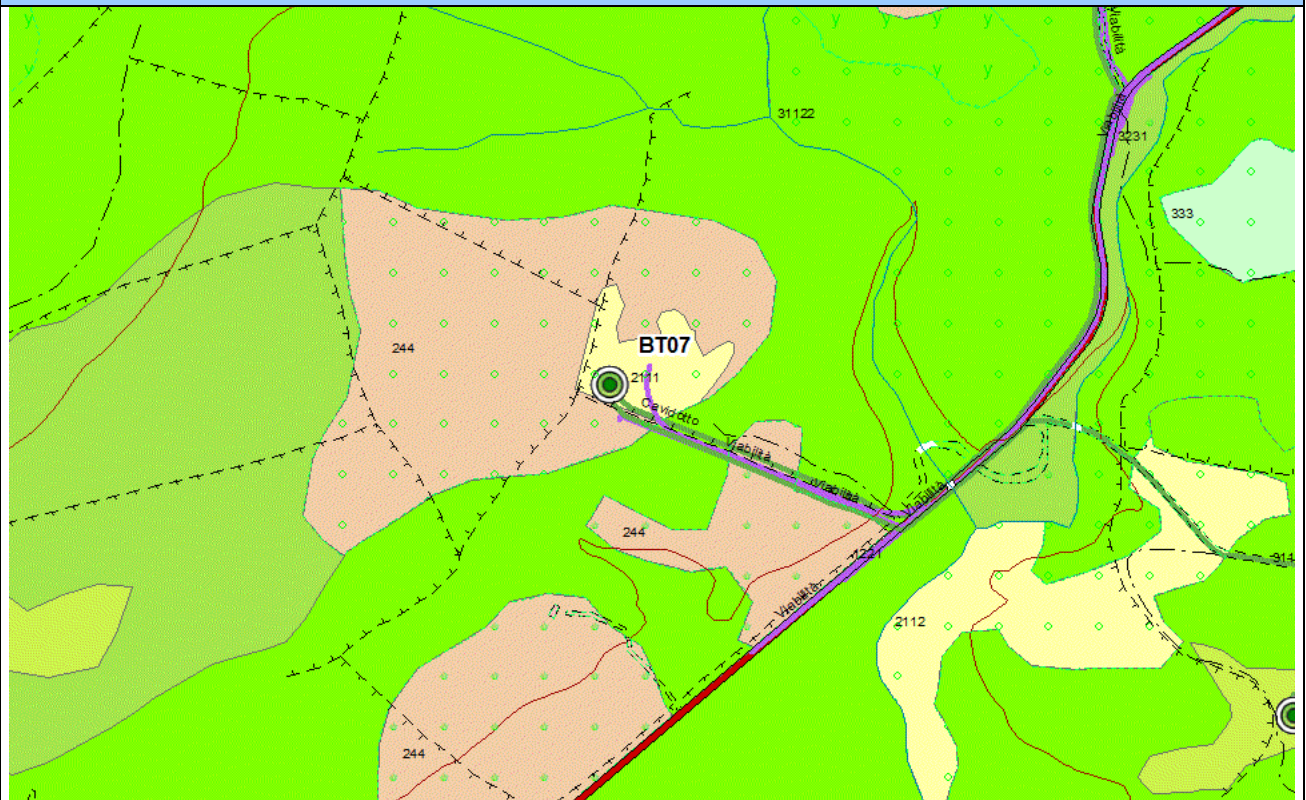
MORFOLOGIA



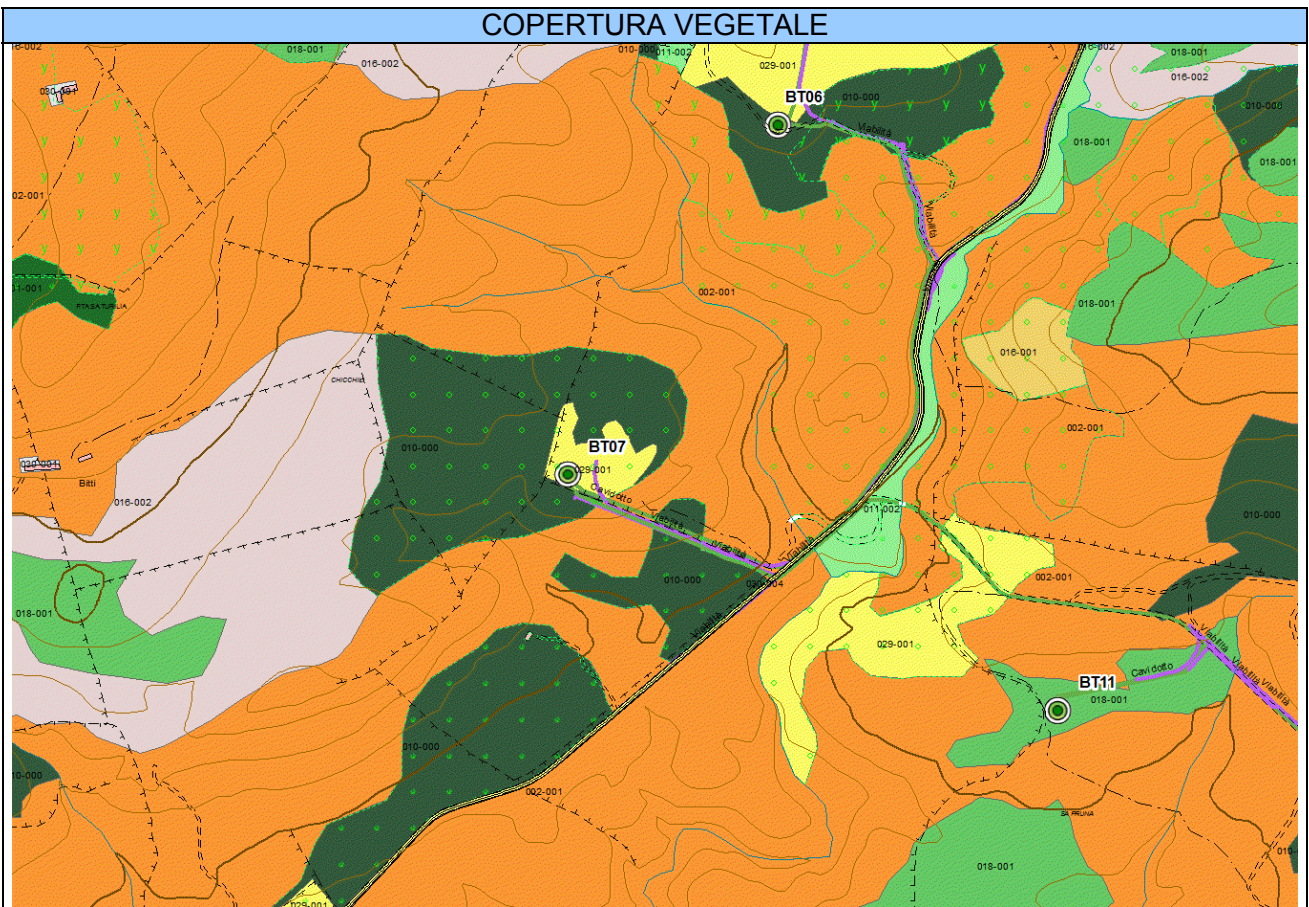




USO DEL SUOLO



COPERTURA VEGETALE

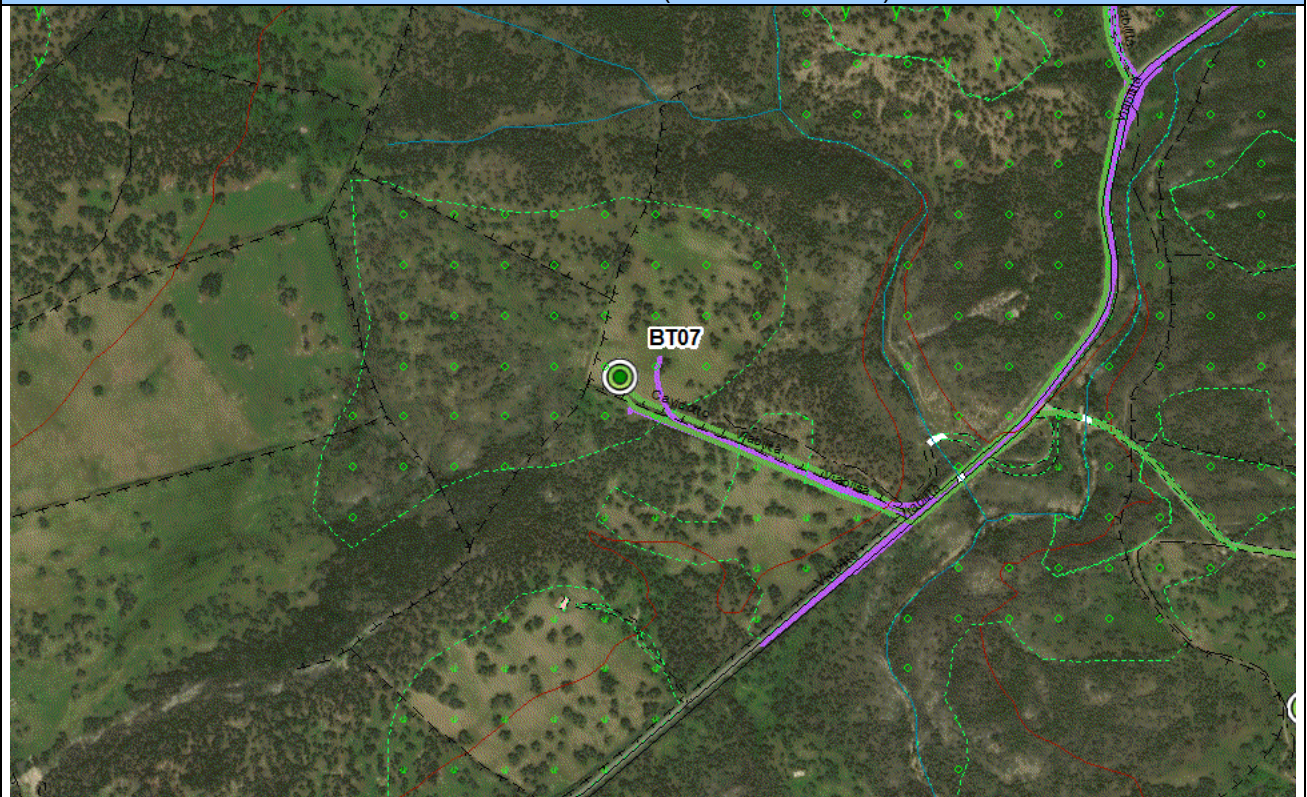




ORTOFOTO 2006 (RAS)



ORTOFOTO 2018 (ESRI IMAGERY)





| VISTE |
|-------|
| |

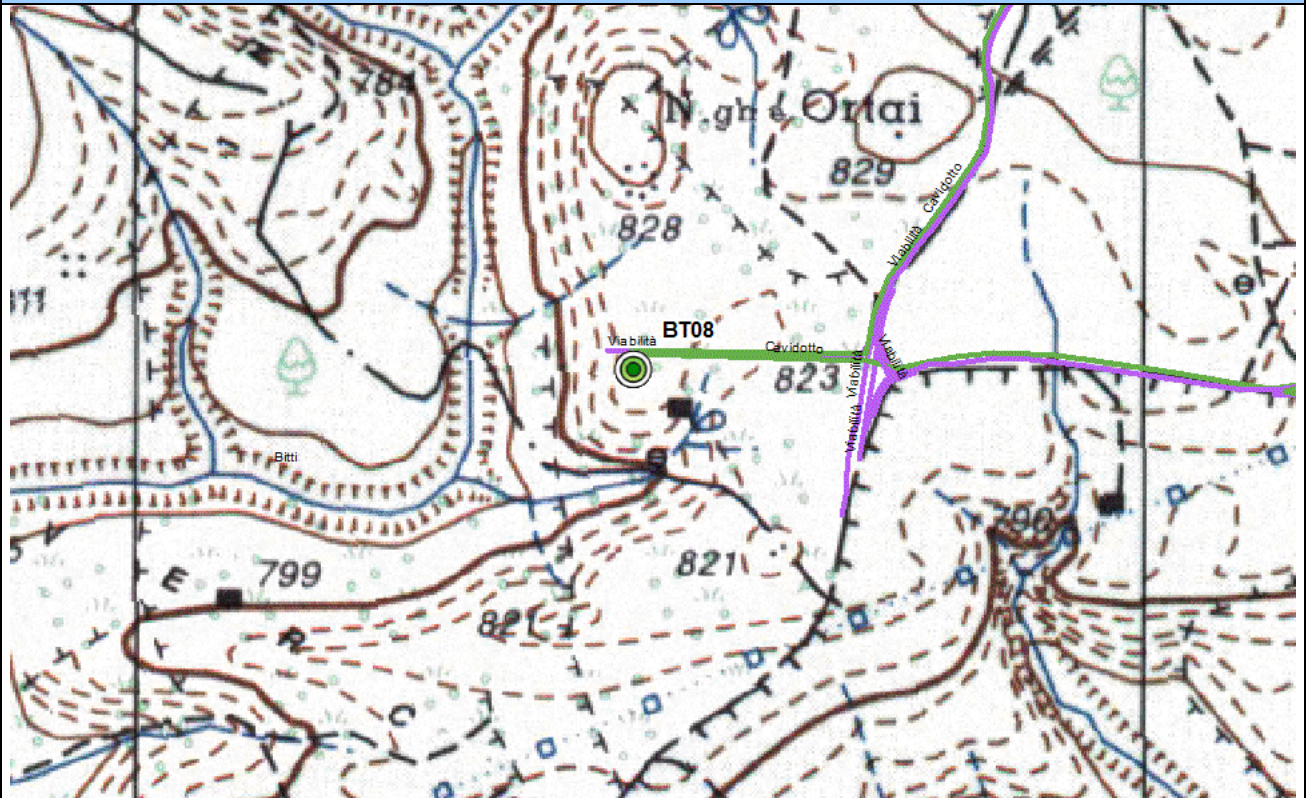


3.11 PALA BT08

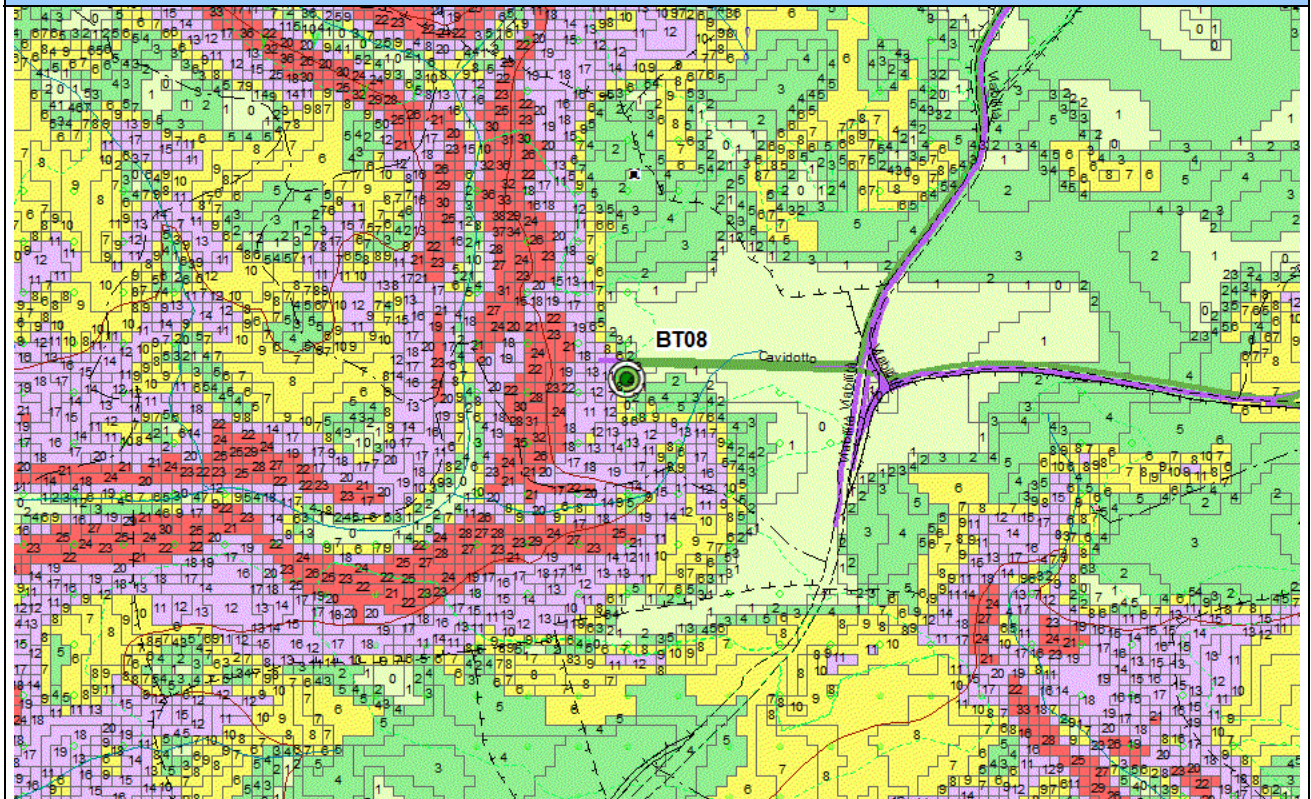
| <i>Ambito analizzato</i> | <i>Area di posizionamento della Pala BT08</i> | | | | | | |
|--|---|--------------------------------|------------------------------|-------------|------------------|------------------|-------------------|
| <i>Caratteri generali del sito</i> | Il sito in cui è posizionata la pala è ubicato in comune di Bitti Loc. Verciula, in un'area agropastorale collinare | | | | | | |
| <i>Morfologia</i> | Forme collinari da pianeggianti a subpianeggianti | | | | | | |
| <i>Caratteri pedologici</i> | Suoli costituiti da depositi di versante derivati da rocce metamorfiche, di media profondità, franco sabbiosi, mediamente permeabili, subacidi, parzialmente desaturati | | | | | | |
| <i>Gudizio di capacità d'uso del suolo</i> | Suoli classificabili nella classe V e VI della land capability | | | | | | |
| <i>Uso del suolo e colture in atto</i> | Colture estensive, pascolo e pascolo arborato. Nell'area prossima alla pala sono presenti nuclei di sughereta | | | | | | |
| <i>Copertura vegetale</i> | Colture agrarie estensive, pascolo, pascolo arborato con sughera | | | | | | |
| <i>Naturalità</i> | Livello di naturalità medio-basso per l'area di intervento | | | | | | |
| <i>Reti e infrastrutture</i> | Viabilità interpodereale con accesso sulla S.P.50 | | | | | | |
| <i>Caratteri del paesaggio agrario</i> | Paesaggio del pascolo arborato con sughere | | | | | | |
| <i>Fattori economici di mantenimento o di trasformazione</i> | Attività agropastorali. Limitate potenzialità economiche della produzione agrozootecnica per la scarsa fertilità del suolo | | | | | | |
| <i>Sensibilità del sito</i> | Suolo e soprassuolo di scarso interesse agrario, sensibilità bassa, | | | | | | |
| <i>Possibili impatti</i> | Perdita di suolo. Polveri e rumore durante l'esecuzione dei lavori | | | | | | |
| | | | <i>Origine degli impatti</i> | | | | |
| | <i>Produzione degli impatti</i> | | Sottostazioni | Pale | Viabilità | Cavidotti | Cumulativi |
| | Ambito | Componenti | | | | | |
| | <i>Sistema ambientale</i> | Vegetazione | 0 | 1 | 1 | 1 | 1 |
| | | Idrologia | 0 | 0 | 0 0 0 | | |
| | | Suolo | 0 | 3 | 1 | 1 | 3 |
| | | Produzione di rumori e polveri | 0 | 1 | 1 | 1 | 1 |
| | <i>Infrastrutture rurali</i> | Aziende agricole | 0 | 0 | 0 0 0 | | |
| | | Rete irrigua | 0 | 0 | 0 0 0 | | |
| Viabilità locale | | 0 0 | | 1 | 1 | 1 | |
| Altre infrastrutture | | 0 | 0 | 0 0 0 | | | |
| <i>Paesaggio agrario</i> | Modifiche del paesaggio agrario | 0 | 3 | 1 0 | | 3 | |
| <i>Interventi di mitigazione e compensazione</i> | Ripristino dei luoghi al termine dei lavori. Interventi di forestazione compensativa | | | | | | |
| <i>Note</i> | Scala approssimativa delle immagini 1:5.000 | | | | | | |

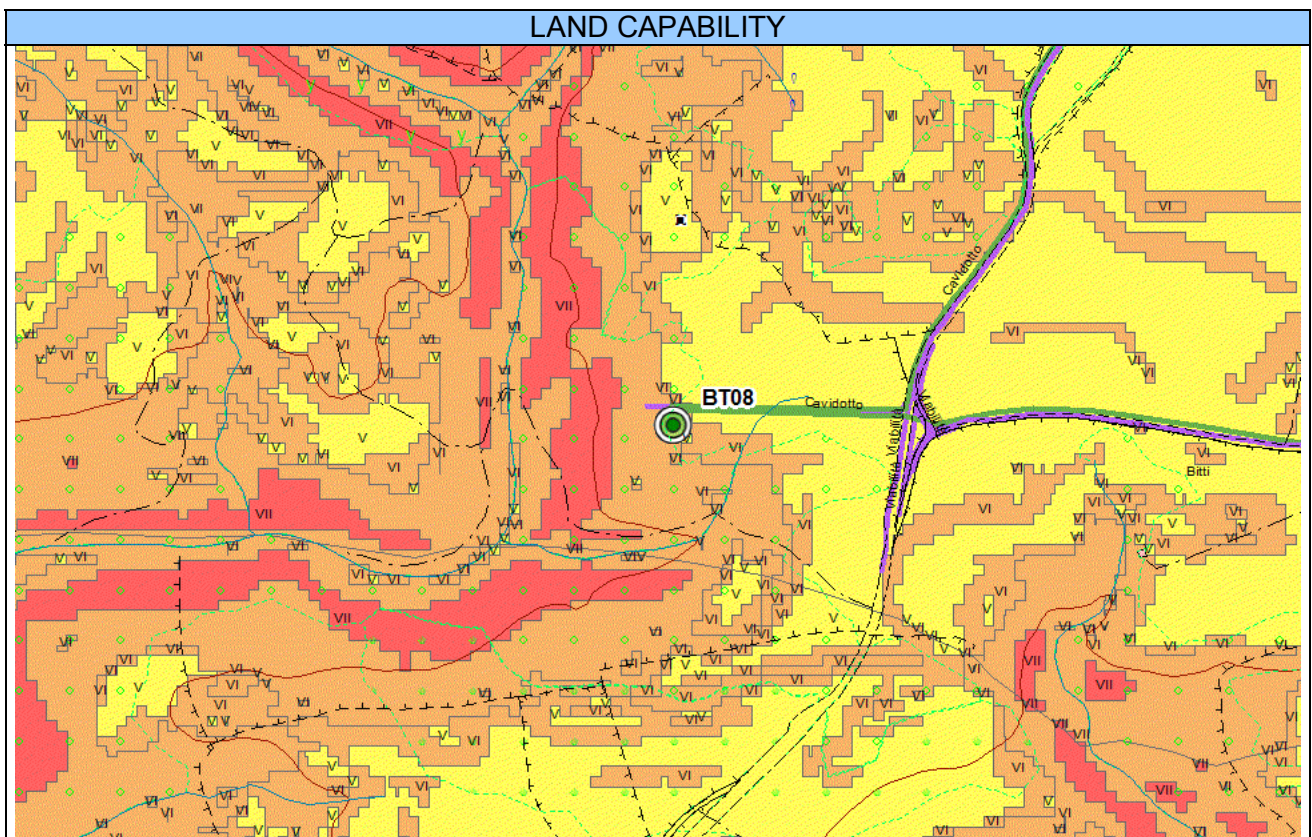
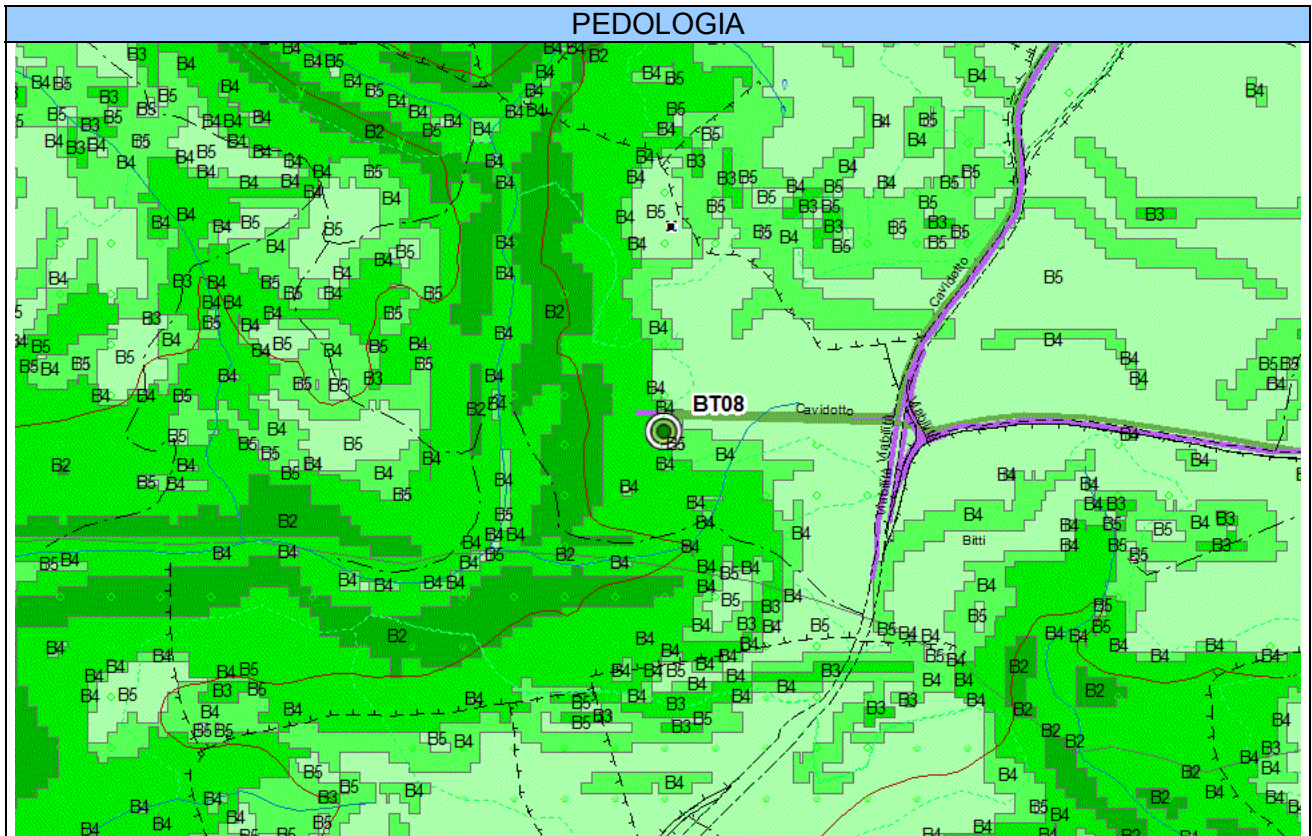


INQUADRAMENTO IGM



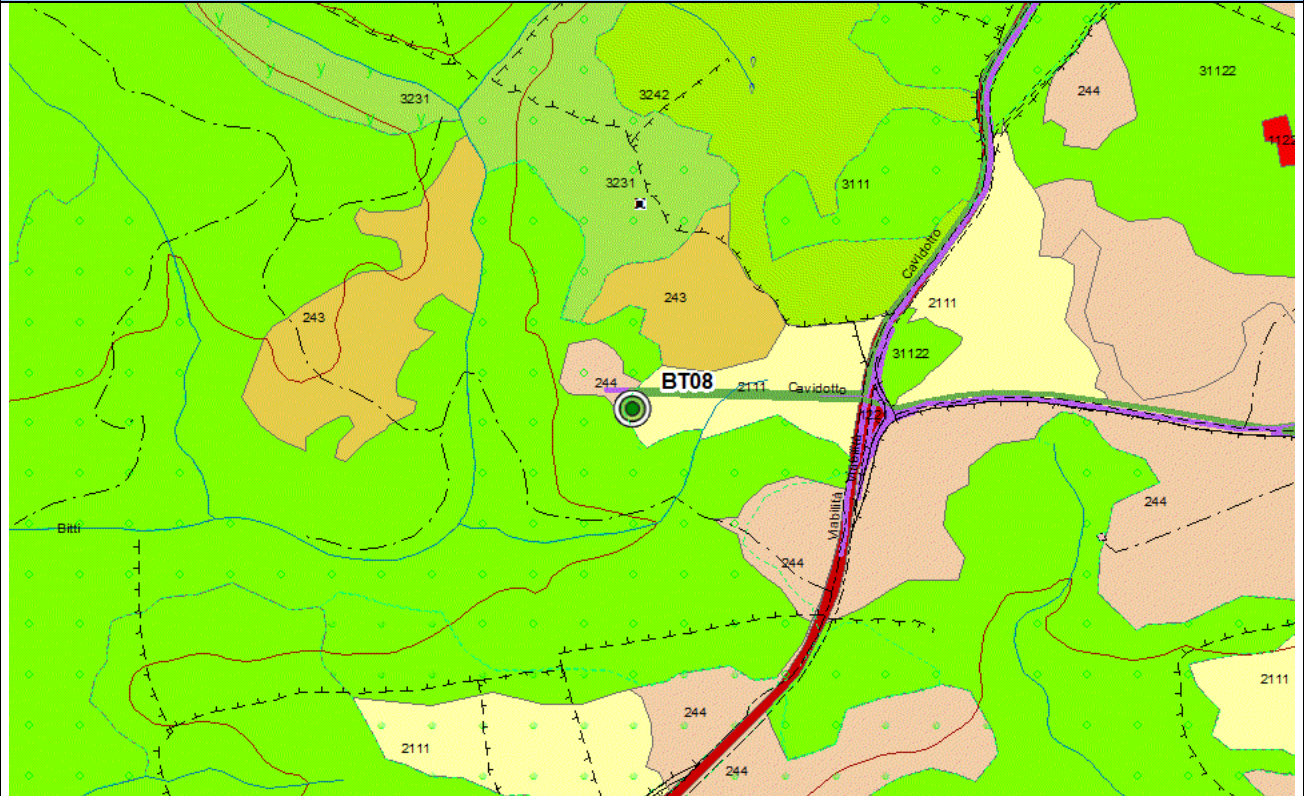
MORFOLOGIA



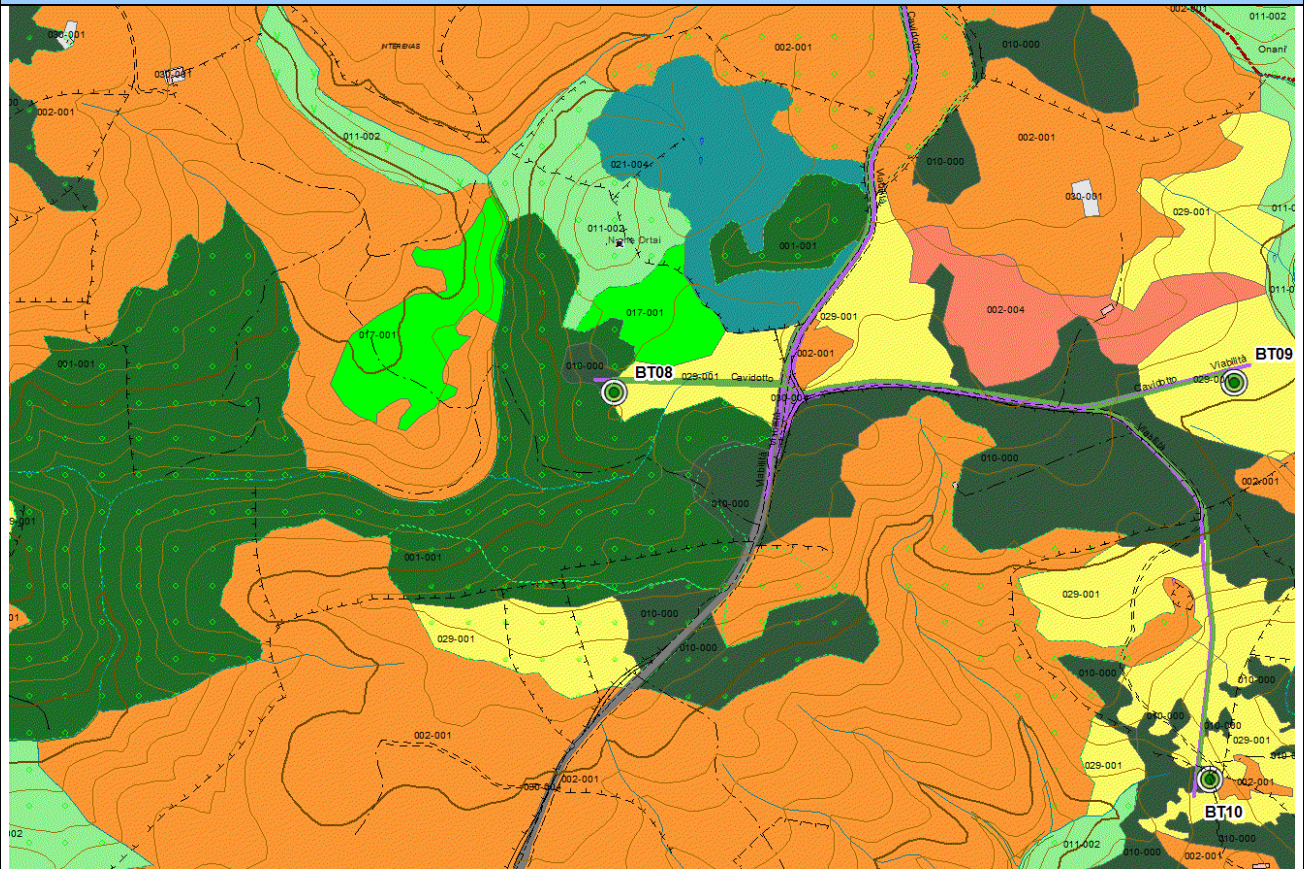




USO DEL SUOLO



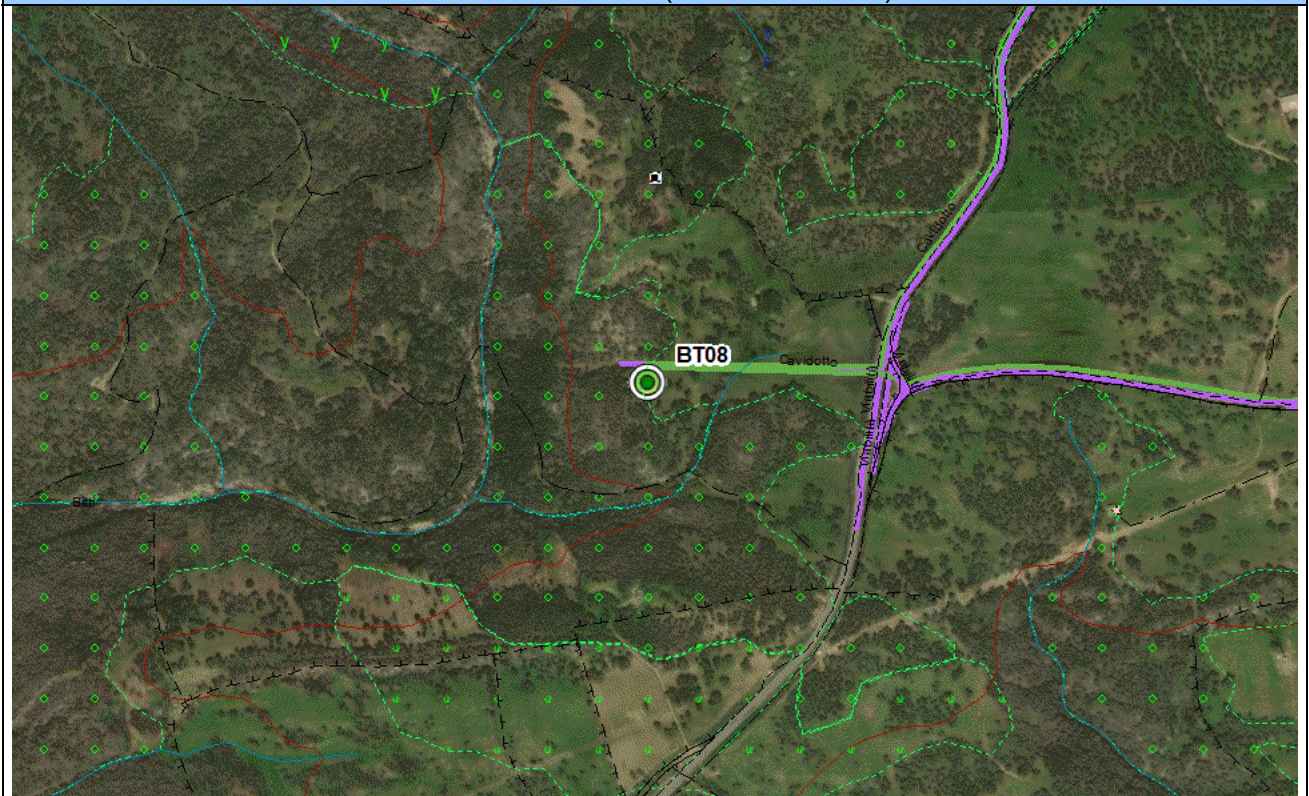
COPERTURA VEGETALE



ORTOFOTO 2006 (RAS)



ORTOFOTO 2018 (ESRI IMAGERY)





| VISTE |
|-------|
| |

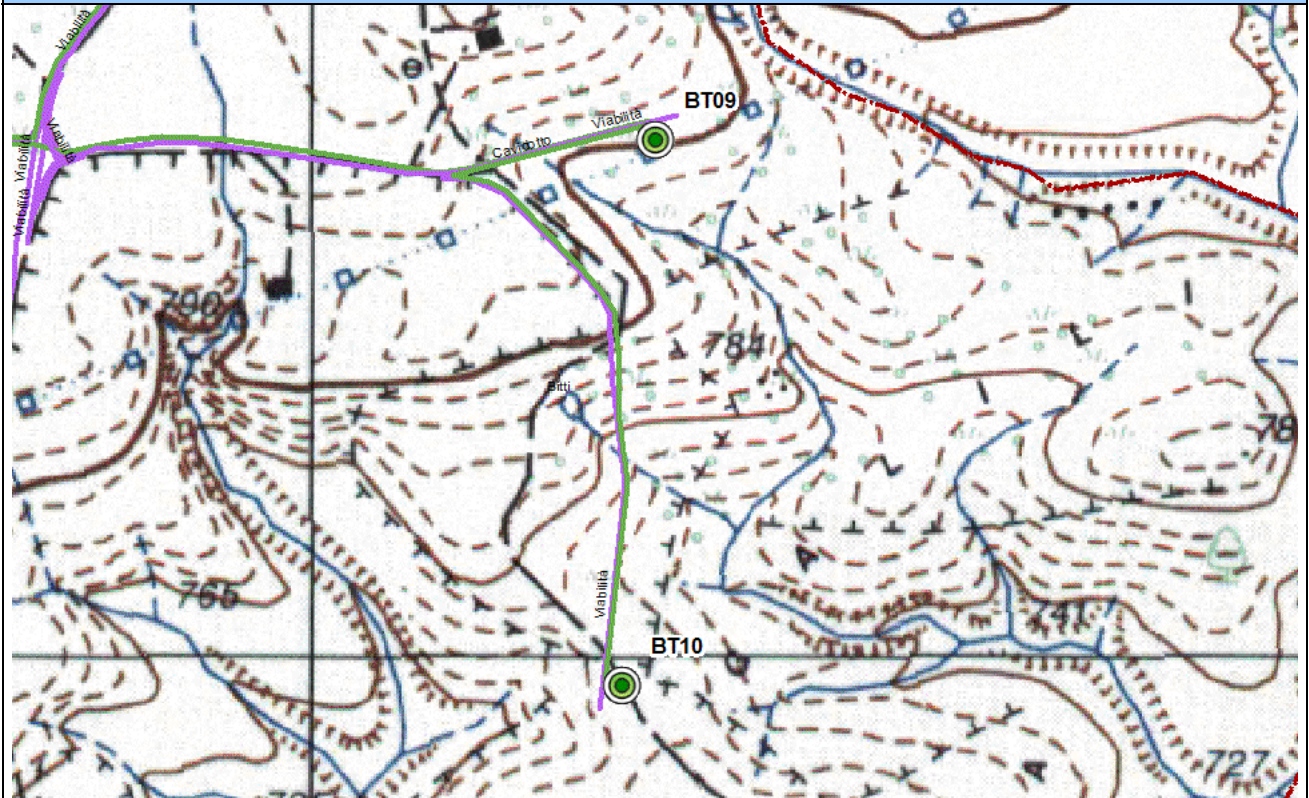


3.12 PALA BT09 E BT10

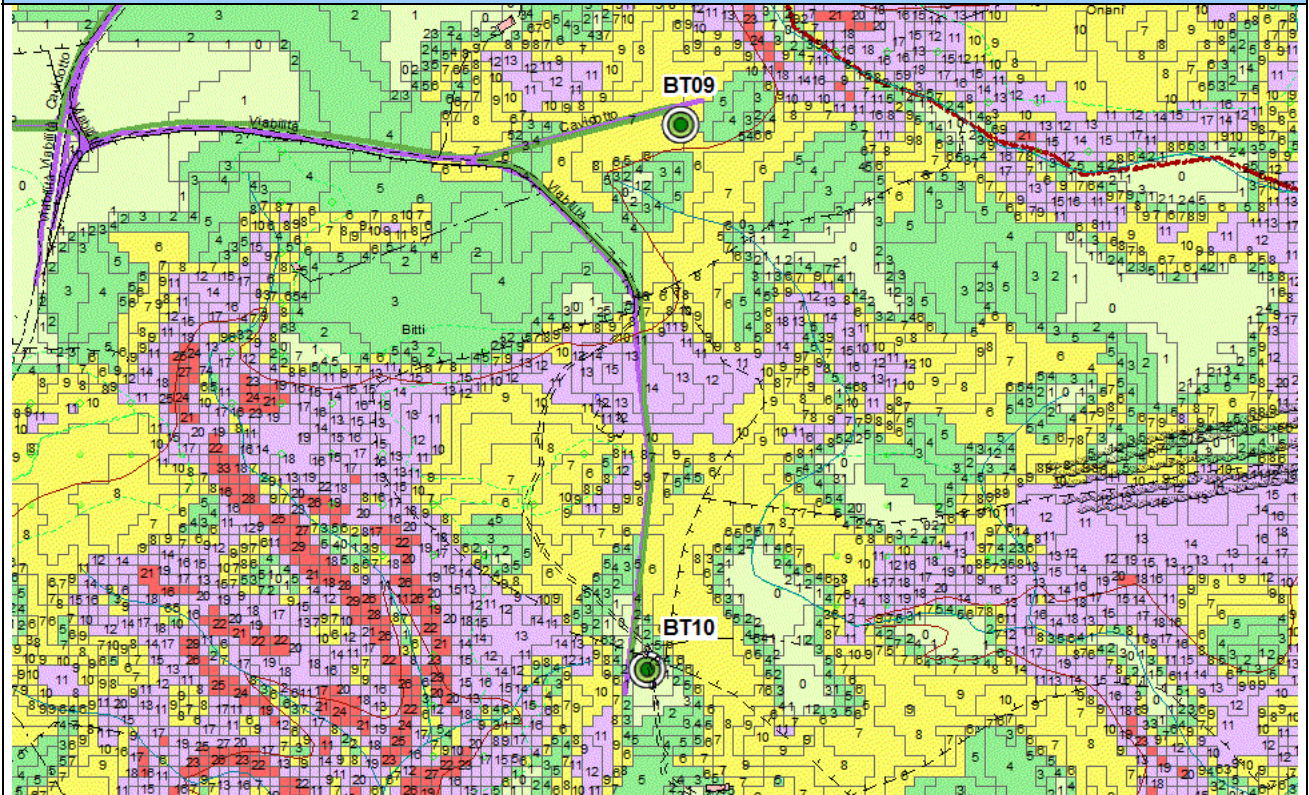
| Ambito analizzato | Area di posizionamento delle Pale BT09 e BT10 | | | | | | |
|---|--|--------------------------------|-----------------------|-------|-----------|-----------|------------|
| Caratteri generali del sito | Le pale sono posizionate in comune di Bitti, loc. Selicosa, in un'area collinare pianeggiante in una zona libera circondata da aree con pascolo arborato | | | | | | |
| Morfologia | Forme collinari da subpianeggianti a moderatamente acclivi | | | | | | |
| Caratteri pedologici | Suoli costituiti da depositi di versante derivati da rocce metamorfiche, di media profondità, franco sabbiosi, mediamente permeabili, subacidi, parzialmente desaturati | | | | | | |
| Giudizio di capacità d'uso del suolo | Suoli classificabili nella classe V (VI) della land capability | | | | | | |
| Uso del suolo e colture in atto | Colture estensive, pascolo e pascolo arborato. Nell'area sono presenti altre pale eoliche | | | | | | |
| Copertura vegetale | Colture agrarie estensive, pascolo, pascolo arborato con sughera | | | | | | |
| Naturalità | Livello di naturalità da basso per la presenza dei terreni arati a medio per presenza pascolo arborato | | | | | | |
| Reti e infrastrutture | Viabilità interpodereale con accesso sulla S.P. 50, piccole strutture zootecniche non residenziali e pale eoliche nell'intorno | | | | | | |
| Caratteri del paesaggio agrario | Paesaggio del pascolo arborato | | | | | | |
| Fattori economici di mantenimento o di trasformazione | Attività agropastorali. Limitate potenzialità economiche della produzione agricola per la scarsa fertilità del suolo | | | | | | |
| Sensibilità del sito | Suolo e soprassuolo di scarso interesse agrario, sensibilità bassa, | | | | | | |
| Possibili impatti | Perdita di suolo per creazione di tratto di viabilità di accesso (necessario il riallineamento della strada interpodereale). Prelievo e trapianto di alcune sughere presenti. Polveri e rumore durante l'esecuzione dei lavori | | | | | | |
| | | | Origine degli impatti | | | | |
| | Produzione degli impatti | | Sottostazioni | Pale | Viabilità | Cavidotti | Cumulativi |
| | Ambito | Componenti | | | | | |
| | Sistema ambientale | Vegetazione | 0 | 1 | 1 | 1 | 1 |
| | | Idrologia | 0 | 0 | 0 0 0 | | |
| | | Suolo | 0 | 3 | 1 | 1 | 3 |
| | | Produzione di rumori e polveri | 0 | 1 | 1 | 1 | 1 |
| | Infrastrutture rurali | Aziende agricole | 0 | 0 | 0 0 0 | | |
| | | Rete irrigua | 0 | 0 | 0 0 0 | | |
| Viabilità locale | | 0 0 | | 1 | 1 | 1 | |
| Altre infrastrutture | | 0 | 0 | 0 0 0 | | | |
| Paesaggio agrario | Modifiche del paesaggio agrario | 0 | 3 | 1 0 | | 3 | |
| Interventi di mitigazione e compensazione | Ripristino dei luoghi al termine dei lavori. Prelievo e trapianto di n. 10 sughere presenti lungo il percorso. Interventi di forestazione compensativa | | | | | | |
| Note | Scala approssimativa delle immagini 1:5.000 | | | | | | |
| Giudizio sintetico | Impatti complessivamente limitati, buona compatibilità con il progetto | | | | | | |

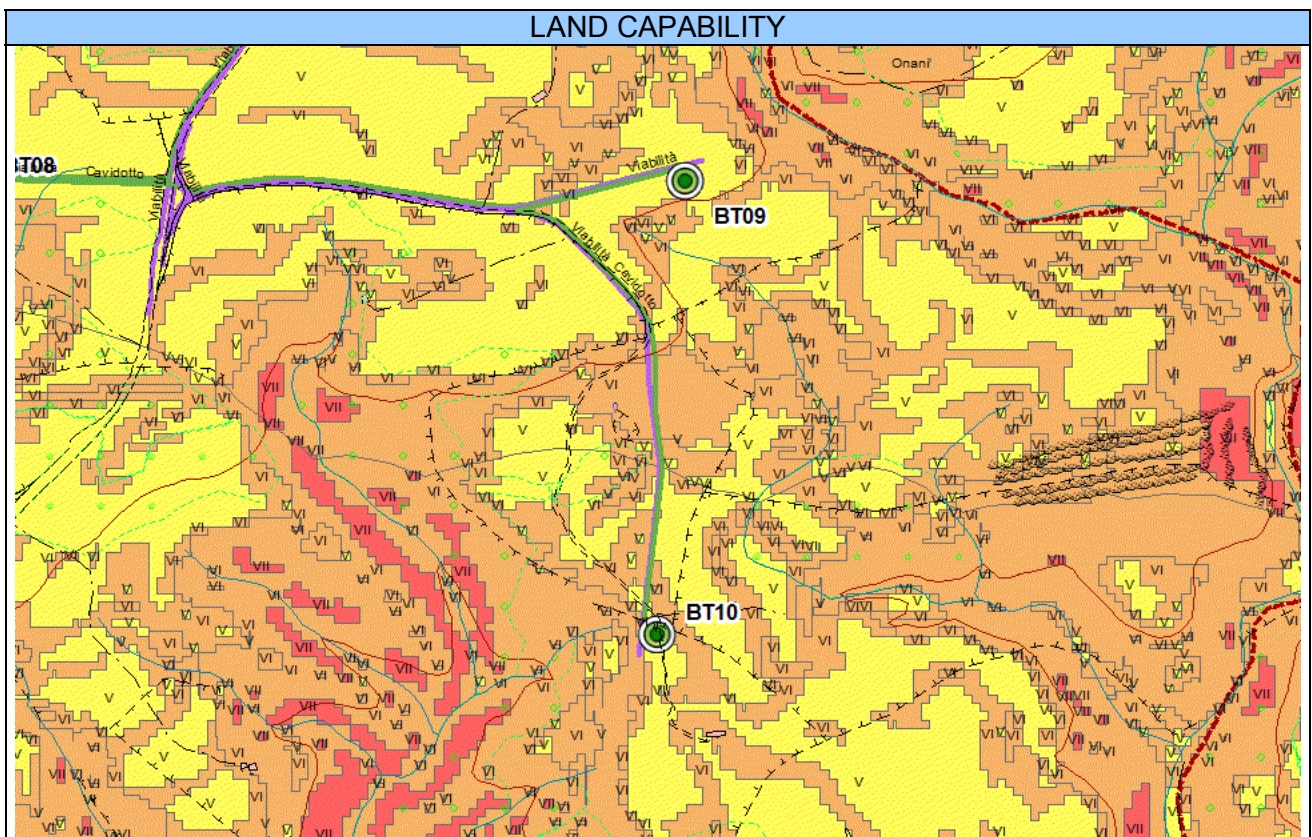
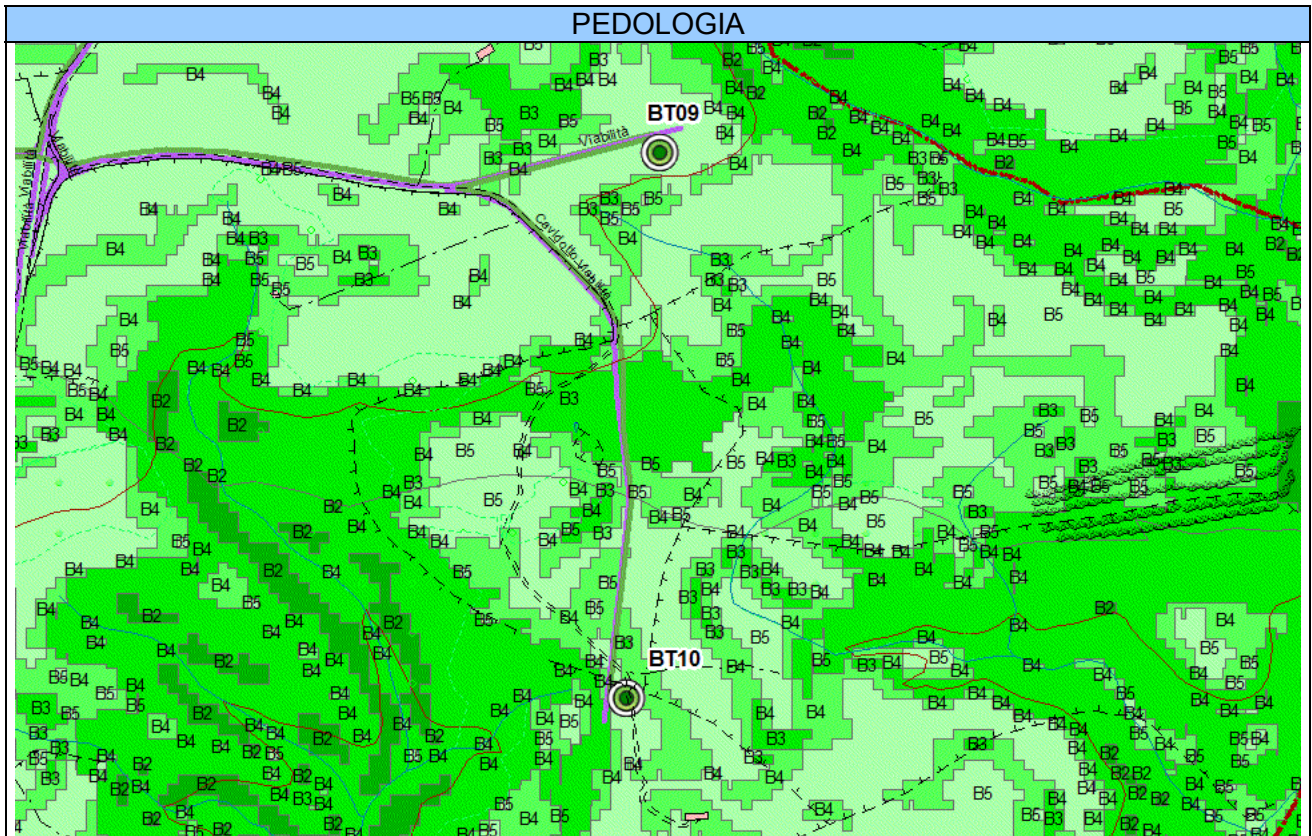


INQUADRAMENTO IGM



MORFOLOGIA



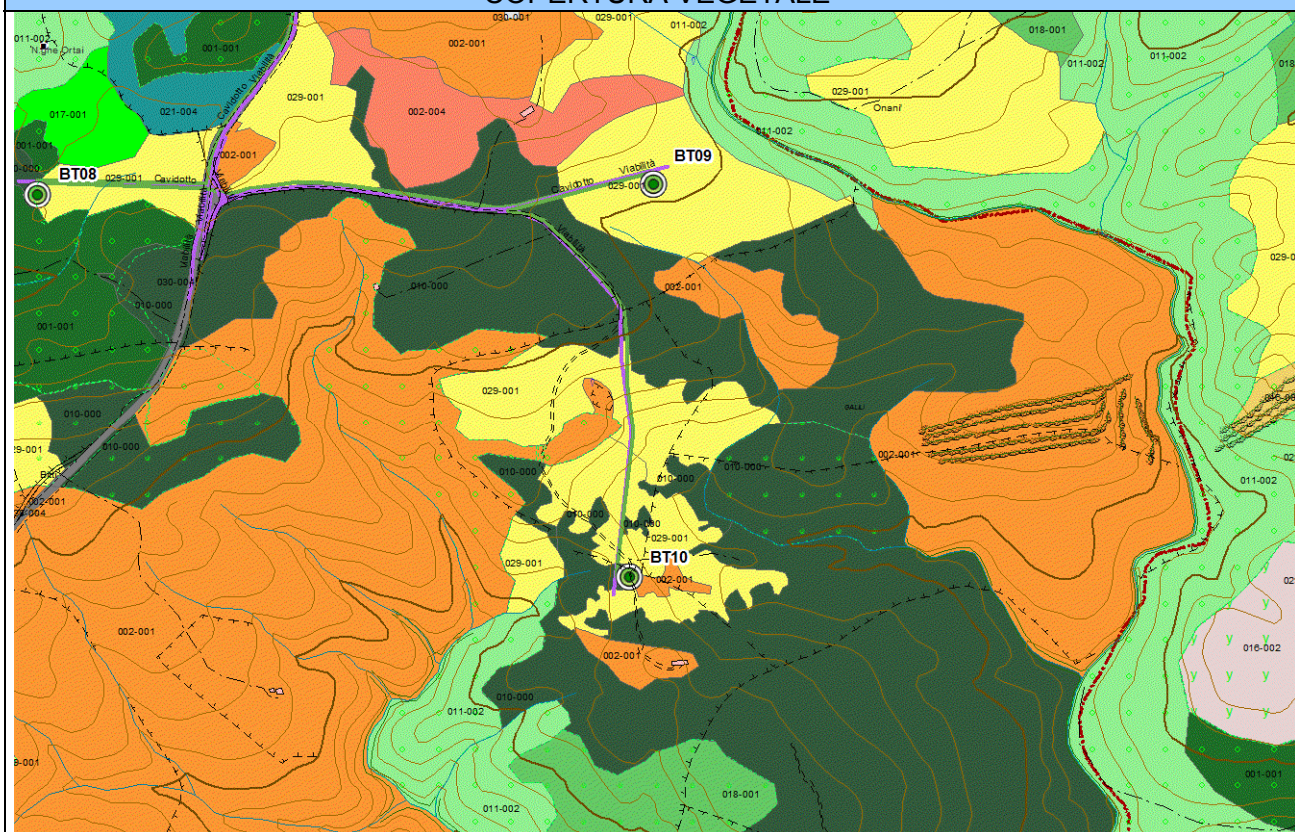




USO DEL SUOLO



COPERTURA VEGETALE

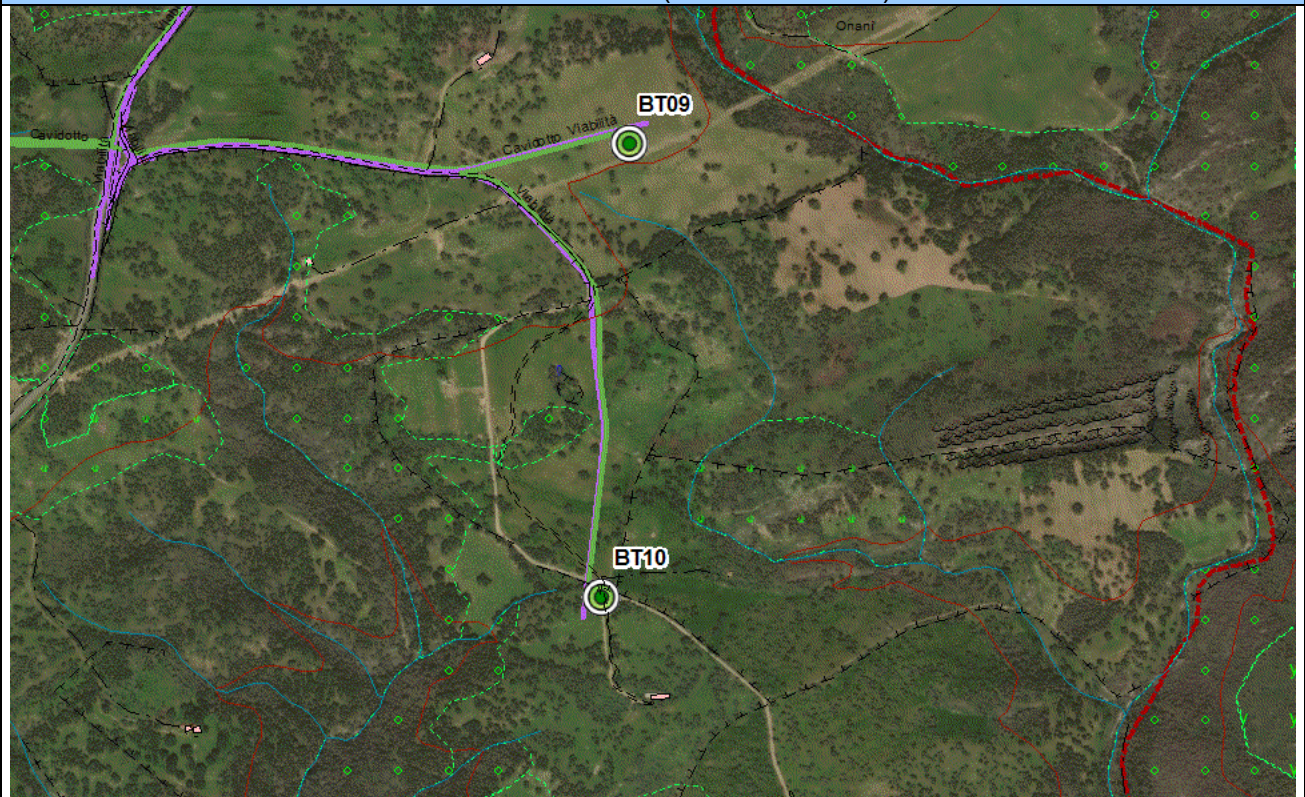




ORTOFOTO 2006 (RAS)



ORTOFOTO 2018 (ESRI IMAGERY)





| |
|-------|
| VISTE |
| |

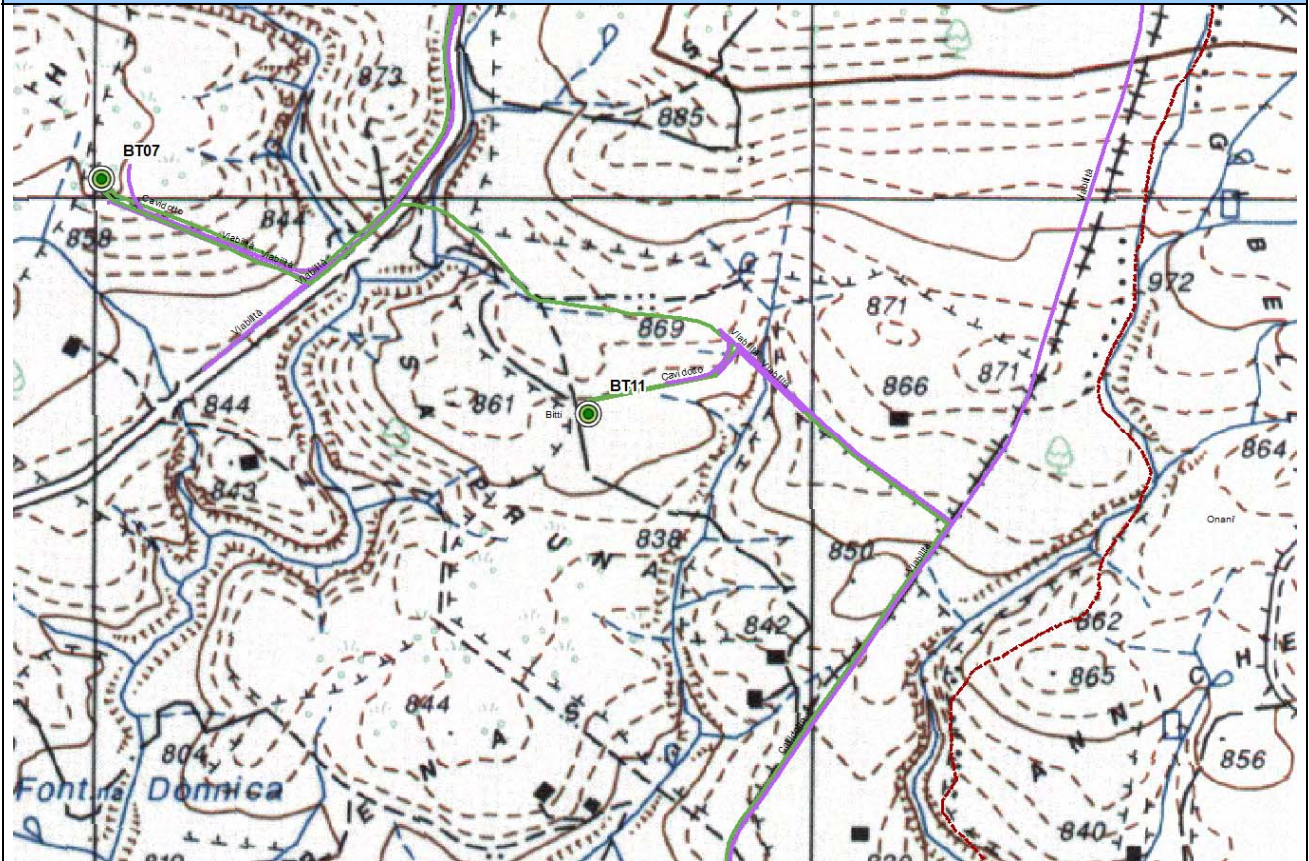


3.13 PALA BT11

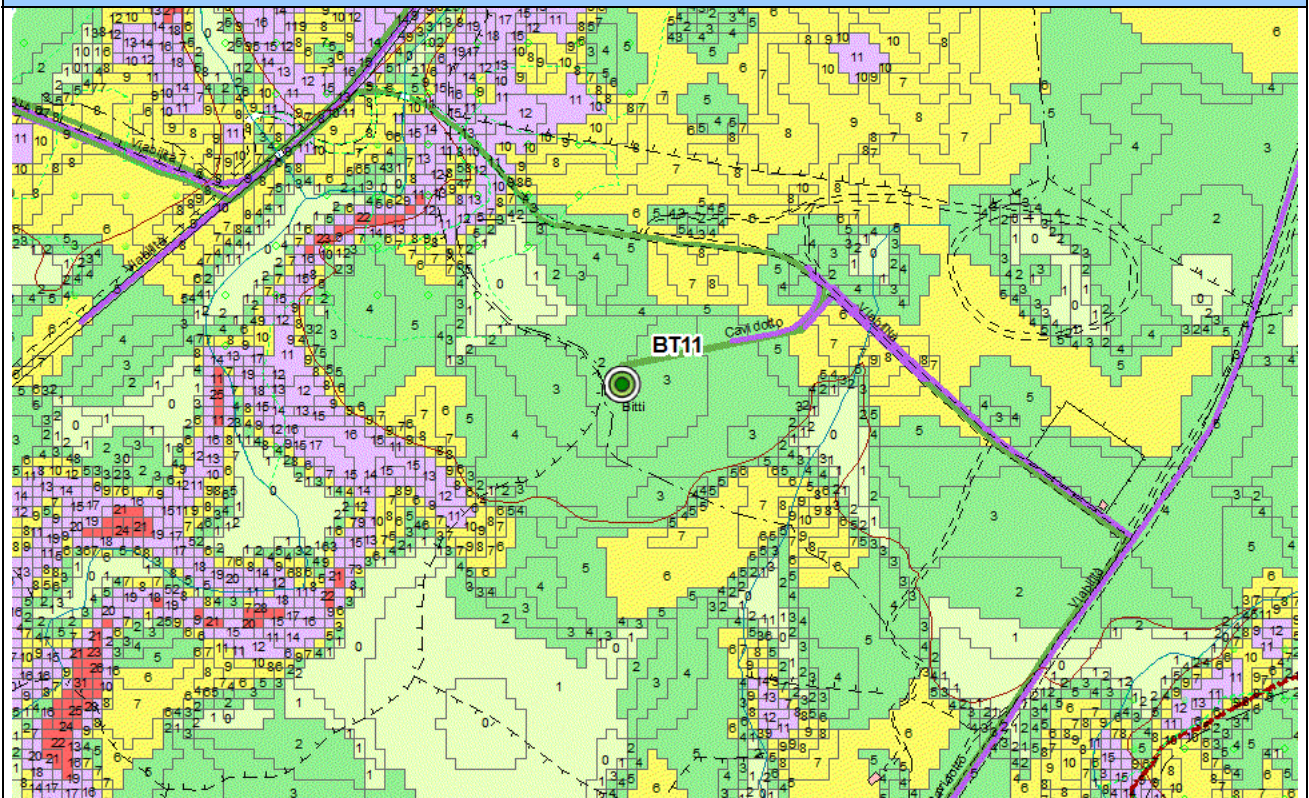
| <i>Ambito analizzato</i> | <i>Area di posizionamento della Pala BT11</i> | | | | | | |
|--|---|--------------------------------|------------------------------|-------------|------------------|------------------|-------------------|
| <i>Caratteri generali del sito</i> | La pala è posizionata in comune di Bitti loc. Sa Piruna un'area agropastorale | | | | | | |
| <i>Morfologia</i> | Forme subpianeggianti | | | | | | |
| <i>Caratteri pedologici</i> | Suoli derivati da rocce metamorfiche, di media profondità, franco sabbiosi, mediamente permeabili, subacidi, parzialmente desaturati. | | | | | | |
| <i>Gudizio di capacità d'uso del suolo</i> | Suoli classificabili nella classe V della land capability | | | | | | |
| <i>Uso del suolo e colture in atto</i> | Pascolo e pascolo arborato con sughera | | | | | | |
| <i>Copertura vegetale</i> | Pascolo e pascolo arborato con sughere isolate | | | | | | |
| <i>Naturalità</i> | Livello di naturalità medio-basso per l'area di intervento, elevato in corrispondenza dei nuclei di sughera | | | | | | |
| <i>Reti e infrastrutture</i> | Fabbricati rurali nelle vicinanze | | | | | | |
| <i>Caratteri del paesaggio agrario</i> | Paesaggio del pascolo arborato sulle colline granitiche | | | | | | |
| <i>Fattori economici di mantenimento o di trasformazione</i> | Limitate potenzialità economiche della produzione agricola in atto per la scarsa fertilità del suolo | | | | | | |
| <i>Sensibilità del sito</i> | Suolo e soprassuolo di scarso interesse agrario, sensibilità bassa, | | | | | | |
| <i>Possibili impatti</i> | Perdita di suolo. Polveri e rumore durante l'esecuzione dei lavori | | | | | | |
| | | | <i>Origine degli impatti</i> | | | | |
| | <i>Produzione degli impatti</i> | | Sottostazioni | Pale | Viabilità | Cavidotti | Cumulativi |
| | Ambito | Componenti | | | | | |
| | <i>Sistema ambientale</i> | Vegetazione | 0 | 1 | 1 | 1 | 1 |
| | | Idrologia | 0 | 0 0 0 | | | 0 |
| | | Suolo | 0 | 3 | 1 | 1 | 3 |
| | | Produzione di rumori e polveri | 0 | 1 | 1 | 1 | 1 |
| | <i>Infrastrutture rurali</i> | Aziende agricole | 0 | 0 0 0 | | | 0 |
| | | Rete irrigua | 0 | 0 0 0 | | | 0 |
| Viabilità locale | | 0 0 | | 1 | 1 | 1 | |
| Altre infrastrutture | | 0 | 0 0 0 | | | 0 | |
| <i>Paesaggio agrario</i> | Modifiche del paesaggio agrario | 0 | 3 | 1 0 | | 3 | |
| <i>Interventi di mitigazione e compensazione</i> | Ripristino dei luoghi al termine dei lavori. Interventi di forestazione compensativa | | | | | | |
| <i>Note</i> | Scala approssimativa delle immagini 1:5.000 | | | | | | |



INQUADRAMENTO IGM

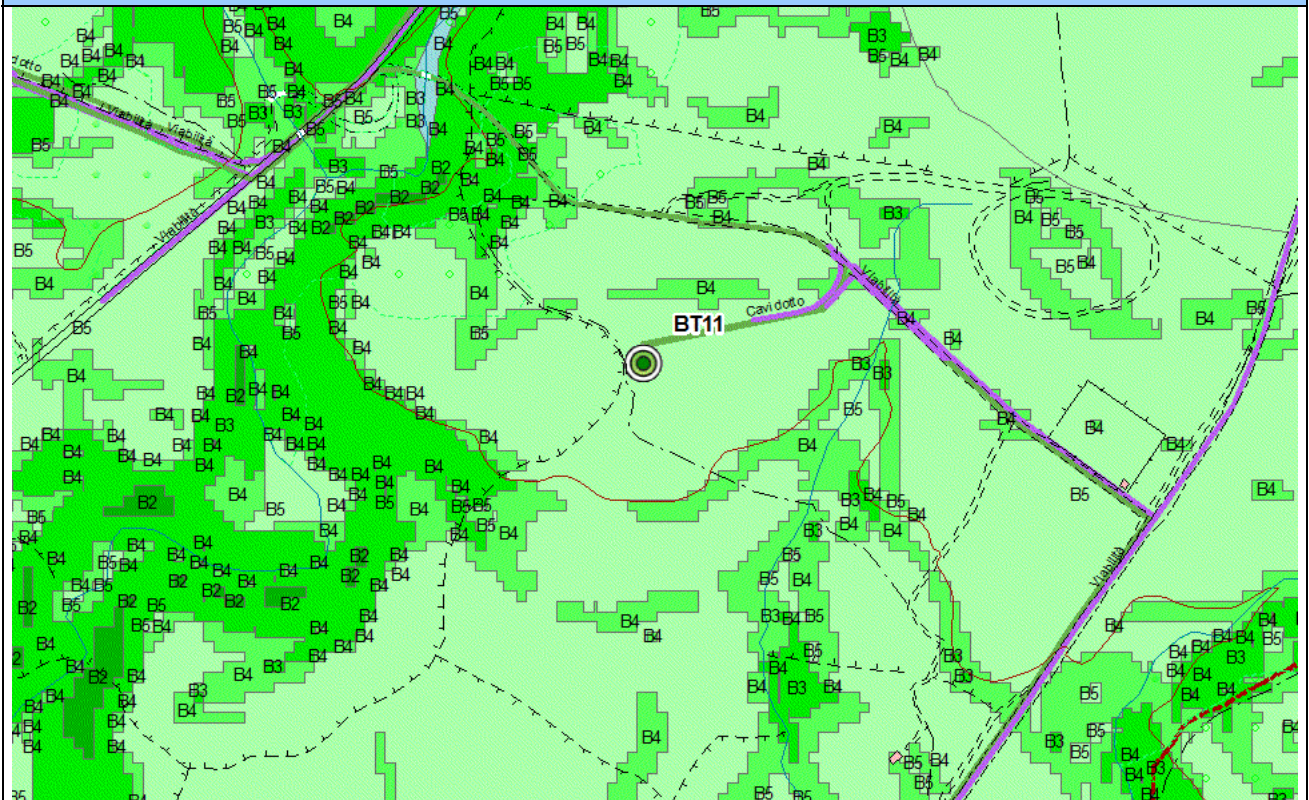


MORFOLOGIA

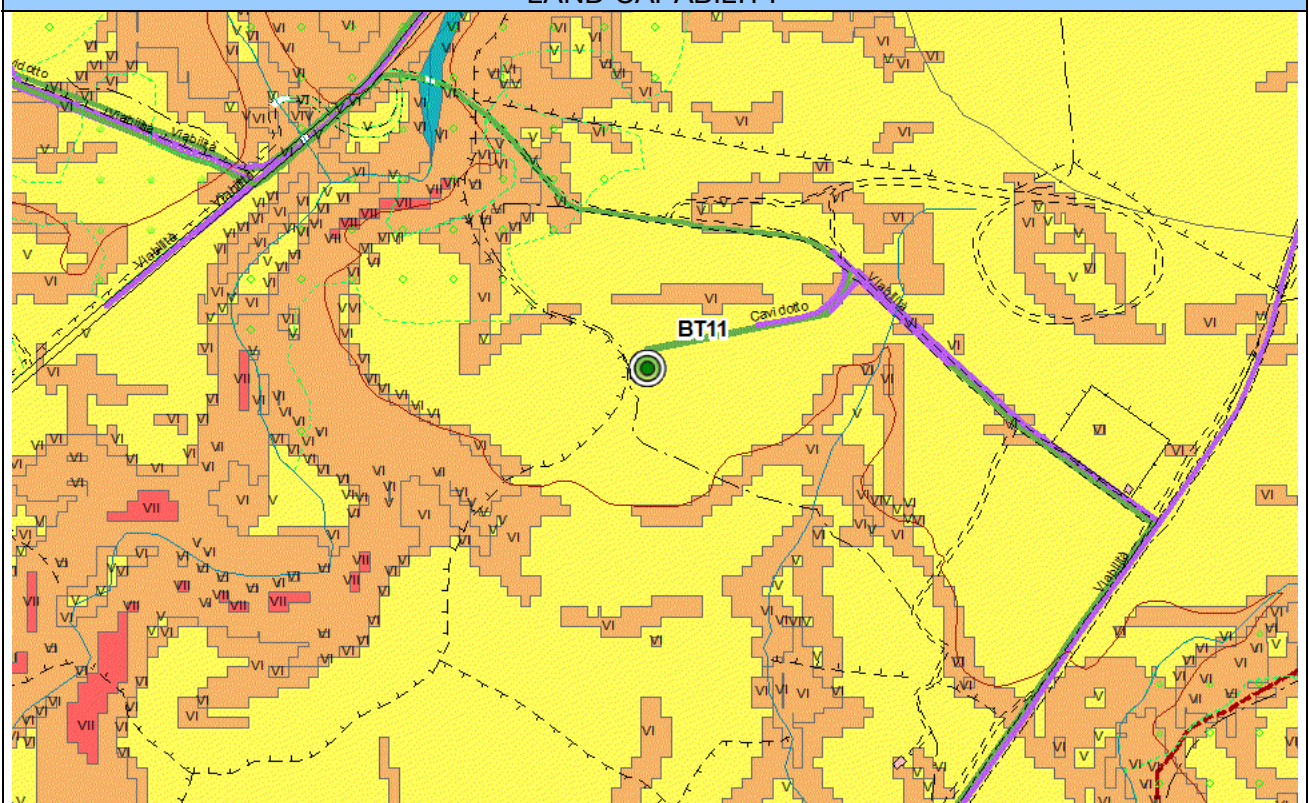




PEDOLOGIA

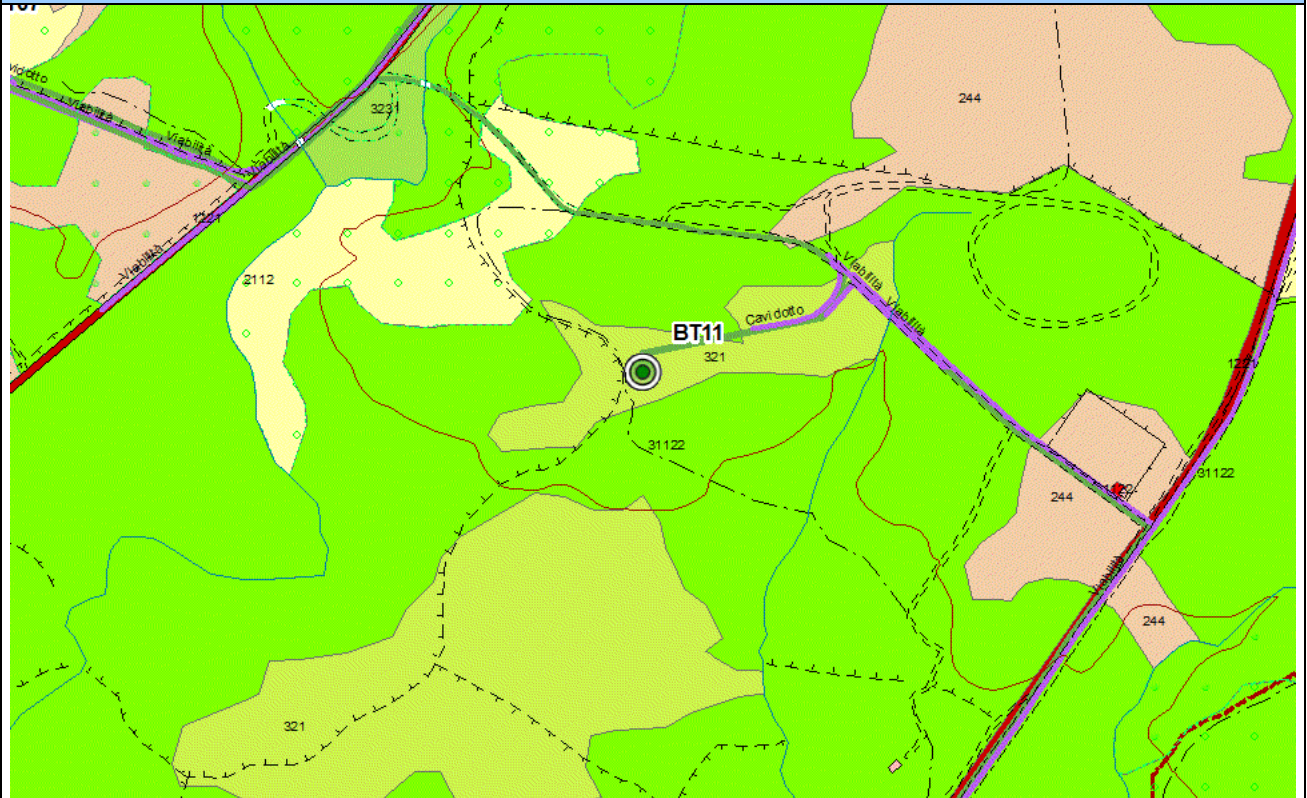


LAND CAPABILITY

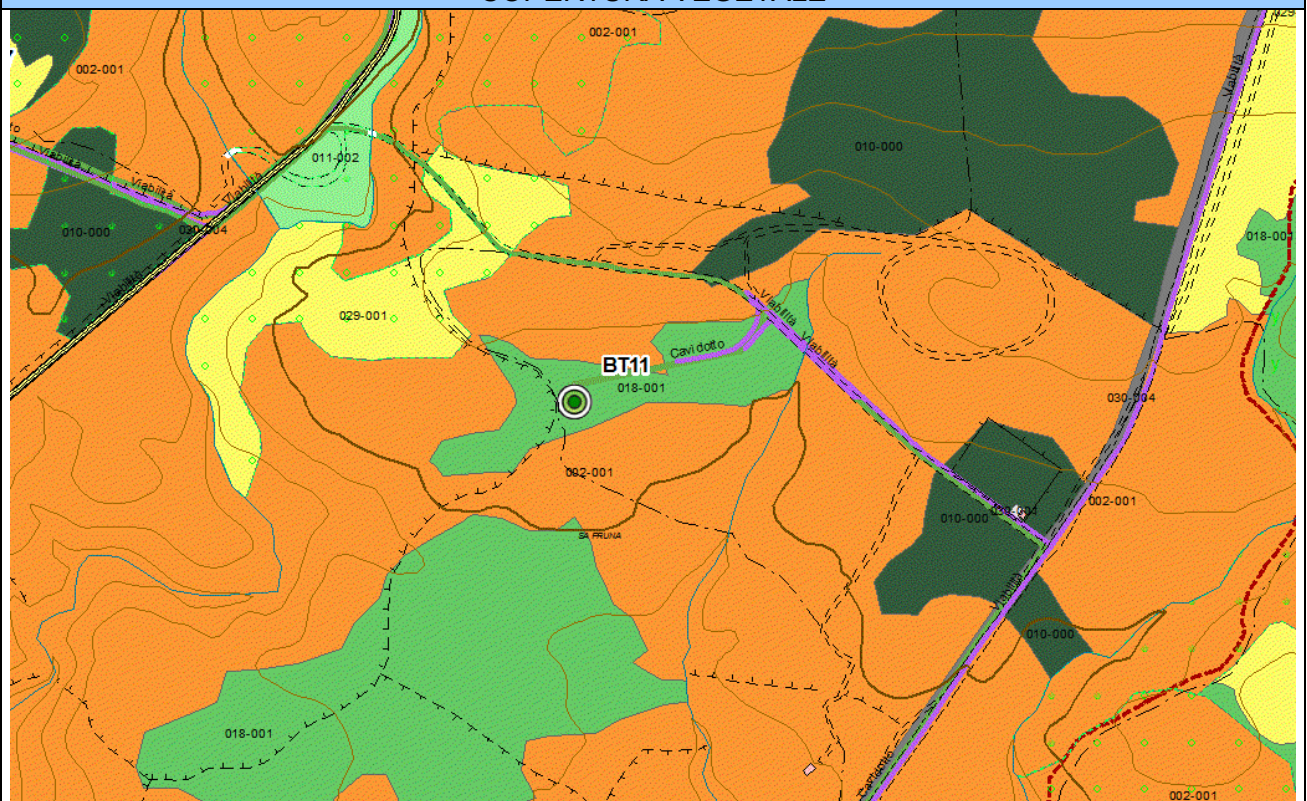




USO DEL SUOLO

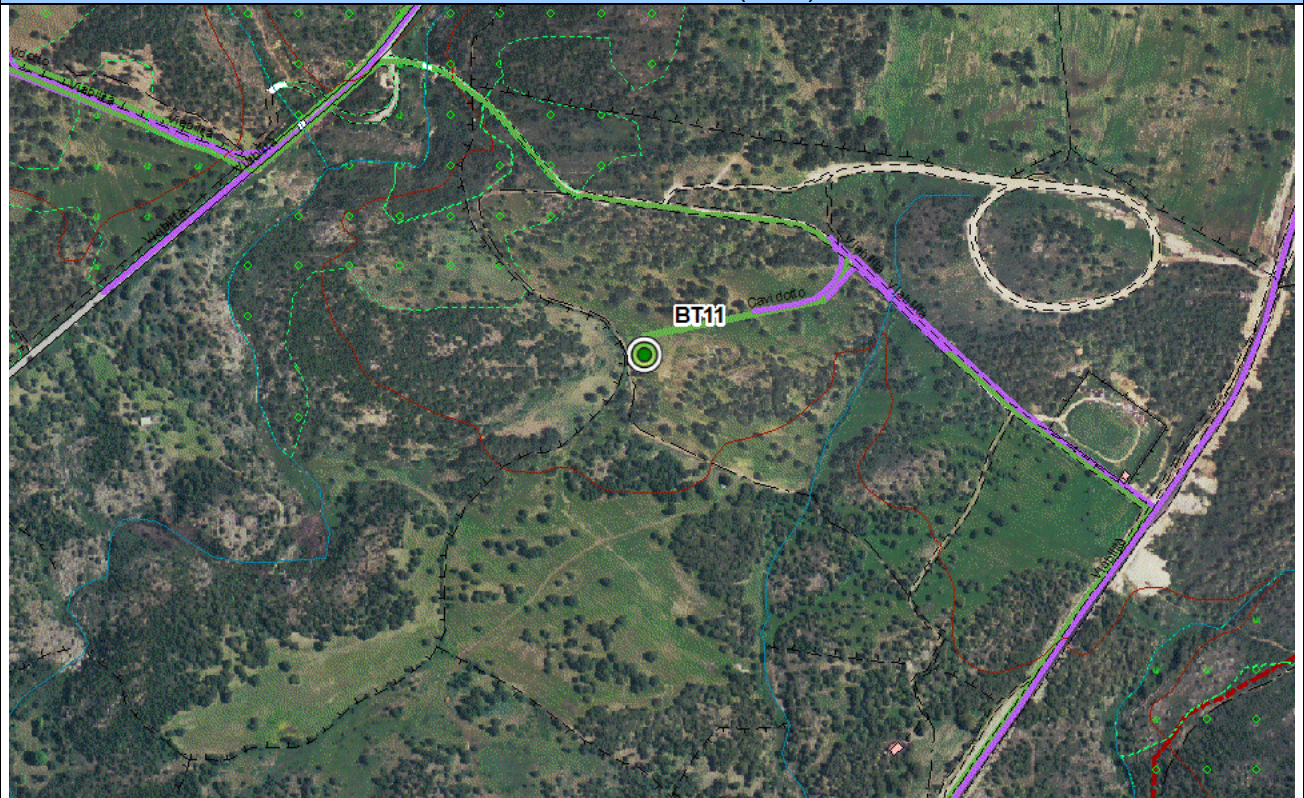


COPERTURA VEGETALE





ORTOFOTO 2006 (RAS)



ORTOFOTO 2018 (ESRI IMAGERY)



VISTE



4 INQUADRAMENTO STORICO CULTURALE DEL TERRITORIO¹

La vasta area che fa da cornice all'intervento, definita formalmente da un buffer dal raggio di m 10.000 attorno ad ogni aerogeneratore², è un quadro di densità storica che permette non solo di evidenziare una rete di paesaggi culturali e di monumenti, ma di definire un contesto la cui lettura è premessa indispensabile per cogliere l'area specifica oggetto di intervento.

Si tratta sostanzialmente di aree montane, pedemontane a forte caratterizzazione boschiva, con importanti elementi idrologici (su tutti le sorgenti del Tirso, ubicabili in comune di Buddusò nel complesso monumentale di Sos Muros e presso la fonte di Abbas de Frau), dove dai tempi del Neolitico iniziarono a delinearsi occupazioni antropiche che faranno dell'area una delle più ricche e significative della storica 'Barbaria'. Si formano lungo i millenni, nella relazione fra uomo e risorse ambientali, zone di stanziamento che dialogano con aree e vie di sosta temporanea e passaggio, arrivando a definire in modo ancora percepibile "le tracce dell'opposizione-integrazione del paberile-viddazzone-salti"³.

Attorno al territorio della Barbagia superiore, nella Barbagia di Bitti, si incrociano le realtà definite, ai margini della nostra area vasta, dai monti di Gallura e Goceano, dalle alture a Nord in area Monte Tepilora, e da quel limite fondamentale e prospettico di definizione paesaggistica costituito dal Monte Albo.

Se le vicende più antiche della preistoria sono suggerite dalla presenza del megalitismo di *dolmen* e *menhir*, sino a robusti insediamenti d'altura, il popolamento si infittisce con una particolare e densa occupazione nuragica che gestisce, nei suoi centri principali, vari livelli di economia e antropizzazione. Si pensi al grande centro di Su Romanzesu, in comune di Bitti, che sembra maturare la sua straordinaria ricchezza - la cogliamo dagli esiti monumentali e antropologici - nel controllo dei transiti della ricchezza materiale, o alla rete dei nuraghi e dei luoghi sacri pedemontani e d'altura, che ha esiti particolarmente interessanti nei monti di Alà (da ricordare, pur in buona parte al di fuori della nostra area vasta) e alla rete dei nuraghi pedemontani, d'altura e di piano, con il significativo episodio del nuraghe Loelle e delle vicine tombe di giganti ad esso relative.

Al momento sembra poco o nulla visibile la documentazione fenicia e punica, anche se dobbiamo ricordare la presenza di sepolture in ziro⁴ in territorio di Buddusò, già indiziata da materiali fenici presso il nuraghe Ruju,⁵ che potrebbero, come altrove, essere indizio di persistenza culturale punica; si segnalano anche vaghi di pasta vitrea policroma da un contesto tombale nella regione di Cheddai.⁶ Di rilievo appare la presenza romana, indicata da ritrovamenti vari e da una rete viaria che, attraverso la *statio* di *Caput Thyrsi*⁷ ipotizzata presso Sos Muros di Buddusò, vede il territorio fra Bitti (ad esso più prossimo) e Buddusò attraversato da nord a sud dall'*Iter Ab Ulbia-Carales*, che dopo Bitti si dirige verso i territori a ovest del Gennargentu, in direzione del Sarcidano e Cagliari. Un altro snodo legato alla problematica delle sorgenti del Tirso appare collegato alla fonte di Abbas de Frau e al sito ad essa relativo, attribuito ad età romana.

¹ Cfr. "Carta delle evidenze archeologiche e delle emergenze culturali significative del territorio", allegato 2.

² Secondo le indicazioni del D.M. 10.9.2010, All. 4: vedi allegato 2, 'Carta di distribuzione delle emergenze archeologiche e dei beni culturali rilevanti'.

³ PIGOZZI 2002, 219.

⁴ Archivio SABAP SS-NU, segnalazione di Padre Demelas da località Domu 'e Polcos (prot. 1757, 22.11.60) e risposta del Soprintendente Guglielmo Maetzke con lettera del 13.9.1960.

⁵ GUIRGUIS 2017, 488.

⁶ Le perle in pasta vitrea di diversi colori ricordate nella scheda del Parco di Tepilora potrebbero anche riferirsi a materiali tardo-punici: <http://www.tepilorapark.it/pun-dettaglio.php?id=2605>

⁷ BELLI 1988, 339. fig.1; MASTINO 2006, 35-40.



Anche questi dati rimandano alle tematiche aperte della romanizzazione delle aree barbaricine, e pongono una relazione fra la storia di luoghi scoperti e ancora da individuare lungo grandi direttrici viarie e tracciati minori collegati.

Ugualmente di estremo interesse il transito dall'età romana al medioevo alto e pieno, che vede dopo l'età Giudiciale, nelle fasi Aragonese e Catalana, da un lato la sparizione di centri demici che hanno lasciato testimonianza nelle piccole chiese e tracce di aree insediative, e dall'altro il consolidamento dei centri maggiori, che restituiscono interessanti matrici di antica formazione urbana.

Questo patrimonio, che dal neolitico di *dolmen*, *menhir*, *allées couvertes* e *domus de janas* si muove, superando il Medioevo, verso la Modernità (mentre sembra relativamente stabile il cosiddetto rapporto città-campagna), si arricchisce durante quest'ultima fase di aree di carbonaia e miniera, lasciando diverse tracce di ruderi di stabilimenti, si veda in particolare l'area nei dintorni di Lula, e abitati, tra i quali si distingue il centro di Sos Onorcolos in territorio di Alà dei Sardi.

La Modernità porta anche, con l'organizzazione 'extra-maniero' della pena, la nascita delle carceri ottocentesche, della cui trama resta segno nell'aggregato di Mamone.

5 MAPPATURA DI AREA V ASTA DELLE EMERGENZE CULTURALI SIGNIFICATIVE DEL TERRITORIO ⁸

5.1 Comune di Alà dei Sardi

| N. De | nominazione | Cronologia | Latitudine | Longitudine | Vincolo | Carta del Rischio |
|-------|---------------------------------------|--|------------|-------------|---------|-------------------|
| 1 | Altura fortificata di Nuri | Età del Rame-Età del Bronzo? | 40.628101 | 9.399207 | | |
| 2 | Chiesa di S. Giovanni Battista | Età medievale-Età moderna | 40.633814 | 9.390705 | | |
| 3 | Cuile Marras, rovine | Età moderna | 40.664644 | 9.419727 | | |
| 4 | Insegiamento megalitico di Poddi Alvu | Età del Bronzo Medio - Età del Bronzo finale | 40.649777 | 9.376769 | | |
| 5 | Nuraghe Antoniarrù | Età del Bronzo Medio - Età del Bronzo finale | 40.651639 | 9.363522 | Sì Sì | |
| 6 | Nuraghe Bardia (Nurattolu de Bardia) | Età del Bronzo Medio - Età del Bronzo finale | 40.624977 | 9.368612 | | |
| 7 | Nuraghe Boddò | Età del Bronzo Medio - Età del Bronzo finale | 40.639213 | 9.347522 | Sì Sì | |
| 8 | Nuraghe Bostianu Beccu | Età del Bronzo Medio - Età del Bronzo finale | 40.619705 | 9.359503 | | |
| 9 | Nuraghe Bucca 'e Mandra | Età del Bronzo Medio - Età del | 40.645860 | 9.352204 | | Sì |

⁸ Cfr. Allegato 2, "Carta delle evidenze archeologiche e delle emergenze culturali significative del territorio"



| | | Bronzo finale | | | | |
|----|--|--|-----------|----------|--------------|-----------|
| 10 | Nuraghe Sa Chidade | Età del Bronzo Medio - Età del Bronzo finale | 40.635090 | 9.386976 | | |
| 11 | Nuraghe Fenidde | Età del Bronzo Medio - Età del Bronzo finale | 40.629166 | 9.324437 | | |
| 12 | Nuraghe Lattari | Età del Bronzo Medio - Età del Bronzo finale | 40.629103 | 9.333647 | Sì Sì | |
| 13 | Nuraghe Malcheddine | Età del Bronzo Medio - Età del Bronzo finale | 40.632777 | 9.324402 | Sì Sì | |
| 14 | Nuraghe Mathi (Su Frassu) | Età del Bronzo Medio - Età del Bronzo finale | 40.626258 | 9.392253 | | |
| 15 | Nuraghe (Mosaico 5/3058) | Età del Bronzo Medio - Età del Bronzo finale | 40.597258 | 9.405872 | | |
| 16 | Nuraghe (Mosaico 9/3062) | Età del Bronzo Medio - Età del Bronzo finale | 40.625178 | 9.372254 | | |
| 17 | Nuraghe Oisu | Età del Bronzo Medio - Età del Bronzo finale | 40.659041 | 9.392803 | | |
| 18 | Nuraghe Trattasu | Età del Bronzo Medio - Età del Bronzo finale | 40.638192 | 9.364495 | | |
| 19 | Pozzo di Su Posidu | Età del Bronzo Medio - Età del Bronzo finale | 40.642425 | 9.319091 | | Sì |
| 20 | Sos Sonorcolos | Età moderna (XIX sec. d.C.) | 40.634186 | 9.388636 | | |
| 22 | Tomba di giganti Sas Tumbas | Età del Bronzo Medio - Età del Bronzo finale | 40.645991 | 9.372099 | Sì Sì | |
| 23 | Villaggio-Santuario di Su Pedrighinosu | Età del Bronzo Medio - Età del Bronzo finale | 40.642609 | 9.325389 | | |

Bibliografia: EEM 1922; TARAMELLI 1931; TARAMELLI 1939; BALTOLU 1973; BALTOLU 1997; LILLIU 1988; MANCINI 2015; MORAVETTI *et al.* 2014; MORAVETTI *et al.* 2017a; MORAVETTI *et al.* 2017b; MOSAICO 2016, s.v. 'Alà dei Sardi'; SGP; ViR.



5.2 Comune di Bitti

| N. De | nominazione | Cronologia | Latitudine | Longitudine | Vincolo | Carta del Rischio |
|--------------|---|--|-------------------|--------------------|----------------|--------------------------|
| 1 | BITTI, centro abitato | Età medievale - Età contemporane | 40.477683 | 9.382978 | | |
| 2 | Area fortificata di Tepilora | Età del Bronzo Medio - Età del Bronzo finale | 40.641732 | 9.499258 | | |
| 3 | Area materiali mobili Carreri-Seris | Età nuragica - Età romana | 40.521372 | 9.284829 | | |
| 4 | Area materiali mobili Dure | Età nuragica - Età romana | 40.478981 | 9.403962 | | |
| 5 | Area materiali mobili Juanne Pala-Orghè | Età romana | 40.483772 | 9.372146 | | |
| 6 | Area materiali mobili Muru 'e Colovras | Età nuragica - Età romana | 40.511358 | 9.339968 | | |
| 7 | Area materiali mobili Pranu 'e Cheddai/Sos Conzinos | Età romana con possibili antecedenti punici | 40.597792 | 9.467954 | | |
| 8 | Area materiali mobili Sa Ichedda-Mariane Udda | Età nuragica - Età romana | 40.490323 | 9.327130 | | |
| 9 | Area materiali mobili Sa Icu Ruia | Età romana imperiale | 40.527926 | 9.300760 | | |
| 10 | Area materiali mobili Sa Pathata | Età romana | 40.513295 | 9.327383 | | |
| 11 | Area materiali mobili S. Gorme-S. Cosimo | Età nuragica - Età romana | 40.489316 | 9.392968 | | |
| 12 | Area materiali mobili S'Adde | Età romana | 40.51454 | 9.368551 | | |
| 13 | Area materiali mobili S. Pietro | Età romana | 40.478146 | 9.379123 | | |
| 14 | Area materiali mobili Siddi | Età nuragica - Età romana | 40.496103 | 9.405056 | | |
| 15 | Area materiali mobili Luvonneri-Ispatula | Età nuragica - Età romana | 40.506582 | 9.318239 | | |
| 16 | Area di materiali mobili Nodu Carreris | Età nuragica - Età romana | 40.521893 | 9.285657 | | |
| 17 | Area funeraria Pranu 'e Cheddai | Età romana | 40.594502 | 9.464067 | | |
| 18 | Chiesa di S. Stefano | Età medievale | 40.478711 | 9.401235 | | Si |
| 19 | Chiesa de Santu Juanne 'e s'Ena | Età sei-settecentesca | 40.499403 | 9.346116 | | |
| 20 | Chiesa della Santissima Trinità (Babbu Mannu) | Età medievale | 40.477579 | 9.403093 | | Si |
| 21 | Chiesa N. S. di Bonaria | Età settecentesca | 40.474002 | 9.384526 | | |



| | | | | | | |
|----|---|--|-----------|----------|--|-----------|
| 22 | Chiesa di S. Maria di Dure | Età medievale | 40.477210 | 9.402701 | | Si |
| 23 | Chiesa di S. Lucia | Età medievale | 40.480271 | 9.401044 | | Si |
| 24 | Chiesa di S. Giorgio Dure (o di Suelli) | Età medievale | 40.479348 | 9.404601 | | Si |
| 25 | Chiesa di S. Anna (rudere) | Età medievale | 40.474991 | 9.377135 | | |
| 26 | Chiesa di S. Cosma e Damiano-rovine | Età medievale | 40.488808 | 9.392744 | | |
| 27 | Chiesa della Santissima Annunziata | Età secentesca | 40.594911 | 9.484917 | | Si |
| 28 | Chiesa di Bonu Caminu | Età secentesca | 40.478186 | 9.378156 | | |
| 29 | Chiesa di S. Elia | Età medievale | 40.475112 | 9.389440 | | |
| 30 | Chiesa di S. Giovanni Battista | Età secentesca | 40.472770 | 9.405175 | | |
| 31 | Cuile Delogu | Età moderna | 40.510076 | 9.295109 | | |
| 32 | Domus de janas di Eritza | Età Neo - Eneolitica | 40.605701 | 9.510846 | | |
| 33 | Domus de janas di Monte Ruiu o Serra Ruia | Età Neo - Eneolitica | 40.487921 | 9.376145 | | |
| 34 | Fonte di Orolia | Età nuragica | 40.493089 | 9.396129 | | |
| 35 | Funtana Nuche 'e Gadde | Età non precisata | 40.484348 | 9.394213 | | |
| 36 | Insediamiento di Abbas de Frau | Età romana | 40.571113 | 9.378005 | | |
| 37 | Insediamiento di Bonu Caminu | Età nuragica - Età romana | 40.478644 | 9.378536 | | |
| 38 | Insediamiento Dure-Santa Lucia | Età romana | 40.478969 | 9.404977 | | |
| 39 | Insediamiento di Siddi-Siddu | Età nuragica - Età romana | 40.498014 | 9.404879 | | |
| 40 | Insediamiento di Galili | Età nuragica | 40.542596 | 9.405726 | | |
| 41 | Insediamiento romano Gata Frantziscu | Età romana | 40.531639 | 9.360214 | | |
| 42 | Insediamiento Riu 'e S'Adde | Età Neo - Eneolitica | 40.512729 | 9.360231 | | |
| 43 | Insediamiento nuragico di Ortuidda | Età del Bronzo Medio - Età del Bronzo finale | 40.573850 | 9.386739 | | |
| 44 | Insediamiento romano Serra Sa Icu | Età romana | 40.519843 | 9.324924 | | |
| 45 | Insediamiento nuragico e romano di Tuturchi | Età nuragica - Età romana | 40.526350 | 9.366289 | | |
| 46 | Insediamiento romano di Tuturchi | Età romana | 40.527676 | 9.362885 | | |



| | | | | | | |
|----|---|--|-----------|----------|--------------|--|
| 47 | Menhir S'Ena I-II | Età Neo - Eneolitica | 40.499780 | 9.324839 | | |
| 48 | Menhir S'Isputula | Età Neo - Eneolitica | 40.508611 | 9.324444 | Si | |
| 49 | Nuraghe Siddu (Siddi) | Età del Bronzo Medio - Età del Bronzo finale | 40.496063 | 9.405042 | | |
| 50 | Nuraghe Cheddai e insediamento (o Pranu 'e Cheddai) | Età del Bronzo Medio - Età del Bronzo finale | 40.593825 | 9.461437 | Si Si | |
| 51 | Nuraghe Curtu | Età del Bronzo Medio - Età del Bronzo finale | 40.551266 | 9.358229 | | |
| 52 | Nuraghe Dure | Età del Bronzo Medio - Età del Bronzo finale | 40.479807 | 9.403781 | | |
| 53 | Nuraghe Ghellai | Età del Bronzo Medio - Età del Bronzo finale | 40.467306 | 9.398490 | | |
| 54 | Nuraghe Lanzanis | Età del Bronzo Medio - Età del Bronzo finale | 40.482656 | 9.313225 | | |
| 55 | Nuraghe Lassanis | Età del Bronzo Medio - Età del Bronzo finale | 40.484216 | 9.303821 | | |
| 56 | Nuraghe Luitze | Età del Bronzo Medio - Età del Bronzo finale | 40.459894 | 9.376272 | | |
| 57 | Nuraghe e insediamento Netossila-Funtana Etza | Età del Bronzo Medio - Età del Bronzo finale | 40.548770 | 9.349960 | | |
| 58 | Nuraghe Oloustes (Su Marchesi) | Età del Bronzo Medio - Età del Bronzo finale | 40.499820 | 9.421199 | | |
| 59 | Nuraghe Ortai | Età del Bronzo Medio - Età del Bronzo finale | 40.546527 | 9.394613 | | |
| 60 | Nuraghe Ortuidda | Età del Bronzo Medio - Età del Bronzo finale | 40.573482 | 9.386277 | | |
| 61 | Nuraghe Solle | Età del Bronzo Medio - Età del Bronzo finale | 40.558115 | 9.349052 | | |
| 62 | Nuraghe Tuturchi | Età del Bronzo Medio - Età del Bronzo finale | 40.526304 | 9.366620 | | |
| 63 | Nuraghe Murere | Età del Bronzo Medio - Età del Bronzo finale | 40.493232 | 9.429160 | | |
| 64 | Nuraghe Muru 'e Colovras | Età del Bronzo Medio - Età del Bronzo finale | 40.511042 | 9.340132 | | |
| 65 | Nuraghe e villaggio S'Ena | Età del Bronzo Medio - Età del Bronzo finale | 40.499673 | 9.324567 | | |



| | | | | | | |
|----|---|--|-----------|----------|--------------|--|
| 66 | Pinnetta Lassina | Età moderna | 40.502614 | 9.303078 | | |
| 67 | Ponte Lithos | Età medievale? | 40.658270 | 9.428050 | | |
| 68 | Pozzo in pietra | Età non precisabile | 40.488426 | 9.395028 | | |
| 69 | Recinto megalitico Sa Pathata | Età del Rame-Età del Bronzo? | 40.511121 | 9.331740 | | |
| 70 | Recinto megalitico S'Ispatula-Luvonneri | Età del Bronzo Medio - Età del Bronzo finale | 40.508934 | 9.331045 | | |
| 71 | Ruderi romani Solle | Età romana | 40.541540 | 9.340596 | | |
| 72 | Strada romana, tratto Sa Pathata | Età romana | 40.508269 | 9.317586 | | |
| 73 | Tomba di giganti di Ortai | Età del Bronzo Medio - Età del Bronzo finale | 40.545791 | 9.393770 | | |
| 74 | Tomba di giganti Ascusogliu | Età del Bronzo Medio - Età del Bronzo finale | 40.469357 | 9.399575 | | |
| 75 | Tomba di giganti Coccozoddi (Guore) | Età del Bronzo Medio - Età del Bronzo finale | 40.508690 | 9.361165 | | |
| 76 | Tomba di giganti Nettosila (Nitossila) | Età del Bronzo Medio - Età del Bronzo finale | 40.551068 | 9.358405 | | |
| 77 | Tomba di giganti Sa Pathata | Età del Bronzo Medio - Età del Bronzo finale | 40.512434 | 9.332585 | | |
| 78 | Tomba di giganti Su Pranu | Età del Bronzo Medio - Età del Bronzo finale | 40.493305 | 9.421976 | | |
| 79 | Tombe di giganti Su Pradu | Età del Bronzo Medio - Età del Bronzo finale | 40.493774 | 9.421527 | | |
| 80 | Tomba di giganti Oloustes | Età del Bronzo Medio - Età del Bronzo finale | 40.493439 | 9.422009 | | |
| 81 | Tomba di giganti Solle_Marras | Età del Bronzo Medio - Età del Bronzo finale | 40.560115 | 9.345956 | | |
| 82 | Tomba di giganti Tuturchi | Età del Bronzo Medio - Età del Bronzo finale | 40.525434 | 9.368185 | | |
| 83 | Villaggio nuragico Su Romanzesu | Età del Bronzo Medio - Età del Bronzo finale | 40.53031 | 9.325282 | Si Si | |

Bibliografia: ANGIUS 1834a; NISSARDI 1903; EEM 1922; LILLIU 1988; TARAMELLI 1919a; TARAMELLI 1931; TARAMELLI 1933; SANNA 2005; TURTAS, LUPINU 2005; MORAVETTI *et al.* 2014; MOSAICO 2016, s.v. 'Bitti'; ANGIOLILLO *et al.* 2017; MORAVETTI *et al.* 2017a; DELUSSU 2018; MARRAS 2020; ISCR; SGP; ViR; TEPILORA.



5.3 Comune di Buddusò

| N. De | nominazione | Cronologia | Latitudine | Longitudine | Vincolo | Carta del Rischio |
|--------------|---|--|-------------------|--------------------|----------------|--------------------------|
| 1 | Cuile Ololvica | Età moderna | 40.578837 | 9.332218 | | |
| 2 | Domus de janas di Pischina Mulino | Età Neo - Eneolitica | 40.552295 | 9.306329 | | |
| 3 | Domus de janas Monte Colvos (Sa Conchedda de Sa Femina) | Età Neo - Eneolitica | 40.589317 | 9.343330 | | |
| 4 | Domus de janas Su Puzzone I-II | Età Neo - Eneolitica | 40.590888 | 9.335548 | | |
| 5 | Dolmen Sa Codina 'e Sa Matta Oe | Età Neo - Eneolitica | 40.575223 | 9.304138 | | |
| 6 | Dolmen Istiddi | Età Neo - Eneolitica | 40.567823 | 9.326851 | Sì | |
| 7 | Dolmen Su Laccu | Età Neo - Eneolitica | 40.582495 | 9.292630 | | |
| 8 | Dolmen o Allée couverte Loelle | Età Neo - Eneolitica | 40.568656 | 9.314174 | | |
| 9 | Domus de janas Tazone | Età Neo - Eneolitica | 40.587482 | 9.326740 | | Sì |
| 10 | Dolmen Molimentos I | Età Neo - Eneolitica | 40.544802 | 9.289993 | Sì | |
| 11 | Dolmen Molimentos II | Età Neo - Eneolitica | 40.544786 | 9.289167 | | |
| 12 | Dolmen Orunitta | Età Neo - Eneolitica | 40.553300 | 9.362799 | | |
| 13 | Dolmen Sa Tumba 'e Sa Piga | Età Neo - Eneolitica | 40.565894 | 9.318887 | | Sì |
| 14 | Fonte e villaggio di Sos Muros | Età del Bronzo Medio - Età del Bronzo finale | 40.556771 | 9.296823 | Sì Sì | |
| 15 | Menhir Molimentos | Età Neo - Eneolitica | 40.545880 | 9.289782 | | |
| 16 | Nuraghe Eligannele | Età del Bronzo Medio - Età del Bronzo finale | 40.570024 | 9.276404 | | |
| 17 | Nuraghe Locorona | Età del Bronzo Medio - Età del Bronzo finale | 40.565655 | 9.291929 | | |
| 18 | Nuraghe Loelle | Età del Bronzo Medio - Età del Bronzo finale | 40.568547 | 9.315968 | Sì Sì | |
| 19 | Nuraghe Teltoro, Insedimento | Età del Bronzo Medio - Età del Bronzo finale | 40.578267 | 9.273857 | | |
| 20 | Nuraghe-Pinnetta Colonna (Nuraghe Lorisca?) | Età del Bronzo Medio - Età del Bronzo finale | 40.561615 | 9.269225 | | |



| | | | | | | |
|----|------------------------------------|--|-----------|----------|--------------|-----------|
| 21 | Nuraghe Pradinu | Età del Bronzo Medio - Età del Bronzo finale | 40.578037 | 9.276724 | | |
| 22 | Nuraghe Torroilè | Età del Bronzo Medio - Età del Bronzo finale | 40.565845 | 9.326048 | Sì Sì | |
| 23 | Pinnetta Cocco | Età moderna | 40.561885 | 9.274251 | | |
| 24 | Pinnetta Satta | Età moderna | 40.555341 | 9.283661 | | |
| 25 | Pinnetta Puliga | Età moderna | 40.553000 | 9.280250 | | |
| 26 | Pozzo su Utiu de Oloviga | Età del Bronzo Medio - Età del Bronzo finale | 40.575379 | 9.331722 | | |
| 27 | Punta Olovica, strutture nuragiche | Età del Bronzo Medio - Età del Bronzo finale | 40.580852 | 9.331680 | | |
| 28 | Struttura muraria | Età non precisabile | 40.580425 | 9.334118 | | Sì |
| 29 | Strutture romane (resti) | Età romana | 40.569302 | 9.331715 | | Sì |
| 30 | Tomba di giganti Corrinca | Età del Bronzo Medio - Età del Bronzo finale | 40.542880 | 9.277846 | | |
| 31 | Tomba di giganti Loelle I | Età del Bronzo Medio - Età del Bronzo finale | 40.562492 | 9.316233 | | Sì |
| 32 | Tomba di giganti Loelle II | Età del Bronzo Medio - Età del Bronzo finale | 40.566773 | 9.317940 | | Sì |

Bibliografia: ANGIUS 1834b; EEM 1922; TARAMELLI 1919b; TARAMELLI 1931; LILLIU 1962; LILLIU 1988; BASOLI 1991; BASOLI 1993; TUCCONE 2009; MORAVETTI *et al.* 2014; MOSAICO 2016, s.v. 'Buddusò'; ANGIOLILLO *et al.* 2017; GUIRGUIS 2017; MORAVETTI *et al.* 2017a; MORAVETTI *et al.* 2017b; COOP ARCHEO 2018; DELUSSU 2018; MARRAS 2020; ISCR; SGP; ViR.

5.4 Comune di Lodè

| N. De | nominazione | Cronologia | Latitudine | Longitudine | Vincolo | Carta del Rischio |
|--------------|-------------------------------------|-----------------------------------|-------------------|--------------------|----------------|--------------------------|
| 1 | LODE', centro abitato | Età medievale - Età contemporanea | 40.591392 | 9.539111 | | |
| 2 | Allée couverte Monti Prana | Età Neo - Eneolitica | 40.583535 | 9.509814 | | |
| 3 | Area materiali mobili di Thilameddu | Età preistorica - Età medievale | 40.556531 | 9.522708 | | |



| | | | | | | |
|----|--|--|-----------|----------|--|--|
| 4 | Dispensa Guletti (rudere) | Età moderna | 40.619684 | 9.524607 | | |
| 5 | Domus de janas Costimili | Età Neo - Eneolitica | 40.591288 | 9.502298 | | |
| 6 | Domus de janas Gianna Oriavula | Età Neo - Eneolitica | 40.597188 | 9.510615 | | |
| 7 | Domus de janas Ispichines | Età Neo - Eneolitica | 40.587613 | 9.480847 | | |
| 8 | Domus de janas Orrili | Età Neo - Eneolitica | 40.556528 | 9.533303 | | |
| 9 | Domus de janas Sas Ruchittas | Età Neo - Eneolitica | 40.541374 | 9.543126 | | |
| 10 | Fonte Banzos | Età non precisabile | 40.558274 | 9.513910 | | |
| 11 | Insedimento preistorico e romano di Sos Lottos | Età del Rame-Età nuragica | 40.591934 | 9.507042 | | |
| 12 | Insedimento nuragico Su Casteddu | Età del Bronzo Medio - Età del Bronzo finale | 40.590694 | 9.536245 | | |
| 13 | Insedimento nuragico Su Mattone | Età del Bronzo Medio - Età del Bronzo finale | 40.595326 | 9.526154 | | |
| 14 | Insedimento nuragico Sa Ichedda | Età del Bronzo Medio - Età del Bronzo finale | 40.542861 | 9.539324 | | |
| 15 | Insedimento nuragico Sas Seddas | Età del Bronzo Medio - Età del Bronzo finale | 40.549390 | 9.558615 | | |
| 16 | Muraglia preistorica Monte Prana | Età del Rame | 40.583633 | 9.509886 | | |
| 17 | Nuraghe Melas (Norchiri) | Età del Bronzo Medio - Età del Bronzo finale | 40.582396 | 9.520688 | | |
| 18 | Nuraghe Su Nuragheddu | Età del Bronzo Medio - Età del Bronzo finale | 40.623209 | 9.560436 | | |
| 19 | Nuraghe Thorra | Età del Bronzo Medio - Età del Bronzo finale | 40.564725 | 9.507663 | | |
| 20 | Protonuraghe Janna Bassa | Età del Bronzo Medio - Età del Bronzo finale | 40.566916 | 9.533209 | | |
| 21 | Struttura di Sas Seddas 4 | Età nuragica, identificazione dubbia | 40.541700 | 9.554324 | | |
| 22 | Tomba di giganti Araene | Età del Bronzo Medio - Età del Bronzo finale | 40.578814 | 9.564141 | | |
| 23 | Tomba di giganti Melas (Norchiri) | Età del Bronzo Medio - Età del Bronzo finale | 40.583535 | 9.523840 | | |
| 24 | Tomba di giganti Pirelca | Età del Bronzo Medio - Età del | 40.634199 | 9.556885 | | |



| | | | | | | |
|----|-------------------------------|--|-----------|----------|--|--|
| | | Bronzo finale | | | | |
| 25 | Tomba megalitica Sas Seddas 1 | Età del Bronzo Medio - Età del Bronzo finale | 40.543167 | 9.552742 | | |
| 26 | Tomba di giganti Sas Seddas 2 | Età del Bronzo Medio - Età del Bronzo finale | 40.544035 | 9.555736 | | |
| 27 | Tomba di giganti Sas Seddas 3 | Età del Bronzo Medio - Età del Bronzo finale | 40.544170 | 9.555797 | | |
| 28 | Tomba di giganti Thorra | Età del Bronzo Medio - Età del Bronzo finale | 40.565771 | 9.505202 | | |

Bibliografia: ANGIUS 1841a; EEM 1922; TARAMELLI 1933; LILLIU 1988; MELIS 2009; MOSAICO 2016, s.v. 'Lodè'; GUIRGUIS 2017; ISCR; SGP; ViR; TEPI LORA.

5.5 Comune di Lula

| N. De | nominazione | Cronologia | Latitudine | Longitudine | Vincolo | Carta del Rischio |
|-------|--|--|------------|-------------|---------|-------------------|
| 1 | LULA, centro abitato | Età medievale - Età contemporane | 40.469562 | 9.486916 | | si |
| 2 | Area materiali mobili Molimentos | Età romana | 40.476161 | 9.492284 | | |
| 3 | Area materiali mobili S'Ena | Età romana | 40.476576 | 9.470663 | | |
| 4 | Miniera Argentaria (ruderi) | Età moderna | 40.509417 | 9.516228 | | si |
| 5 | Nuraghe de S'Ena (Cuccuru de S'Urvare) | Età del Bronzo Medio - Età del Bronzo finale | 40.476748 | 9.468139 | | |
| 6 | Miniera Guzzura (ruderi) | Età moderna | 40.505280 | 9.506566 | | si |

Bibliografia: ANGIUS 1841b; NISSARDI 1903; EEM 1922; TARAMELLI 1933; LILLIU 1988; MORAVETTI *et al.* 2014; MOSAICO 2016, s.v. 'Lula'; MORAVETTI *et al.* 2017a; DELUSSU 2018; ISCR; SGP; ViR.

5.6 Comune di Onani

| N. De | nominazione | Cronologia | Latitudine | Longitudine | Vincolo | Carta del Rischio |
|-------|-------------|------------|------------|-------------|---------|-------------------|
|-------|-------------|------------|------------|-------------|---------|-------------------|



| | | | | | | |
|----|--|--|-----------|----------|--------------|-----------|
| 1 | ONANI', centro abitato | Età medievale - Età contemporanea | 40.484125 | 9.441006 | | |
| 2 | Area materiali mobili Masicare | Età romana | 40.475047 | 9.458796 | | |
| 3 | Chiesa di S. Bachisio | Età medievale | 40.513417 | 9.471912 | | |
| 4 | Chiesa di S. Francesco | Età secentesca | 40.482078 | 9.442298 | | |
| 5 | Chiesa di Santu Gainzu-rovine | Età medievale | 40.482381 | 9.435178 | | |
| 6 | Chiesa dei SS. Cosma e Damiano | Età moderna | 40.482443 | 9.445542 | | |
| 7 | Chiesa di S. Elena | Età medievale | 40.476107 | 9.447914 | | |
| 8 | Chiesa di S. Maria | Età secentesca | 40.482411 | 9.441596 | | |
| 9 | Chiesa di S. Pietro | Età medievale | 40.483973 | 9.438197 | Si Si | |
| 10 | Domus de janas Masicare | Età Neo - Eneolitica | 40.475785 | 9.461278 | | |
| 11 | Nuraghe Crastuiacone | Età del Bronzo Medio - Età del Bronzo finale | 40.472007 | 9.434132 | | |
| 12 | Nuraghe Liri | Età del Bronzo Medio - Età del Bronzo finale | 40.587257 | 9.494965 | | |
| 13 | Nuraghe Lapasiu | Età del Bronzo Medio - Età del Bronzo finale | 40.505881 | 9.466418 | | |
| 14 | Nuraghe Nuragheddu I (Nuragheddu di Bioltai) | Età del Bronzo Medio - Età del Bronzo finale | 40.569997 | 9.475310 | | |
| 15 | Nuraghe Nuragheddu II (Nuraghe Fruncu de Avria (Iaccu Ena) | Età del Bronzo Medio - Età del Bronzo finale | 40.517485 | 9.461835 | | |
| 16 | Nuraghe S'Ae Pinta (Maindreu) | Età del Bronzo Medio - Età del Bronzo finale | 40.483213 | 9.455406 | | |
| 17 | Nuraghe Salamitti | Età del Bronzo Medio - Età del Bronzo finale | 40.502865 | 9.445342 | | |
| 18 | Nuraghe S. Pietro | Età del Bronzo Medio - Età del Bronzo finale | 40.483886 | 9.437370 | | Si |
| 19 | Pozzo sacro Muros d'Avria | Età del Bronzo Medio - Età del Bronzo finale | 40.517097 | 9.461880 | | |
| 20 | Ruderi Sa Chidade | Età del Bronzo Medio - Età del Bronzo finale | 40.545560 | 9.435575 | | |
| 21 | Tomba di giganti Maindreu (Tanca Rettorale) | Età del Bronzo Medio - Età del Bronzo finale | 40.483222 | 9.455406 | | |



| | | | | | | |
|----|--|--|-----------|----------|--|--|
| 22 | Tomba di giganti Orthiddai | Età del Bronzo Medio - Età del Bronzo finale | 40.546259 | 9.486007 | | |
| 23 | Tomba di giganti S. Bachisio | Età del Bronzo Medio - Età del Bronzo finale | 40.515183 | 9.474072 | | |
| 24 | Tomba di giganti S'Iskra de Su Calzone | Età del Bronzo Medio - Età del Bronzo finale | 40.575640 | 9.497987 | | |

Bibliografia: ANGIUS 1845a; EEM 1922; TARAMELLI 1933; BALTOLU 1973; BALTOLU 1997; LILLIU 1988; MANCINI 2015; MOSAICO 2016, s.v. 'Onani'; DELUSSU 2018; ISCR; SGP; ViR.

5.7 Comune di Osidda

| N. De | nominazione | Cronologia | Latitudine | Longitudine | Vincolo | Carta del Rischio |
|-------|--|--|------------|-------------|---------|-------------------|
| 1 | Nuraghe Frazuighe e insediamento pluristratificato | Età del Bronzo Medio - Età del Bronzo finale | 40.524821 | 9.281597 | | |
| 2 | Nuraghe Sa Raighina | Età del Bronzo Medio - Età del Bronzo finale | 40.516409 | 9.280570 | | |
| 3 | Nuraghe Seris | Età del Bronzo Medio - Età del Bronzo finale | 40.524059 | 9.283978 | | |

Bibliografia: ANGIUS 1845b; EEM 1922; TARAMELLI 1931; LILLIU 1988; ZIROTTU 2005; MOSAICO 2016, s.v. 'Osidda'; DELUSSU 2018; MARRAS 2020; ISCR; SGP; ViR.

5.8 BENI STORICO CULTURALI NELL'AREA OGGETTO DI INTERVENTO

5.8.1 CARATTERI GENERALI DELL'OPERA

L'impianto comprende complessivamente 11 aerogeneratori ad asse orizzontale con rotore tripala e una potenza massima di 6,2 MW (limitata a 5,09 MW) le cui caratteristiche principali sono di seguito riportate:

- diametro massimo rotore tripala pari a 170 m;
- torre di sostegno tubolare troncoconica in acciaio, avente altezza fino all'asse del rotore pari a massimi 119 m;
- altezza complessiva massima fuori terra dell'aerogeneratore pari a 200,0 m;
- diametro massimo alla base del sostegno tubolare 4,7 m.

La trincea per la posa dei cavidotti prevede una profondità di circa 1,30 m e una larghezza di cm. 80 alla partenza dalle turbine sino a cm 130 in quella che arriva in centrale. Nelle aree degli aerogeneratori la profondità di scavo per la posa della platea del plinto scavo è di circa m 2.



5.8.2 I DATI D'ARCHIVIO

La ricognizione della documentazione disponibile presso l'archivio della Soprintendenza Archeologia, belle arti e paesaggio per le province di Sassari e Nuoro è stata effettuata in data 26/06/2020.

I materiali consultabili erano contenuti all'interno di diversi faldoni: di questi, due erano riferibili al Comune di Bitti, con informazioni fra gli anni '60 del Novecento e i primi anni del secolo corrente, aperte da un'edizione dell'EEM di Bitti (Elenco degli Edifici Monumentali) del 7 giugno 1902, dono Forteleoni, con elenco comprendente i nuraghi Istelai, Siddu, Ortai e Ortuidda, oltre a due monumenti in territorio del comune di Lodè. Per quanto riguarda il comune di Buddusò, si sono potuti esaminare quattro faldoni, anch'essi con informazioni fra gli anni '60 del Novecento e i primi anni del secolo corrente.

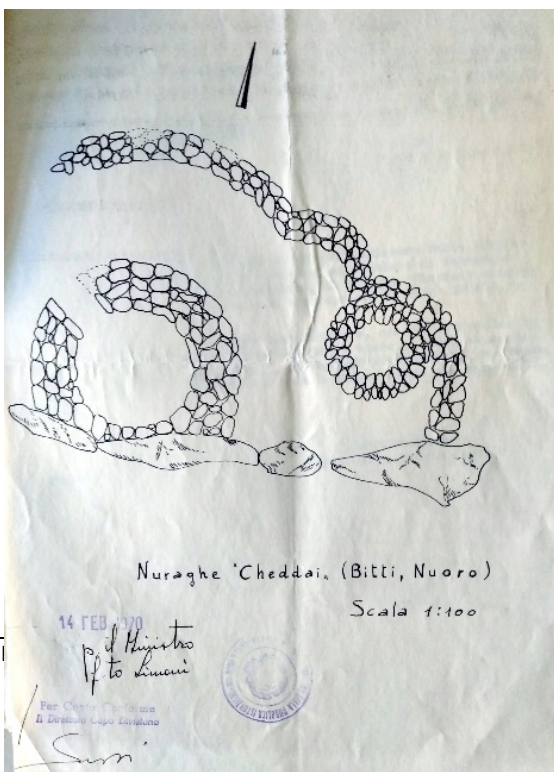
In linea generale, accanto alle notizie strettamente archeologiche, sono presenti informazioni relative alle pratiche autorizzative espresse dagli Uffici di tutela sui diversi interventi di reti infrastrutturali (energia elettrica, acqua, rete stradale e ferroviaria, interventi urbanistici) e degli assetti produttivi del territorio, in particolare fondi agricoli, di allevamento e pastorale a Bitti e Buddusò e le cave di granito nel territorio di sempre di Buddusò, le proposte e i provvedimenti di vincolo. Queste autorizzazioni rivelano in particolare la loro utilità nel dichiarare di fatto la non sussistenza di emergenze archeologiche nelle aree specifiche oppure il grado di possibile compatibilità fra emergenze ed interventi richiesti.

5.8.3 Comune di Bitti

Le notizie archeologiche sono numerose e riferiscono di un'ampia rete monumentale, con prevalente presenza nuragica, ma anche di età romana, e diffuse attestazioni di insediamenti scomparsi fra preistoria e Medioevo. Sono riportate informazioni di una forte opera di danneggiamento ad opera dei cosiddetti 'tombaroli', contro la quale, oltre alla Soprintendenza, agiscono il Corpo Forestale e giovani specialisti coinvolti in attività di censimento. Non mancano le segnalazioni di privati cittadini.

Per i monumenti che riguardano più direttamente il presente progetto, nell'EEM del 1902 sono citati:

- il nuraghe Ortai (a nord dell'aerogeneratore n. 8, coordinate 40.546527°, 9.394613°), con stato di conservazione 'mediocre';
- il nuraghe Ortuidda (a nord tracciato cavidotto dorsale, coordinate 40.573482°, 9.386277°), definito come 'mal conservato'.



Nuraghe 'Cheddai'. (Bitti, Nuoro)

Scala 1:100

Sempre per i monumenti riguardanti le installazioni di Bitti-Terenass, sono indicate azioni di danneggiamento nei seguenti monumenti:

- nuraghe Cheddai (da identificare con il monumento vincolato dal D.M. 14.02.1970, L. 01.06.1939. n. 1089.artt. 2-3, nei nostri elenchi indicato come 'Nuraghe Cheddai e insediamento (o Pranu 'e Cheddai)'; segnalazione danneggiamento del Corpo Forestale di Bitti, Prot. N. 10166 del 23.11.1993.
- nuraghe Ortuidda (nella stessa precedente segnalazione, con uguale numero di protocollo e data).

Del citato nuraghe Cheddai, il provvedimento di vincolo archeologico del 14.02.1970 (fascicolo Bitti,



S.F.4, registrato in Conservatoria il 31 marzo successivo) viene accompagnato da una sintetica planimetria. Il vincolo era stato sollecitato dal 1969 con apposita richiesta del Soprintendente Archeologo Ercole Contu (24.11.1969. fascicolo Bitti, S.F.4).

5.8.4 Comune di Buddusò

I dati archeologici, assai numerosi, mostrano un territorio attraversato da episodi neolitici, nuragici, fenicio-punici, romani e medievali.

Di particolare rilievo – come indicano diversi interventi e una lettera del Soprintendente Fulvia Lo Schiavo (13.3.1985) - la presenza preistorica di *dolmen*, *menhir* e *allèes couvertes* e il problema dell'identificazione del sito di Sos Muros con la *statio* romana Caput Thyrsi.

Anche nel territorio buddusoino è segnalata ripetutamente la forte opera di danneggiamento clandestino, contro la quale, oltre alla Soprintendenza, agiscono il Corpo Forestale, sacerdoti attivi in archeologia come G. B. Demelas e attivisti coinvolti in numerose segnalazioni e nell'organizzazione in attività di censimento (prot. 1737, 13.03.1985). Non mancano anche in questo caso le segnalazioni di privati cittadini.

Per quanto concerne i monumenti che riguardano le aree più prossime e relative agli impianti e alle infrastrutture del presente progetto, numerosi gli interventi al nuraghe Loelle, lungo la parte finale del cavidotto dorsale. Oltre al vincolo sul monumento (D.M. 02.02.1962, L. 01.06.1939. n. 1089. artt. 1, 4.), si segnalano interventi di risistemazione del rilevante complesso monumentale (cartella 1 fasc. 4, prot. 8263 del 24.06.2004).

5.9 LA CARTA DEL RISCHIO

La Carta del Rischio, messa a punto dall'ISCR (ex ICR, Istituto Centrale del Restauro), del MiBACT, è un importante sistema costruito per conoscere e registrare il rischio di danno dei beni immobili facenti parte del patrimonio culturale consistente in un sistema di banche dati in grado di strutturare informazioni sui potenziali fattori di rischio dei vari beni.

La strutturazione della banca dati è stata operata in particolare acquisendo dalla Soprintendenze territoriali elenchi di beni monumentali vincolati fino al 2004, oppure con la collaborazione di Università italiane ed enti culturali. È presente un rilevante numero di monumenti di diverso comuni della Sardegna, tra cui anche quelli dell'area vasta e specifica interessati dall'opera in oggetto. Nel sito web relativo è presente il collegamento con il sito "Vincoli in Rete".

Si dà qui di seguito l'elenco dei monumenti di area vasta presenti nella 'Carta del Rischio'.

| COMUNE | NOME MONUMENTO | CODICE CDR |
|----------------|---|------------------------|
| ALA' DEI SARDI | Nuraghe Antoniarrù | <u>1RTI0900005AAAA</u> |
| ALA' DEI SARDI | Nuraghe Boddò | <u>1RTI0900007AAAA</u> |
| ALA' DEI SARDI | Nuraghe Bucca 'e Mandra | <u>1RTI0900008AAAA</u> |
| ALA' DEI SARDI | Nuraghe Lattari | <u>1RTI0900011AAAA</u> |
| ALA' DEI SARDI | Nuraghe Malcheddine | <u>1RTI0900010AAAA</u> |
| ALA' DEI SARDI | Tomba di giganti Sas Tumbas | <u>1RTI0900015AAAA</u> |
| BITTI | Chiesa di S. Lucia | <u>2ICR0019375AAAA</u> |
| BITTI | Chiesa di S. Stefano | <u>2ICR00193720000</u> |
| BITTI | Chiesa della Santissima Trinità (Babbu Mannu) | <u>2ICR0019374AAAA</u> |
| BITTI | Chiesa di S. Maria di Dure | <u>2ICR0019373AAAA</u> |
| BITTI | Chiesa di S. Giorgio Dure (o di Suelli) | <u>2ICR0019376AAAA</u> |
| BITTI | Chiesa della Santissima Annunziata | <u>2ICR00195100000</u> |



| | | |
|----------|---|-----------------|
| BITTI | Nuraghe Cheddai e insediamento (o Pranu 'e Cheddai) | 1RTI0910018AAAA |
| BITTI | Villaggio nuragico Su Romanzesu | 1RTI0910019AAAA |
| BUDDUSO' | Dolmen o Allée couverte Loelle | 1ICR00273590002 |
| BUDDUSO' | Dolmen Sa Tumba 'e Sa Piga | 1RTI0900146AAAA |
| BUDDUSO' | Fonte e villaggio di Sos Muros | 1RTI0900145AAAA |
| BUDDUSO' | Nuraghe Loelle | 1ICR00273590000 |
| BUDDUSO' | Nuraghe Torroilè | 1ICR00273610000 |
| BUDDUSO' | Struttura muraria | 1ICR00273610001 |
| BUDDUSO' | Strutture romane (resti) | 1ICR0027360AAAA |
| BUDDUSO' | Tomba di giganti Loelle I | 1ICR00273590001 |
| BUDDUSO' | Tomba di giganti Loelle II | 1ICR00273590001 |
| LULA | LULA, centro abitato | 2ICR0019515AAAA |
| LULA | Miniera Argentaria (ruderi) | 2ICR0019522AAAA |
| LULA | Miniera Guzzura (ruderi) | 2ICR0019520AAAA |
| ONANI' | Chiesa di S. Pietro | 2ICR00196010000 |
| ONANI' | Nuraghe S. Pietro | 1ICR0019602AAAA |

5.10 I VINCOLI

“Vincoli in Rete” è un sistema realizzato anch’esso dall’ISCR del MiBACT che si rivolge sia agli specialisti che all’utenza pubblica. Il progetto consente di accedere alla consultazione delle informazioni sui beni architettonici e archeologici attraverso diverse chiavi di ricerca semplice e avanzata. I dati, di tipo alfanumerico e georeferenziato, hanno utilizzato i dati d’archivio della Soprintendenza Archeologica, belle arti e paesaggio di Sassari e Nuoro.

Nella presente relazione sia “Vincoli in Rete” che la “Carta del Rischio” sono stati ampiamente utilizzati per incrociare, confermare e integrare una serie di dati già noti. Si dà qui di seguito l’elenco dei vincoli esistenti nei monumenti di area vasta qua mappati.

| COMUNE | NOME MONUMENTO | DATA PROVVEDIMENTO |
|----------------|---|--|
| ALA' DEI SARDI | Nuraghe Antoniarrù | D.M. 24.11.1969. L. 01.06.1939. n. 1089. artt. 1-2. |
| ALA' DEI SARDI | Nuraghe Boddò | D.M. 02.02.1970, L. 01.06.1939. n. 1089. artt.2-3 |
| ALA' DEI SARDI | Nuraghe Lattari | D.M. 15.04.1992 (ampliamento vincolo diretto ex D.M. 24.11.1969), L. 01.06.1939. n. 1089. artt.1-3 |
| ALA' DEI SARDI | Nuraghe Malcheddine | D.M. 01.05.1969. L. L. 01.06.1939. n. 1089. artt.2-3 |
| ALA' DEI SARDI | Pozzo di Su Posidu | D.M. 09.09.1969. L. 01.06.1939. n. 1089. artt.2-3 |
| ALA' DEI SARDI | Tomba di giganti Sas Tumbas | D.M. 09.09.1969. L. 01.06.1939. n. 1089. artt.2-3 |
| BITTI | Menhir S'Ispatula | D.M. 26.03.2010, D. Lgs. 22.01.2004, art. 16 D. |
| BITTI | Nuraghe Cheddai e insediamento (o Pranu 'e Cheddai) | D.M. 14.02.1970, L. 01.06.1939. n. 1089.artt. 2-3. |



| | | |
|----------|---------------------------------|---|
| BITTI | Villaggio nuragico Su Romanzesu | D.M. 25.02.1964, L. 01.06.1939. n. 1089. artt. 2-3 (Fonte nuragica di Poddi Arvu). |
| BUDDUSO' | Dolmen Sa Codina 'e Sa Matta Oe | D.M. 27.10.1964, L. 01.06.1939. n. 1089 (declaratoria) |
| BUDDUSO' | Dolmen Istiddi | D.M. 27.10.1964; D.M. 16.03.1966, L. 01.06.1939. n. 1089. artt. 1, 2, 11. |
| BUDDUSO' | Dolmen Molimentos I | D.M. 13.05.1964, L. 01.06.1939. n. 1089. artt. 1, 2, 11 (declaratoria) |
| BUDDUSO' | Fonte e villaggio di Sos Muros | D.M. 16.01.1964, L. 01.06.1939. n. 1089. artt. 4, 11 (declaratoria). |
| BUDDUSO' | Nuraghe Loelle | D.M. 02.02.1962, L. 01.06.1939. n. 1089. artt. 1, 4. |
| BUDDUSO' | Nuraghe Torroilè | D.M. 03.02.1986; D.M. 29.02.1988, L. 01.06.1939. n. 1089. artt. 1-2, 11, 21 (declaratoria; v. diretto). |
| ONANI' | Chiesa di S. Pietro | D.M. 30.11.1966, L. 01.06.1939. n. 1089. artt. 1, 4, 21. |

5.11 LA CARTOGRAFIA STORICA (TAVV. II-IV)

La cartografia consultata conferma l'importanza e le localizzazioni di alcuni dei luoghi più significativi incontrati nell'analisi della documentazione.

I documenti qua proposti vanno dall'Ottocento alla metà del Novecento. Il primo è una carta ottocentesca pubblicata nell' "Atlas" di Alberto Della Marmora: si tratta di Sezioni del La Marmora/De Candia per la Carta della Sardegna, 1:50.000 realizzate tra il 1835-1838 (rilievo), stampate nel marzo 1840 da Desbuisson a Parigi ed edite nel come Atlante della Sardegna nel luglio 1884. In esse viene data particolare evidenza alle chiese collegate ai villaggi scomparsi, nei pressi dei centri abitati maggiori.

Il secondo documento è una carta IGM 1:25000, realizzata tra il 1884-1919 in prima stesura, della quale si propone uno stralcio relativo all'area affrontata progettualmente più da vicino.

Sono indicati alcuni punti rilevanti come Pranu Cheddai, i nuraghi Ortuidda e Ortai e le sorgenti del Tirso con la relativa fonte di Abbas de Frau. Appare definito storicamente lo snodo, con relativa stradaria di collegamento a Bitti, della colonia penale ottocentesca di Mamone, non presente ovviamente nella carta precedente essendo stati consegnati i lavori definitivi della sua costruzione nel 1890.

Ancora all'Ottocento sono attribuibili due carte del 'cessato catasto'⁹ (*Buddusò tavoletta FU* e *Buddusò tavoletta 13*), databili al 31 dicembre del 1848 e riguardanti l'area orientale di Buddusò, ancora con la notazione della fonte di Abbas de Frau. Si tratta, come recitano le descrizioni, di una tavola della "Giurisdizione territoriale del comune di Buddusò" (tavoletta FU) e di una "porzione di territorio attraversata dal fiume Tirso e dalla strada che va da Buddusò a Lodè. La regione comprende un'area comunale detta Sa Matta." (tavoletta 18).

⁹ Archivio di Stato di Cagliari.



Si allega infine l'unione di due stralci delle carte archeologiche su base IGM 1:100.000 pubblicate fra il 1931 ed il 1933 da Antonio Taramelli e riguardanti il territorio qua esaminato, con efficace resa documentale e cartografica.

5.12 LA FOTOINTERPRETAZIONE (TAV. V)

I dati desumibili dalla fotointerpretazione eseguita su immagini zenitali non sono facilmente formalizzabili per via della tessitura territoriale e del manto boschivo e roccioso.

FIPZ 01, Lat. 40.582923 Long. 9.459023

L'immagine è pertinente a un'anomalia ad andamento circolare individuabile fra i primi due aerogeneratori.

FIPZ 02, Lat. 40.582673 Long. 9.447471

L'immagine mostra due anomalie nell'area del terzo aerogeneratore: si tratta, probabilmente, di accumuli artificiali di pietre raccolte in attività di spietramento, come raccontano anche fonti locali, pur se alcuni elementi litici sembrano suggerire una giacitura, se non primaria, di possibile pertinenza archeologica. La bassa visibilità, per quanto temporanea, non ha reso possibile un'analisi autoptica affidabile.

FIPZ 03, Lat. 40.57095 Long. 9.377569

L'immagine è collegata al sito toponomasticamente definito dalla fonte di Frau, relativa ad una delle sorgenti del fiume Tirso, indicato dal Parco di Tepilora come 'Abbas de Frau', inedito insediamento romano: alcune anomalie indicate nella foto suggeriscono la possibile presenza di strutture murarie ad esso pertinenti. La bassa visibilità permanente impedisce al momento una lettura approfondita dell'area.

FIPZ 04, Lat. 40.544466 Long. 9.393673

Nei pressi dell'areale dell'aerogeneratore n. 8 sono ubicati il nuraghe e la tomba di Ortai. Le letture dei siti rendono possibile ipotizzare una potenziale estensione del villaggio. Nella foto alcune anomalie, che non possiamo escludere di riferire a tratti murari, sono leggibili ai margini e nei dintorni dell'area interessata dalla proposta progettuale, anche se l'ipotesi di partizioni moderne a secco è ovviamente da tenere in considerazione. Il denso manto vegetale rende problematica una individuazione più stringente.

5.13 IL SURVEY

I dati del *survey* sono raccolti tramite il MODI – Modulo informativo ICCD¹⁰ per tutta la parte di indagine sul campo e per la sintesi interpretativa data dall'analisi e combinazione delle differenti fonti informative e documentarie. Per ogni Unità di Ricognizione (UR) in cui è stata suddivisa l'area di intervento durante il *survey* in base alla visibilità dei suoli, è stato organizzato un set di informazioni selezionando dal paragrafo RE (Indagini) l'intero campo strutturato RCG e relativi sottocampi, l'intero paragrafo GE (Georeferenziazione) per la determinazione delle coordinate delle UR, mentre dal paragrafo AP (Area di potenziale archeologico) e dal campo strutturato VRP (Valutazione del potenziale archeologico) è stato selezionato il sottocampo VRSP (Valutazione di sintesi) per la registrazione del potenziale archeologico complessivo dell'UR.

Per esigenze di progetto, il *survey* è stato condotto in un arco di tempo compreso fra il 19/06 e il 05/07/2020, da una squadra composta da due archeologi di I fascia e da uno a due operatori di supporto, in un periodo in cui la visibilità dei suoli risente di una serie di fattori legati allo stato vegetativo e ai lavori agricoli, con particolare riferimento alla raccolta delle foraggere, in pieno svolgimento. Va peraltro sottolineato che il territorio conserva ampie estensioni di vegetazione

¹⁰ Cfr. Circolare MiBACT 01/2006, allegato 3, p. 2, nota 5.



permanente a basso e ad alto fusto per le quali il grado di visibilità risulta essere poco influenzato dalla stagionalità: per questo motivo si è ritenuto opportuno precisare per ogni UR, all'interno del grado di visibilità dei suoli al momento del *survey*, la natura temporanea o permanente della vegetazione.

In diversi casi la visibilità bassa temporanea o permanente ha riguardato i limiti delle strade asfaltate di percorrenza, dove la realizzazione della trincea per il passaggio del cavidotto interessa anche tratti già ampiamente rimaneggiati.

Una visibilità migliore, media o alta, si riscontra in alcune aree interessate dal posizionamento degli aerogeneratori e dei cavidotti ad essi collegati (UR6, UR7, UR10, UR11) o in alcuni tratti della dorsale (UR1, UR18).

Si danno di seguito le informazioni strutturate su MODI.



| | | | | |
|--------------|-----------------|------|--|---|
| UR1 T | AV. VII | | | |
| | RCG | | RICOGNIZIONE ARCHEOLOGICA | |
| | | RCGV | Denominazione ricognizione | Terenass - cavidotto dorsale - UR1 |
| | | RCGD | Riferimento cronologico | 19/06 - 5/07/2020 |
| | | RCGT | Situazione ambientale | Zona pianeggiante, ai piedi di un pendio sulla cui sommità è ubicato l'aerogeneratore BT04. Sul lato sinistro, le foraggere in parte sfalciate lasciano intravedere il terreno che non presenta anomalie significative. Sul lato destro la vegetazione è coprente, con estensione di foraggere e vegetazione erbacea falciata e a terra. Non si segnalano evidenze archeologiche. |
| | | RCGE | Motivo | verifica preventiva |
| | | RCGM | Metodo | sistematico |
| | | RCGR | Ente responsabile | SABAP SS e NU |
| | | RCGA | Responsabile scientifico | Manca di Mores, Giuseppina |
| | | RCGZ | Note | Lato sinistro: visibilità media. Lato destro: visibilità nulla temporanea |
| GE | | | GEOREFERENZIAZIONE | |
| | GEL | | Tipo di localizzazione | localizzazione fisica |
| | GET | | Tipo di georeferenziazione | georeferenziazione lineare |
| | GEP | | Sistema di riferimento | WGS84 |
| | GEC | | COORDINATE | |
| | | GECX | Coordinata x | 9.434294 |
| | | GECY | Coordinata y | 40.581824 |
| | | GECS | Note | inizio UR |
| | | GECX | Coordinata x | 9.438029 |
| | | GECY | Coordinata y | 40.579039 |
| | | GECS | Note | fine UR |
| | GPT | | Tecnica di georeferenziazione | rilievo tramite GPS |
| | GPM | | Metodo di posizionamento | posizionamento esatto |
| | VRP | | VALUTAZIONE DEL POTENZIALE ARCHEOLOGICO | |
| | | VRPS | Valutazione di sintesi | 2. potenziale molto basso |
| UR2 T | AV. VIII | | | |
| | RCG | | RICOGNIZIONE ARCHEOLOGICA | |
| | | RCGV | Denominazione ricognizione | Terenass - cavidotto dorsale - UR2 |
| | | RCGD | Riferimento cronologico | 19/06 - 5/07/2020 |
| | | RCGT | Situazione ambientale | Sulla destra e sulla sinistra della strada, vegetazione erbacea alta coprente, oltre la quale foraggere. Non si segnalano evidenze archeologiche. |



| | | | | |
|-------|--------|------|--|---|
| | | RCGE | Motivo | verifica preventiva |
| | | RCGM | Metodo | sistematico |
| | | RCGR | Ente responsabile | SABAP SS e NU |
| | | RCGA | Responsabile scientifico | Manca di Mores, Giuseppina |
| | | RCGZ | Note | Lato sinistro: visibilità nulla temporanea. Lato destro: visibilità nulla temporanea |
| GE | | | GEOREFERENZIAZIONE | |
| | GEL | | Tipo di localizzazione | localizzazione fisica |
| | GET | | Tipo di georeferenziazione | georeferenziazione lineare |
| | GEP | | Sistema di riferimento | WGS84 |
| | GEC | | COORDINATE | |
| | | GECX | Coordinata x | 9.438029 |
| | | GECY | Coordinata y | 40.579039 |
| | | GECS | Note | inizio UR |
| | | GECX | Coordinata x | 9.425150 |
| | | GECY | Coordinata y | 40.576433 |
| | | GECS | Note | fine UR |
| | GPT | | Tecnica di georeferenziazione | rilievo tramite GPS |
| | GPM | | Metodo di posizionamento | posizionamento esatto |
| | VRP | | VALUTAZIONE DEL POTENZIALE ARCHEOLOGICO | |
| | | VRPS | Valutazione di sintesi | 2. potenziale molto basso |
| UR3 T | AV. IX | | | |
| | RCG | | RICOGNIZIONE ARCHEOLOGICA | |
| | | RCGV | Denominazione ricognizione | Terenass - cavidotto dorsale - UR3 |
| | | RCGD | Riferimento cronologico | 19/06 - 5/07/2020 |
| | | RCGT | Situazione ambientale | Su entrambi i lati della strada, alta vegetazione erbacea e in parte rovi. Non si segnalano evidenze archeologiche. |
| | | RCGE | Motivo | verifica preventiva. |
| | | RCGM | Metodo | sistematico |
| | | RCGR | Ente responsabile | SABAP SS e NU |
| | | RCGA | Responsabile scientifico | Manca di Mores, Giuseppina |
| | | RCGZ | Note | Lato sinistro: visibilità nulla temporanea. Lato destro: visibilità bassa temporanea |
| GE | | | GEOREFERENZIAZIONE | |
| | GEL | | Tipo di localizzazione | localizzazione fisica |
| | GET | | Tipo di georeferenziazione | georeferenziazione lineare |
| | GEP | | Sistema di riferimento | WGS84 |
| | GEC | | COORDINATE | |
| | | GECX | Coordinata x | 9.425150 |
| | | GECY | Coordinata y | 40.576433 |
| | | GECS | Note | inizio UR |



| | | | | |
|--------------|---------------|------|--|--|
| | | GECX | Coordinata x | 9.423333 |
| | | GECY | Coordinata y | 40.575533 |
| | | GECS | Note | fine UR |
| | GPT | | Tecnica di georeferenziazione | rilievo tramite GPS |
| | GPM | | Metodo di posizionamento | posizionamento esatto |
| | VRP | | VALUTAZIONE DEL POTENZIALE ARCHEOLOGICO | |
| | | VRPS | Valutazione di sintesi | 2. potenziale molto basso |
| UR4 T | AV. X | | | |
| | | RCGV | Denominazione ricognizione | Terenass - cavidotto dorsale - UR4 |
| | | RCGD | Riferimento cronologico | 19/06 - 5/07/2020 |
| | | RCGT | Situazione ambientale | Su entrambi i lati della strada, fitta vegetazione erbacea, oltre la quale si estendono su aree pianeggianti campi di foraggiere in parte falciate. In alcuni tratti lungo strada, fitta vegetazione erbacea ai piedi di zone arborate, alternata a tratti cespugliati; più all'interno, vegetazione arbustiva e a tratti sugherete non troppo fitte. Non si segnalano evidenze archeologiche. |
| | | RCGE | Motivo | verifica preventiva |
| | | RCGM | Metodo | sistematico |
| | | RCGR | Ente responsabile | SABAP SS e NU |
| | | RCGA | Responsabile scientifico | Manca di Mores, Giuseppina |
| | | RCGZ | Note | Lato sinistro: visibilità nulla temporanea. Lato destro: visibilità nulla temporanea |
| GE | | | GEOREFERENZIAZIONE | |
| | GEL | | Tipo di localizzazione | localizzazione fisica |
| | GET | | Tipo di georeferenziazione | georeferenziazione lineare |
| | GEP | | Sistema di riferimento | WGS84 |
| | GEC | | COORDINATE | |
| | | GECX | Coordinata x | 9.423333 |
| | | GECY | Coordinata y | 40.575533 |
| | | GECS | Note | inizio UR |
| | | GECX | Coordinata x | 9.418505 |
| | | GECY | Coordinata y | 40.573428 |
| | | GECS | Note | fine UR |
| | GPT | | Tecnica di georeferenziazione | rilievo tramite GPS |
| | GPM | | Metodo di posizionamento | posizionamento esatto |
| | VRP | | VALUTAZIONE DEL POTENZIALE ARCHEOLOGICO | |
| | | VRPS | Valutazione di sintesi | 3. potenziale basso |
| UR5 T | AV. XI | | | |
| | RCG | | RICOGNIZIONE ARCHEOLOGICA | |



| | | | | |
|-------|---------|------|--|--|
| | | RCGV | Denominazione ricognizione | Terenass - cavidotto dorsale - UR5 |
| | | RCGD | Riferimento cronologico | 19/06 - 5/07/2020 |
| | | RCGT | Situazione ambientale | Su entrambi i lati, alta vegetazione erbacea ai piedi di zone di rimboschimento e rare sugherete. Vaste aree pianeggianti con vegetazione erbacea e in parte arbustiva. Non si segnalano evidenze archeologiche. |
| | | RCGE | Motivo | verifica preventiva |
| | | RCGM | Metodo | sistematico |
| | | RCGR | Ente responsabile | SABAP SS e NU |
| | | RCGA | Responsabile scientifico | Manca di Mores, Giuseppina |
| | | RCGZ | Note | Lato sinistro: visibilità nulla temporanea. Lato destro: visibilità nulla temporanea. |
| GE | | | GEOREFERENZIAZIONE | |
| | GEL | | Tipo di localizzazione | localizzazione fisica |
| | GET | | Tipo di georeferenziazione | georeferenziazione lineare |
| | GEP | | Sistema di riferimento | WGS84 |
| | GEC | | COORDINATE | |
| | | GECX | Coordinata x | 9.418505 |
| | | GECY | Coordinata y | 40.573428 |
| | | GECS | Note | inizio UR |
| | | GECX | Coordinata x | 9.413234 |
| | | GECY | Coordinata y | 40.572017 |
| | | GECS | Note | fine UR |
| | GPT | | Tecnica di georeferenziazione | rilievo tramite GPS |
| | GPM | | Metodo di posizionamento | posizionamento esatto |
| | VRP | | VALUTAZIONE DEL POTENZIALE ARCHEOLOGICO | |
| | | VRPS | Valutazione di sintesi | 2. potenziale molto basso |
| UR6 T | AV. XII | | | |
| | RCG | | RICOGNIZIONE ARCHEOLOGICA | |
| | | RCGV | Denominazione ricognizione | Terenass - cavidotto dorsale - UR6 |
| | | RCGD | Riferimento cronologico | 19/06 - 5/07/2020 |
| | | RCGT | Situazione ambientale | Su entrambi i lati zone pianeggianti, a dx ai piedi di un lieve pendio, completamente coperte da vegetazione erbacea secca non falciata. Non si segnalano evidenze archeologiche. |
| | | RCGE | Motivo | verifica preventiva |
| | | RCGM | Metodo | sistematico |
| | | RCGR | Ente responsabile | SABAP SS e NU |
| | | RCGA | Responsabile scientifico | Manca di Mores, Giuseppina |
| | | RCGZ | Note | Lato sinistro: visibilità nulla temporanea. Lato destro: visibilità nulla temporanea. |
| GE | | | GEOREFERENZIAZIONE | |
| | GEL | | Tipo di localizzazione | localizzazione fisica |



| | | | | |
|--------------|-----------------|------|--|--|
| | GET | | Tipo di georeferenziazione | georeferenziazione lineare |
| | GEP | | Sistema di riferimento | WGS84 |
| | GEC | | COORDINATE | |
| | | GECX | Coordinata x | 9.413234 |
| | | GECY | Coordinata y | 40.572017 |
| | | GECS | Note | inizio UR |
| | | GECX | Coordinata x | 9.410141 |
| | | GECY | Coordinata y | 40.571486 |
| | | GECS | Note | fine UR |
| | GPT | | Tecnica di georeferenziazione | rilievo tramite GPS |
| | GPM | | Metodo di posizionamento | posizionamento esatto |
| | VRP | | VALUTAZIONE DEL POTENZIALE ARCHEOLOGICO | |
| | | VRPS | Valutazione di sintesi | 2. potenziale molto basso |
| UR7 T | AV. XIII | | | |
| | RCG | | RICOGNIZIONE ARCHEOLOGICA | |
| | | RCGV | Denominazione ricognizione | Terenass - cavidotto dorsale - UR7 |
| | | RCGD | Riferimento cronologico | 19/06 - 5/07/2020 |
| | | RCGT | Situazione ambientale | Su entrambi i lati aree pianeggianti con foraggiere falciate e non, vegetazione erbacea coprente. Non si segnalano evidenze archeologiche. |
| | | RCGE | Motivo | verifica preventiva |
| | | RCGM | Metodo | sistematico |
| | | RCGR | Ente responsabile | SABAP SS e NU |
| | | RCGA | Responsabile scientifico | Manca di Mores, Giuseppina |
| | | RCGZ | Note | Lato sinistro: visibilità nulla temporanea. Lato destro: visibilità nulla temporanea |
| GE | | | GEOREFERENZIAZIONE | |
| | GEL | | Tipo di localizzazione | localizzazione fisica |
| | GET | | Tipo di georeferenziazione | georeferenziazione lineare |
| | GEP | | Sistema di riferimento | WGS84 |
| | GEC | | COORDINATE | |
| | | GECX | Coordinata x | 9.410141 |
| | | GECY | Coordinata y | 40.571486 |
| | | GECS | Note | inizio UR |
| | | GECX | Coordinata x | 9.403341 |
| | | GECY | Coordinata y | 40.572401 |
| | | GECS | Note | fine UR |
| | GPT | | Tecnica di georeferenziazione | rilievo tramite GPS |
| | GPM | | Metodo di posizionamento | posizionamento esatto |
| | VRP | | VALUTAZIONE DEL POTENZIALE ARCHEOLOGICO | |
| | | VRPS | Valutazione di sintesi | 2. potenziale molto basso |



| UR8 T AV. XIV | | | | |
|---------------|------------|------|--|--|
| | RCG | | RICOGNIZIONE ARCHEOLOGICA | |
| | | RCGV | Denominazione ricognizione | Terenass - cavidotto dorsale - UR8 |
| | | RCGD | Riferimento cronologico | 19/06 - 5/07/2020 |
| | | RCGT | Situazione ambientale | Area di rimboschimento sulla destra; a sinistra vegetazione erbacea alta coprente lungo la strada. Non si segnalano evidenze archeologiche. |
| | | RCGE | Motivo | verifica preventiva |
| | | RCGM | Metodo | sistematico |
| | | RCGR | Ente responsabile | SABAP SS e NU |
| | | RCGA | Responsabile scientifico | Manca di Mores, Giuseppina |
| | | RCGZ | Note | Lato sinistro: visibilità bassa temporanea. Lato destro: visibilità bassa permanente |
| GE | | | GEOREFERENZIAZIONE | |
| | GEL | | Tipo di localizzazione | localizzazione fisica |
| | GET | | Tipo di georeferenziazione | georeferenziazione lineare |
| | GEP | | Sistema di riferimento | WGS84 |
| | GEC | | COORDINATE | |
| | | GECX | Coordinata x | 9.403341 |
| | | GECY | Coordinata y | 40.572401 |
| | | GECS | Note | inizio UR |
| | | GECX | Coordinata x | 9.398537 |
| | | GECY | Coordinata y | 40.573411 |
| | | GECS | Note | fine UR |
| | GPT | | Tecnica di georeferenziazione | rilievo tramite GPS |
| | GPM | | Metodo di posizionamento | posizionamento esatto |
| | VRP | | VALUTAZIONE DEL POTENZIALE ARCHEOLOGICO | |
| | | VRPS | Valutazione di sintesi | 3.potenziale basso |
| UR9 T AV. XV | | | | |
| | RCG | | RICOGNIZIONE ARCHEOLOGICA | |
| | | RCGV | Denominazione ricognizione | Terenass - cavidotto dorsale - UR9 |
| | | RCGD | Riferimento cronologico | 19/06 - 5/07/2020 |
| | | RCGT | Situazione ambientale | Aree pianeggianti o in lieve pendio, con fitta vegetazione erbacea alternata a rada vegetazione arbustiva; sul lato sinistro, concentrazione di pietrame sparso, vegetazione fitta; vegetazione erbacea e arbustiva a dx. Non si segnalano evidenze archeologiche. |
| | | RCGE | Motivo | verifica preventiva |
| | | RCGM | Metodo | sistematico |
| | | RCGR | Ente responsabile | SABAP SS e NU |
| | | RCGA | Responsabile scientifico | Manca di Mores, Giuseppina |
| | | RCGZ | Note | Lato sinistro: visibilità nulla temporanea. Lato destro: visibilità bassa permanente. |



| GE | | | GEOREFERENZIAZIONE | |
|-------------|------------------|------|--|---|
| | GEL | | Tipo di localizzazione | localizzazione fisica |
| | GET | | Tipo di georeferenziazione | georeferenziazione lineare |
| | GEP | | Sistema di riferimento | WGS84 |
| | GEC | | COORDINATE | |
| | | GECX | Coordinata x | 9.398537 |
| | | GECY | Coordinata y | 40.573411 |
| | | GECS | Note | inizio UR |
| | | GECX | Coordinata x | 9.394924 |
| | | GECY | Coordinata y | 40.573820 |
| | | GECS | Note | fine UR |
| | GPT | | Tecnica di georeferenziazione | rilievo tramite GPS |
| | GPM | | Metodo di posizionamento | posizionamento esatto |
| | VRP | | VALUTAZIONE DEL POTENZIALE ARCHEOLOGICO | |
| | | VRPS | Valutazione di sintesi | 3. potenziale basso |
| UR10 | T AV. XVI | | | |
| | | RCGV | Denominazione ricognizione | Terenass - cavidotto dorsale - UR10 |
| | | RCGD | Riferimento cronologico | 19/06 - 5/07/2020 |
| | | | | Sul lato dx vegetazione arbustiva ai bordi della strada, erbacea alta e foraggiere all'interno del fondo; su lato sx vegetazione arbustiva più alta e fitta. Sul fondo del sentiero sterrato alcune sistemazioni in pietrame che, date le informazioni sulla viabilità antica, di età romana e medievale che attraversava il territorio, sono da tenere presenti nell'eventualità di tracciati più antichi, peraltro noti nel territorio comunale, che possono permanere sotto risistemazioni di varie epoche, si veda in specifico nel testo della relazione, 7. Potenziale archeologico. A partire dalla UR10, escludendo la UR11 e a seguire con la UR12 sino alla UR14, e in specifico dal tratto indicato come PA1, del quale si danno di seguito le coordinate, sino alla fine dello stesso tratto all'interno della UR 14, si segnala la necessità di attenzione per la presenza di diverse emergenze archeologiche che, pur non sempre o non con certezza ubicabili all'interno della fascia di 50 m, sono da tenere presenti in sede di realizzazione dell'opera per la loro localizzazione o area di espansione rispetto alle ubicazioni note, indicate nelle diverse UR ma meglio specificate, nelle loro interrelazioni e possibili interferenze, in relazione (vfr. 7. Potenziale archeologico). |
| | | RCGT | Situazione ambientale | |
| | | RCGE | Motivo | archeologia preventiva |
| | | RCGM | Metodo | sistematico |
| | | RCGR | Ente responsabile | SABAP SS e NU |



| | | | | |
|-----------------|-----|------|--|--|
| | | RCGA | Responsabile scientifico | Manca di Mores, Giuseppina |
| | | RCGZ | Note | Lato sinistro: visibilità nulla permanente. Lato destro: visibilità nulla temporanea. |
| GE | | | GEOREFERENZIAZIONE | |
| | GEL | | Tipo di localizzazione | localizzazione fisica |
| | GET | | Tipo di georeferenziazione | georeferenziazione lineare |
| | GEP | | Sistema di riferimento | WGS84 |
| | GEC | | COORDINATE | |
| | | GECX | Coordinata x | 9.394924 |
| | | GECY | Coordinata y | 40.573820 |
| | | GECS | Note | inizio UR |
| | | GECX | Coordinata x | 9.389668 |
| | | GECY | Coordinata y | 40.571737 |
| | | GECS | Note | fine UR |
| | | GECX | Coordinata x | 9.393611 |
| | | GECY | Coordinata y | 40.573130 |
| | | GECS | Note | inizio tratto PA1 con potenziale archeologico medio-alto |
| | GPT | | Tecnica di georeferenziazione | rilievo tramite GPS |
| | GPM | | Metodo di posizionamento | posizionamento esatto |
| | VRP | | VALUTAZIONE DEL POTENZIALE ARCHEOLOGICO | |
| | | VRPS | Valutazione di sintesi | 7.potenziale medio-alto |
| UR11 T AV. XVII | | | | |
| | RCG | | RICOGNIZIONE ARCHEOLOGICA | |
| | | RCGV | Denominazione ricognizione | Terenass - cavidotto dorsale - UR11 |
| | | RCGD | Riferimento cronologico | 19/06 - 5/07/2020 |
| | | RCGT | Situazione ambientale | Sul lato dx vegetazione arbustiva ai bordi della strada, erbacea e foraggere alte all'interno del fondo; a sx vegetazione arbustiva alta e fitta. Non si segnalano evidenze archeologiche. |
| | | RCGE | Motivo | verifica preventiva |
| | | RCGM | Metodo | sistematico |
| | | RCGR | Ente responsabile | SABAP SS e NU |
| | | RCGA | Responsabile scientifico | Manca di Mores, Giuseppina |
| | | RCGZ | Note | Lato sinistro: visibilità nulla permanente.Lato destro: visibilità bassa temporanea. |
| GE | | | GEOREFERENZIAZIONE | |
| | GEL | | Tipo di localizzazione | localizzazione fisica |
| | GET | | Tipo di georeferenziazione | georeferenziazione lineare |
| | GEP | | Sistema di riferimento | WGS84 |
| | GEC | | COORDINATE | |
| | | GECX | Coordinata x | 9.389668 |
| | | GECY | Coordinata y | 40.571737 |
| | | GECS | Note | inizio UR |



| | | | | |
|-------------|--------------------|------|--|--|
| | | GECX | Coordinata x | 9.393592 |
| | | GECY | Coordinata y | 40.567823 |
| | GPT | | Tecnica di georeferenziazione | rilievo tramite GPS |
| | GPM | | Metodo di posizionamento | posizionamento esatto |
| | VRP | | VALUTAZIONE DEL POTENZIALE ARCHEOLOGICO | |
| | | VRPS | Valutazione di sintesi | 2. potenziale molto basso |
| UR12 | T AV. XVIII | | | |
| | RCG | | RICOGNIZIONE ARCHEOLOGICA | |
| | | RCGV | Denominazione ricognizione | Terenass - cavidotto dorsale - UR12 |
| | | RCGD | Riferimento cronologico | 19/06 - 5/07/2020 |
| | | | | Sul lato dx vegetazione coprente arbustiva sino a boscosa; visibile a distanza il nuraghe Ortuidda e sentiero di accesso; a sx rimboscimento e foraggere. Non si segnalano evidenze archeologiche nelle fasce dei 50 m, ferma restando la possibile interferenza di propaggini dell'insediamento e di strutture collegate. |
| | | RCGT | Situazione ambientale | |
| | | RCGE | Motivo | verifica preventiva |
| | | RCGM | Metodo | sistematico |
| | | RCGR | Ente responsabile | SABAP SS e NU |
| | | RCGA | Responsabile scientifico | Manca di Mores, Giuseppina |
| | | RCGZ | Note | Lato sinistro: visibilità bassa temporanea. Lato destro: visibilità nulla permanente. |
| GE | | | GEOREFERENZIAZIONE | |
| | GEL | | Tipo di localizzazione | localizzazione fisica |
| | GET | | Tipo di georeferenziazione | georeferenziazione lineare |
| | GEP | | Sistema di riferimento | WGS84 |
| | GEC | | COORDINATE | |
| | | GECX | Coordinata x | 9.389648 |
| | | GECY | Coordinata y | 40.571730 |
| | | GECS | Note | inizio UR |
| | | GECX | Coordinata x | 9.387145 |
| | | GECY | Coordinata y | 40.571070 |
| | | GECS | Note | fine UR |
| | GPT | | Tecnica di georeferenziazione | rilievo tramite GPS |
| | GPM | | Metodo di posizionamento | posizionamento esatto |
| | VRP | | VALUTAZIONE DEL POTENZIALE ARCHEOLOGICO | |
| | | VRPS | Valutazione di sintesi | 7.potenziale medio-alto |
| UR13 | T AV. XIX | | | |
| | RCG | | RICOGNIZIONE ARCHEOLOGICA | |



| | | | | |
|----------------------|------------|------|--|---|
| | | RCGV | Denominazione ricognizione | Terenass - cavidotto dorsale - UR13 |
| | | RCGD | Riferimento cronologico | 19/06 - 5/07/2020 |
| | | RCGT | Situazione ambientale | Vegetazione fitta, in parte boscosa, su fondo roccioso su entrambi i lati del tracciato. Anche qui, sul fondo del sentiero sterrato, sistemazione in pietrame, per la quale si fa riferimento a quanto esplicitato in UR10 sulla viabilità antica attestata nel territorio e in relazione (7. Potenziale archeologico). |
| | | RCGE | Motivo | verifica preventiva |
| | | RCGM | Metodo | sistematico |
| | | RCGR | Ente responsabile | SABAP SS e NU |
| | | RCGA | Responsabile scientifico | Manca di Mores, Giuseppina |
| | | RCGZ | Note | Lato sinistro: visibilità nulla permanente. Lato destro: visibilità nulla permanente. |
| GE | | | GEOREFERENZIAZIONE | |
| | GEL | | Tipo di localizzazione | localizzazione fisica |
| | GET | | Tipo di georeferenziazione | georeferenziazione lineare |
| | GEP | | Sistema di riferimento | WGS84 |
| | GEC | | COORDINATE | |
| | | GECX | Coordinata x | 9.387145 |
| | | GECY | Coordinata y | 40.571070 |
| | | GECS | Note | inizio UR |
| | | GECX | Coordinata x | 9.378283 |
| | | GECY | Coordinata y | 40.571340 |
| | | GECS | Note | fine UR |
| | GPT | | Tecnica di georeferenziazione | rilievo tramite GPS |
| | GPM | | Metodo di posizionamento | posizionamento esatto |
| | VRP | | VALUTAZIONE DEL POTENZIALE ARCHEOLOGICO | |
| | | VRPS | Valutazione di sintesi | 7.potenziale medio-alto |
| UR14 T AV. XX | | | | |
| | RCG | | RICOGNIZIONE ARCHEOLOGICA | |
| | | RCGV | Denominazione ricognizione | Terenass - cavidotto dorsale - UR14 |
| | | RCGD | Riferimento cronologico | 19/06 - 5/07/2020 |



| | | | | |
|----|-----|------|-------------------------------|--|
| | | | | Presumibilmente all'interno della fascia di 50 m a sinistra del sentiero, a poche decine di metri di distanza dal tracciato del cavidotto, si segnala la presenza dell'insediamento romano di Abbas de Frau. La fittissima vegetazione non ha permesso, in sede di survey, di evidenziare le strutture, la cui unica indicazione proviene dal censimento del Parco di Tepilora, dove l'insediamento è dato come inedito e del quale in effetti non è stata reperita alcun'altra indicazione. Da questi dati il sito sembrerebbe ubicarsi all'interno della fascia dei 50 m a sinistra del cavidotto, e pertanto su questo punto si sottolinea la forte necessità di cautela e attenzione in fase di attività. E' invece ubicata con precisione la non lontana fonte onomima, indicata in letteratura come una delle sorgenti del Tirso. La vegetazione è fitta, arbustiva, coprente. A dx del tracciato, verso l'interno, su un leggero pendio, boschi di sughere. Il fondo del sentiero è molto sconnesso e, in un tratto, occupato da un'ampia pozza d'acqua che è stato fortunatamente possibile attraversare col mezzo per procedere nella ricognizione. |
| | | RCGT | Situazione ambientale | |
| | | RCGE | Motivo | verifica preventiva |
| | | RCGM | Metodo | sistematico |
| | | RCGR | Ente responsabile | SABAP SS e NU |
| | | RCGA | Responsabile scientifico | Manca di Mores, Giuseppina |
| | | RCGZ | Note | Lato sinistro: visibilità bassa permanente. Lato destro: visibilità bassa permanente |
| GE | | | GEOREFERENZIAZIONE | |
| | GEL | | Tipo di localizzazione | localizzazione fisica |
| | GET | | Tipo di georeferenziazione | georeferenziazione lineare |
| | GEP | | Sistema di riferimento | WGS84 |
| | GEC | | COORDINATE | |
| | | GECX | Coordinata x | 9.378283 |
| | | GECY | Coordinata y | 40.571340 |
| | | GECS | Note | inizio UR |
| | | GECX | Coordinata x | 9.370983 |
| | | GECY | Coordinata y | 40.570983 |
| | | GECS | Note | fine UR |
| | | GECX | Coordinata x | 9.376141 |
| | | GECY | Coordinata y | 40.572361 |
| | | GECS | Note | fine tratto con potenziale archeologico medio-alto (PA1) |
| | | GECX | Coordinata x | 9.378005 |
| | | GECY | Coordinata y | 40.571113 |
| | | GECS | Note | Insedimento di Abbas de Frau |
| | GPT | | Tecnica di georeferenziazione | rilievo tramite GPS |
| | GPM | | Metodo di posizionamento | posizionamento esatto |



| | | | | |
|-------------|-------------------|------|--|--|
| | VRP | | VALUTAZIONE DEL POTENZIALE ARCHEOLOGICO | |
| | | VRPS | Valutazione di sintesi | 7. potenziale medio-alto |
| UR15 | T AV. XXI | | | |
| | RCG | | RICOGNIZIONE ARCHEOLOGICA | |
| | | RCGV | Denominazione ricognizione | Terenass - cavidotto dorsale - UR15 |
| | | RCGD | Riferimento cronologico | 19/06 - 5/07/2020 |
| | | RCGT | Situazione ambientale | Soprattutto sul lato dx, area di rimboschimento. Fondo erboso e arbustivo coprente. Non si segnalano evidenze archeologiche. |
| | | RCGE | Motivo | verifica preventiva |
| | | RCGM | Metodo | sistematico |
| | | RCGR | Ente responsabile | SABAP SS e NU |
| | | RCGA | Responsabile scientifico | Manca di Mores, Giuseppina |
| | | RCGZ | Note | Lato sinistro: visibilità bassa permanente. Lato destro: visibilità bassa permanente |
| GE | | | GEOREFERENZIAZIONE | |
| | GEL | | Tipo di localizzazione | localizzazione fisica |
| | GET | | Tipo di georeferenziazione | georeferenziazione lineare |
| | GEP | | Sistema di riferimento | WGS84 |
| | GEC | | COORDINATE | |
| | | GECX | Coordinata x | 9.370983 |
| | | GECY | Coordinata y | 40.570983 |
| | | GECS | Note | inizio UR |
| | | GECX | Coordinata x | 9.366967 |
| | | GECY | Coordinata y | 40.569733 |
| | | GECS | Note | fine UR |
| | GPT | | Tecnica di georeferenziazione | rilievo tramite GPS |
| | GPM | | Metodo di posizionamento | posizionamento esatto |
| | VRP | | VALUTAZIONE DEL POTENZIALE ARCHEOLOGICO | |
| | | VRPS | Valutazione di sintesi | 4. potenziale medio |
| UR16 | T AV. XXII | | | |
| | RCG | | RICOGNIZIONE ARCHEOLOGICA | |
| | | RCGV | Denominazione ricognizione | Terenass - cavidotto dorsale - UR16 |
| | | RCGD | Riferimento cronologico | 19/06 - 5/07/2020 |
| | | RCGT | Situazione ambientale | Su entrambe le fasce, terreno a fitta vegetazione boschiva e arbustiva su base granitica, con fondo a vegetazione erbacea coprente. Non si segnalano evidenze archeologiche. |
| | | RCGE | Motivo | verifica preventiva |
| | | RCGM | Metodo | sistematico |



| | | | | |
|-------------------------|------------|------|--|--|
| | | RCGR | Ente responsabile | SABAP SS e NU |
| | | RCGA | Responsabile scientifico | Manca di Mores, Giuseppina |
| | | RCGZ | Note | |
| GE | | | GEOREFERENZIAZIONE | Lato sinistro: visibilità nulla permanente. Lato destro: visibilità nulla permanente. |
| | GEL | | Tipo di localizzazione | localizzazione fisica |
| | GET | | Tipo di georeferenziazione | georeferenziazione lineare |
| | GEP | | Sistema di riferimento | WGS84 |
| | GEC | | COORDINATE | |
| | | GECX | Coordinata x | 9.366967 |
| | | GECY | Coordinata y | 40.569733 |
| | | GECS | Note | inizio UR |
| | | GECX | Coordinata x | 9.348398 |
| | | GECY | Coordinata y | 40.568966 |
| | | GECS | Note | fine UR |
| | GPT | | Tecnica di georeferenziazione | rilievo tramite GPS |
| | GPM | | Metodo di posizionamento | posizionamento esatto |
| | VRP | | VALUTAZIONE DEL POTENZIALE ARCHEOLOGICO | |
| | | VRPS | Valutazione di sintesi | 7. potenziale medio-alto |
| UR17 T AV. XXIII | | | | |
| | RCG | | RICOGNIZIONE ARCHEOLOGICA | |
| | | RCGV | Denominazione ricognizione | Terenass - cavidotto dorsale - UR17 |
| | | RCGD | Riferimento cronologico | 19/06 - 5/07/2020 |
| | | RCGT | Situazione ambientale | Su entrambe le fasce fitta vegetazione boschiva (sugherete) a partire dal bordo del sentiero; fondo con vegetazione erbacea coprente. Non si segnalano evidenze archeologiche. |
| | | RCGE | Motivo | verifica preventiva |
| | | RCGM | Metodo | sistematico |
| | | RCGR | Ente responsabile | SABAP SS e NU |
| | | RCGA | Responsabile scientifico | Manca di Mores, Giuseppina |
| | | RCGZ | Note | Lato sinistro: visibilità nulla permanente. Lato destro: visibilità nulla permanente. |
| GE | | | GEOREFERENZIAZIONE | |
| | GEL | | Tipo di localizzazione | localizzazione fisica |
| | GET | | Tipo di georeferenziazione | georeferenziazione lineare |
| | GEP | | Sistema di riferimento | WGS84 |
| | GEC | | COORDINATE | |
| | | GECX | Coordinata x | 9.348398 |
| | | GECY | Coordinata y | 40.568966 |
| | | GECS | Note | inizio UR |
| | | GECX | Coordinata x | 9.335958 |
| | | GECY | Coordinata y | 40.569191 |



| | GECS | Note | fine UR |
|------------------------|------|--|--|
| | GPT | Tecnica di georeferenziazione | rilievo tramite GPS |
| | GPM | Metodo di posizionamento | posizionamento esatto |
| | VRP | VALUTAZIONE DEL POTENZIALE ARCHEOLOGICO | |
| | VRPS | Valutazione di sintesi | 6.potenziale medio |
| UR18 T AV. XXIV | | | |
| | RCG | RICOGNIZIONE ARCHEOLOGICA | |
| | RCGV | Denominazione ricognizione | Terenass - cavidotto dorsale - UR18 |
| | RCGD | Riferimento cronologico | 19/06 - 5/07/2020 |
| | RCGT | Situazione ambientale | Sulla fascia dx, area occupata dall'ex autodromo; fondo sterrato, vegetazione rada erbacea e arbustiva. Più all'interno, vegetazione boschiva, così come sul lato sx (fascia a bassa vegetazione erbacea e arbustiva seguita da area boschiva). Non si segnalano evidenze archeologiche. |
| | RCGE | Motivo | verifica preventiva |
| | RCGM | Metodo | sistematico |
| | RCGR | Ente responsabile | SABAP SS e NU |
| | RCGA | Responsabile scientifico | Manca di Mores, Giuseppina |
| | RCGZ | Note | Lato sinistro: visibilità media. Lato destro: visibilità media. |
| GE | | GEOREFERENZIAZIONE | |
| | GEL | Tipo di localizzazione | localizzazione fisica |
| | GET | Tipo di georeferenziazione | georeferenziazione lineare |
| | GEP | Sistema di riferimento | WGS84 |
| | GEC | COORDINATE | |
| | GECX | Coordinata x | 9.335958 |
| | GECY | Coordinata y | 40.569191 |
| | GECS | Note | inizio UR |
| | GECX | Coordinata x | 9.325858 |
| | GECY | Coordinata y | 40.569071 |
| | GECS | Note | fine UR |
| | GPT | Tecnica di georeferenziazione | rilievo tramite GPS |
| | GPM | Metodo di posizionamento | posizionamento esatto |
| | VRP | VALUTAZIONE DEL POTENZIALE ARCHEOLOGICO | |
| | VRPS | Valutazione di sintesi | 7. potenziale medio -alto |
| UR19 T AV. XXV | | | |
| | RCG | RICOGNIZIONE ARCHEOLOGICA | |
| | RCGV | Denominazione ricognizione | Terenass - cavidotto dorsale - UR19 |
| | RCGD | Riferimento cronologico | 19/06 - 5/07/2020 |



| | | | | |
|----|-----|------|-------------------------------|--|
| | | | | Nel tratto finale dell'UR19 troviamo il complesso nuragico di Loelle, costituito da un nuraghe trilobato e da un villaggio di capanne. Si tratta di un'area archeologica importante, restaurata, recintata, valorizzata, gestita da una cooperativa e aperta al pubblico. In "Vincoli in rete" è citato un piccolo dolmen posizionato sul lato destro della strada, a una quindicina di metri a ovest del Nuraghe Loelle, ma di esso non si hanno notizie più precise. L'area è delimitata, sul lato destro della strada, da un muretto a secco. Tra la fine della UR 19 e l'inizio della 20, sul lato opposto della strada oltre l'incrocio con la SS 389 di Correboi, si segnalano diverse emergenze archeologiche, fra cui almeno due tombe di giganti e altre tracce di villaggio (due strutture circolari) e altre strutture archeologiche. E' pertanto evidente che la strada e gli edifici costruiti oltre al bivio hanno tagliato un insediamento originariamente di carattere unitario, la cui estensione peraltro non è pienamente definibile. Si veda su questo, più avanti, il dolmen all'interno della UR20. Il percorso del cavidotto e della relativa trincea sono indicati a bordo strada, sulla sinistra, dalla parte opposta del nuraghe Loelle. |
| | | RCGT | Situazione ambientale | |
| | | RCGE | Motivo | verifica preventiva |
| | | RCGM | Metodo | sistematico |
| | | RCGR | Ente responsabile | SABAP SS e NU |
| | | RCGA | Responsabile scientifico | Manca di Mores, Giuseppina |
| | | RCGZ | Note | Lato sinistro: visibilità bassa permanente. Lato destro: visibilità bassa permanente. |
| GE | | | GEOREFERENZIAZIONE | |
| | GEL | | Tipo di localizzazione | localizzazione fisica |
| | GET | | Tipo di georeferenziazione | georeferenziazione lineare |
| | GEP | | Sistema di riferimento | WGS84 |
| | GEC | | COORDINATE | |
| | | GECX | Coordinata x | 9.325858 |
| | | GECY | Coordinata y | 40.569071 |
| | | GECS | Note | inizio UR |
| | | GECX | Coordinata x | 9.316150 |
| | | GECY | Coordinata y | 40.567733 |
| | | GECS | Note | fine UR |
| | | GECX | Coordinata x | 9.320479 |
| | | GECY | Coordinata y | 40.567898 |
| | | GECS | Note | inizio tratto con potenziale archeologico alto (PA2) |
| | GPT | | Tecnica di georeferenziazione | rilievo tramite GPS |
| | GPM | | Metodo di posizionamento | posizionamento esatto |



| | VRP | | VALUTAZIONE DEL POTENZIALE ARCHEOLOGICO | |
|-------------|-------------------|------|---|--|
| | | VRPS | Valutazione di sintesi | 8. potenziale alto |
| UR20 | T AV. XXVI | | | |
| | RCG | | RICOGNIZIONE ARCHEOLOGICA | |
| | | RCGV | Denominazione ricognizione | Terenass - cavidotto dorsale - UR20 |
| | | RCGD | Riferimento cronologico | 19/06 - 5/07/2020 |
| | | | | Su entrambe le fasce ai lati della strada asfaltata: querceto fitto su base granitica. A poco più di un centinaio di metri a NW del su descritto complesso nuragico di Loelle si segnala un dolmen (per alcuni studiosi una allée couverte). Il dolmen si trova sul percorso della SS 389 di Correboi, sul ciglio della strada e sul lato sx, ovvero quello lungo il quale correrebbe la trincea per il cavidotto. Su questo punto è pertanto necessaria la massima cautela sia per il monumento in sè, sia per il fatto che il dolmen si inserisce in un'area di forte frequentazione antica che abbraccia un'ampia area già descritta nella UR 19. In alcuni resoconti le coordinate riporerebbero erroneamente l'ubicazione del dolmen al centro della strada. Nei tratti successivi dell'UR e nell'area circostante, vegetazione boschiva (sugherete); fondo granitico, vegetazione erbosa coprente. |
| | | RCGT | Situazione ambientale | |
| | | RCGE | Motivo | verifica preventiva |
| | | RCGM | Metodo | sistematico |
| | | RCGR | Ente responsabile | SABAP SS e NU |
| | | RCGA | Responsabile scientifico | Manca di Mores, Giuseppina |
| | | RCGZ | Note | Lato sinistro: visibilità nulla permanente. Lato destro: visibilità nulla permanente. |
| GE | | | GEOREFERENZIAZIONE | |
| | GEL | | Tipo di localizzazione | localizzazione fisica |
| | GET | | Tipo di georeferenziazione | georeferenziazione lineare |
| | GEP | | Sistema di riferimento | WGS84 |
| | GEC | | COORDINATE | |
| | | GECX | Coordinata x | 9.316150 |
| | | GECY | Coordinata y | 40.567733 |
| | | GECS | Note | inizio UR |
| | | GECX | Coordinata x | 9.299270 |
| | | GECY | Coordinata y | 40.570409 |
| | | GECS | Note | fine UR |
| | | GECX | Coordinata x | 9.312299 |
| | | GECY | Coordinata y | 40.569547 |
| | | GECS | Note | fine tratto con potenziale archeologico alto (PA2) |



| | | | | |
|-------------|---------------------|------|--|--|
| | | GECX | Coordinata x | 9.314174 |
| | | GECY | Coordinata y | 40.568656 |
| | | GECS | Note | Dolmen Loelle |
| | GPT | | Tecnica di georeferenziazione | rilievo tramite GPS |
| | GPM | | Metodo di posizionamento | posizionamento esatto |
| | VRP | | VALUTAZIONE DEL POTENZIALE ARCHEOLOGICO | |
| | | VRPS | Valutazione di sintesi | 8.potenziale alto |
| UR21 | T AV. XXVII | | | |
| | RCG | | RICOGNIZIONE ARCHEOLOGICA | |
| | | RCGV | Denominazione ricognizione | Terenass - cavidotto dorsale - UR21 |
| | | RCGD | Riferimento cronologico | 19/06 - 5/07/2020 |
| | | RCGT | Situazione ambientale | Su entrambi i lati della strada asfaltata, ambiente boscoso (sugherete), fitto, su base granitica. Non si segnalano evidenze archeologiche. Il cavidotto termina alla sottostazione. |
| | | RCGE | Motivo | verifica preventiva |
| | | RCGM | Metodo | sistematico |
| | | RCGR | Ente responsabile | SABAP SS e NU |
| | | RCGA | Responsabile scientifico | Manca di Mores, Giuseppina |
| | | RCGZ | Note | Lato sinistro: visibilità nulla permanente. Lato destro: visibilità nulla permanente. |
| GE | | | GEOREFERENZIAZIONE | |
| | GEL | | Tipo di localizzazione | localizzazione fisica |
| | GET | | Tipo di georeferenziazione | georeferenziazione lineare |
| | GEP | | Sistema di riferimento | WGS84 |
| | GEC | | COORDINATE | |
| | | GECX | Coordinata x | 9.299270 |
| | | GECY | Coordinata y | 40.570409 |
| | | GECS | Note | inizio UR |
| | | GECX | Coordinata x | 9.288931 |
| | | GECY | Coordinata y | 40.569747 |
| | | GECS | Note | fine UR |
| | GPT | | Tecnica di georeferenziazione | rilievo tramite GPS |
| | GPM | | Metodo di posizionamento | posizionamento esatto |
| | VRP | | VALUTAZIONE DEL POTENZIALE ARCHEOLOGICO | |
| | | VRPS | Valutazione di sintesi | 3. potenziale basso |
| UR22 | T AV. XXVIII | | | |
| | RCG | | RICOGNIZIONE ARCHEOLOGICA | |
| | | RCGV | Denominazione ricognizione | Terenass - cavidotto di collegamento - UR22 |
| | | RCGD | Riferimento cronologico | 19/06 - 5/07/2020 |



| | | | | |
|------------------------|-----|------|--|--|
| | | RCGT | Situazione ambientale | Il sentiero conduce dall'ubicazione dell'aerogeneratore BT01 al BT02. Entrambe le fasce sono coperte da vegetazione erbacea e arbustiva molto fitta sul lato sx, verso l'aerogeneratore, meno sul lato dx. Il fondo pietroso che si intravede fra gli arbusti (macchia mediterranea) non ha rivelato evidenze archeologiche. |
| | | RCGE | Motivo | verifica preventiva |
| | | RCGM | Metodo | sistematico |
| | | RCGR | Ente responsabile | SABAP SS e NU |
| | | RCGA | Responsabile scientifico | Manca di Mores, Giuseppina |
| | | RCGZ | Note | Lato sinistro: visibilità bassa permanente. Lato destro: visibilità bassa temporanea. |
| GE | | | GEOREFERENZIAZIONE | |
| | GEL | | Tipo di localizzazione | localizzazione fisica |
| | GET | | Tipo di georeferenziazione | georeferenziazione lineare |
| | GEP | | Sistema di riferimento | WGS84 |
| | GEC | | COORDINATE | |
| | | GECX | Coordinata x | 9.462858 |
| | | GECY | Coordinata y | 40.583517 |
| | | GECS | Note | inizio UR |
| | | GECX | Coordinata x | 9.456724 |
| | | GECY | Coordinata y | 40.580865 |
| | | GECS | Note | fine UR |
| | GPT | | Tecnica di georeferenziazione | rilievo tramite GPS |
| | GPM | | Metodo di posizionamento | posizionamento esatto |
| | VRP | | VALUTAZIONE DEL POTENZIALE ARCHEOLOGICO | |
| | | VRPS | Valutazione di sintesi | 2. potenziale molto basso |
| UR23 T AV. XXIX | | | | |
| | RCG | | RICOGNIZIONE ARCHEOLOGICA | |
| | | RCGV | Denominazione ricognizione | Terenass - cavidotto di collegamento - UR23 |
| | | RCGD | Riferimento cronologico | 19/06 - 5/07/2020 |
| | | RCGT | Situazione ambientale | Il percorso conduce dalla BT02 al bivio tra BT 02 e BT03b. Ai lati della strada asfaltata, foraggiere, vegetazione rada con alcuni inserimenti arborei sporadici e roccia affiorante a dx; a sx, vegetazione arbustiva più fitta su base rocciosa con inserimenti arborei. Non si segnalano evidenze archeologiche. |
| | | RCGE | Motivo | verifica preventiva |
| | | RCGM | Metodo | sistematico |
| | | RCGR | Ente responsabile | SABAP SS e NU |
| | | RCGA | Responsabile scientifico | Manca di Mores, Giuseppina |
| | | RCGZ | Note | Lato sinistro: visibilità bassa permanente. Lato destro: visibilità bassa temporanea. |



| GE | | | GEOREFERENZIAZIONE | |
|-------------|------------------|------|--|--|
| | GEL | | Tipo di localizzazione | localizzazione fisica |
| | GET | | Tipo di georeferenziazione | georeferenziazione lineare |
| | GEP | | Sistema di riferimento | WGS84 |
| | GEC | | COORDINATE | |
| | | GECX | Coordinata x | 9.454335 |
| | | GECY | Coordinata y | 40.580584 |
| | | GECS | Note | inizio UR |
| | | GECX | Coordinata x | 9.449588 |
| | | GECY | Coordinata y | 40.579484 |
| | | GECS | Note | fine UR |
| | GPT | | Tecnica di georeferenziazione | rilievo tramite GPS |
| | GPM | | Metodo di posizionamento | posizionamento esatto |
| | VRP | | VALUTAZIONE DEL POTENZIALE ARCHEOLOGICO | |
| | | VRPS | Valutazione di sintesi | 2. potenziale molto basso |
| UR24 | T AV. XXX | | | |
| | RCG | | RICOGNIZIONE ARCHEOLOGICA | |
| | | RCGV | Denominazione ricognizione | Terenass - cavidotto di collegamento - UR24 |
| | | RCGD | Riferimento cronologico | 19/06 - 5/07/2020 |
| | | RCGT | Situazione ambientale | Tratto che dal bivio conduce all'arogeneratore BT03. Ai lati del sentiero d'ingresso che conduce alla casa, foraggere, cardi e vegetazione spontanea coprente. Cumuli di spietramento in varie parti del terreno; notevole quantità di pietrame di varie dimensioni di incerta lettura. Non si segnalano evidenze archeologiche di chiara lettura. |
| | | RCGE | Motivo | verifica preventiva |
| | | RCGM | Metodo | sistematico |
| | | RCGR | Ente responsabile | SABAP SS e NU |
| | | RCGA | Responsabile scientifico | Manca di Mores, Giuseppina |
| | | RCGZ | Note | Lato sinistro: visibilità bassa temporanea. Lato destro: visibilità bassa temporanea. |
| GE | | | GEOREFERENZIAZIONE | |
| | GEL | | Tipo di localizzazione | localizzazione fisica |
| | GET | | Tipo di georeferenziazione | georeferenziazione lineare |
| | GEP | | Sistema di riferimento | WGS84 |
| | GEC | | COORDINATE | |
| | | GECX | Coordinata x | 9.447542 |
| | | GECY | Coordinata y | 40.582289 |
| | | GECS | Note | inizio UR |
| | | GECX | Coordinata x | 9.448836 |
| | | GECY | Coordinata y | 40.578638 |
| | | GECS | Note | fine UR |



| | | | | |
|-------------------------|-----|------|--|--|
| | GPT | | Tecnica di georeferenziazione | rilievo tramite GPS |
| | GPM | | Metodo di posizionamento | posizionamento esatto |
| | VRP | | VALUTAZIONE DEL POTENZIALE ARCHEOLOGICO | |
| | | VRPS | Valutazione di sintesi | 3. potenziale basso |
| UR25 T AV. XXXI | | | | |
| | RCG | | RICOGNIZIONE ARCHEOLOGICA | |
| | | RCGV | Denominazione ricognizione | Terenass - cavidotto di collegamento - UR25 |
| | | RCGD | Riferimento cronologico | 19/06 - 5/07/2020 |
| | | RCGT | Situazione ambientale | Tratto viario che incrocia la UR 25 con la UR2: banchi rocciosi a bordo strada; vegetazione arbustiva coprente a dx e a sx; verso la fine dell'UR il terreno appare più pianeggiante e coperto da vegetazione temporanea. Non si segnalano evidenze archeologiche. |
| | | RCGE | Motivo | verifica preventiva |
| | | RCGM | Metodo | sistematico |
| | | RCGR | Ente responsabile | SABAP SS e NU |
| | | RCGA | Responsabile scientifico | Manca di Mores, Giuseppina |
| | | RCGZ | Note | Lato sinistro: visibilità bassa permanente. Lato destro: visibilità bassa permanente. |
| GE | | | GEOREFERENZIAZIONE | |
| | GEL | | Tipo di localizzazione | localizzazione fisica |
| | GET | | Tipo di georeferenziazione | georeferenziazione lineare |
| | GEP | | Sistema di riferimento | WGS84 |
| | GEC | | COORDINATE | |
| | | GECX | Coordinata x | 9.448836 |
| | | GECY | Coordinata y | 40.578638 |
| | | GECS | Note | inizio UR |
| | | GECX | Coordinata x | 9.438029 |
| | | GECY | Coordinata y | 40.579039 |
| | | GECS | Note | fine UR |
| | GPT | | Tecnica di georeferenziazione | rilievo tramite GPS |
| | GPM | | Metodo di posizionamento | posizionamento esatto |
| | VRP | | VALUTAZIONE DEL POTENZIALE ARCHEOLOGICO | |
| | | VRPS | Valutazione di sintesi | 2. potenziale molto basso |
| UR26 T AV. XXXII | | | | |
| | RCG | | RICOGNIZIONE ARCHEOLOGICA | |
| | | RCGV | Denominazione ricognizione | Terenass - cavidotto di collegamento - UR26 |
| | | RCGD | Riferimento cronologico | 19/06 - 5/07/2020 |



| | | | | |
|--------------------------|-----|------|--|--|
| | | RCGT | Situazione ambientale | Il tratto indagato parte dall'aerogeneratore BT05 e si conclude in prossimità dell'area di rispetto dell'aerogeneratore BT06: vegetazione rada, erbacea, falciata; cardi; diversi accumuli da spietramento. Non si segnalano evidenze archeologiche. |
| | | RCGE | Motivo | verifica preventiva |
| | | RCGM | Metodo | sistematico |
| | | RCGR | Ente responsabile | SABAP SS e NU |
| | | RCGA | Responsabile scientifico | Manca di Mores, Giuseppina |
| | | RCGZ | Note | Lato sinistro: visibilità alta. Lato destro: visibilità alta. |
| GE | | | GEOREFERENZIAZIONE | |
| | GEL | | Tipo di localizzazione | localizzazione fisica |
| | GET | | Tipo di georeferenziazione | georeferenziazione lineare |
| | GEP | | Sistema di riferimento | WGS84 |
| | GEC | | COORDINATE | |
| | | GECX | Coordinata x | 9.393338 |
| | | GECY | Coordinata y | 40.566037 |
| | | GECS | Note | inizio UR |
| | | GECX | Coordinata x | 9.392880 |
| | | GECY | Coordinata y | 40.563758 |
| | | GECS | Note | fine UR |
| | GPT | | Tecnica di georeferenziazione | rilievo tramite GPS |
| | GPM | | Metodo di posizionamento | posizionamento esatto |
| | VRP | | VALUTAZIONE DEL POTENZIALE ARCHEOLOGICO | |
| | | VRPS | Valutazione di sintesi | 2. potenziale molto basso |
| UR27 T AV. XXXIII | | | | |
| | | RCGV | Denominazione ricognizione | Terenass - cavidotto di collegamento - UR27 |
| | | RCGD | Riferimento cronologico | 19/06 - 5/07/2020 |
| | | RCGT | Situazione ambientale | Ai lati del sentiero, vegetazione erbacea coprente con felci, rovo e querce. Nel tratto dal cancello all'aerogeneratore BT06: sentiero sterrato con ai lati fitta vegetazione erbacea e arbustiva. Non si segnalano evidenze archeologiche. |
| | | RCGE | Motivo | verifica preventiva |
| | | RCGM | Metodo | sistematico |
| | | RCGR | Ente responsabile | SABAP SS e NU |
| | | RCGA | Responsabile scientifico | Manca di Mores, Giuseppina |
| | | RCGZ | Note | Lato sinistro: visibilità bassa permanente. Lato destro: visibilità bassa permanente. |
| GE | | | GEOREFERENZIAZIONE | |
| | GEL | | Tipo di localizzazione | localizzazione fisica |
| | GET | | Tipo di georeferenziazione | georeferenziazione lineare |
| | GEP | | Sistema di riferimento | WGS84 |
| | GEC | | COORDINATE | |



| | | | | |
|-------------|--------------------|------|--|--|
| | | GECX | Coordinata x | 9.393657 |
| | | GECY | Coordinata y | 40.562844 |
| | | GECS | Note | inizio UR |
| | | GECX | Coordinata x | 9.395016 |
| | | GECY | Coordinata y | 40.561206 |
| | | GECS | Note | fine UR |
| | GPT | | Tecnica di georeferenziazione | rilievo tramite GPS |
| | GPM | | Metodo di posizionamento | posizionamento esatto |
| | VRP | | VALUTAZIONE DEL POTENZIALE ARCHEOLOGICO | |
| | | VRPS | Valutazione di sintesi | 2. potenziale molto basso |
| UR28 | T AV. XXXIV | | | |
| | | RCGV | Denominazione ricognizione | Terenass - cavidotto di collegamento - UR28 |
| | | RCGD | Riferimento cronologico | 19/06 - 5/07/2020 |
| | | RCGT | Situazione ambientale | Il percorso comprende il tratto che dal cancello sulla strada conduce all'aerogeneratore BT07. Nella parte iniziale del percorso, verso BT07, area boscosa con sugherete. Al suolo vegetazione erbacea fitta e arbustiva. Visibilità bassa, tranne che in qualche zona più pulita che non ha mostrato evidenze. Vegetazione arbustiva coerente su base rocciosa. |
| | | RCGE | Motivo | verifica preventiva |
| | | RCGM | Metodo | sistematico |
| | | RCGR | Ente responsabile | SABAP SS e NU |
| | | RCGA | Responsabile scientifico | Manca di Mores, Giuseppina |
| | | RCGZ | Note | Lato sinistro: visibilità nulla permanente. Lato destro: visibilità nulla permanente. |
| GE | | | GEOREFERENZIAZIONE | |
| | GEL | | Tipo di localizzazione | localizzazione fisica |
| | GET | | Tipo di georeferenziazione | georeferenziazione lineare |
| | GEP | | Sistema di riferimento | WGS84 |
| | GEC | | COORDINATE | |
| | | GECX | Coordinata x | 9.395016 |
| | | GECY | Coordinata y | 40.561206 |
| | | GECS | Note | inizio UR |
| | | GECX | Coordinata x | 9.390031 |
| | | GECY | Coordinata y | 40.558094 |
| | | GECS | Note | fine UR |
| | GPT | | Tecnica di georeferenziazione | rilievo tramite GPS |
| | GPM | | Metodo di posizionamento | posizionamento esatto |
| | VRP | | VALUTAZIONE DEL POTENZIALE ARCHEOLOGICO | |
| | | VRPS | Valutazione di sintesi | 2. potenziale molto basso |
| UR29 | T AV. XXXV | | | |



| RCG | | RICOGNIZIONE ARCHEOLOGICA | | |
|-------------------------|------------|---------------------------|--|--|
| | | RCGV | Denominazione ricognizione | Terenass - cavidotto di collegamento - UR29 |
| | | RCGD | Riferimento cronologico | 19/06 - 5/07/2020 |
| | | RCGT | Situazione ambientale | L'unità è suddivisa in due parti, a e b. Il percorso si diparte dal bivio sulla SP50, con ai lati vegetazione arbustiva e arborea coprente su base rocciosa, e prosegue lungo il sentiero d'ingresso per l'aerogeneratore BT11. Nel sentiero di ingresso, vegetazione erbacea coprente su vasta zona, ai limiti della quale bosco di sugherete, affioramenti rocciosi e molto pietrame sparso. |
| | | RCGE | Motivo | verifica preventiva |
| | | RCGM | Metodo | sistematico |
| | | RCGR | Ente responsabile | SABAP SS e NU |
| | | RCGA | Responsabile scientifico | Manca di Mores, Giuseppina |
| | | RCGZ | Note | UR 29a - Lato sinistro: visibilità nulla permanente. Lato destro: visibilità nulla permanente.//UR29b - Lato sinistro: visibilità bassa temporanea. Lato destro: visibilità bassa temporanea. |
| GE | | | GEOREFERENZIAZIONE | |
| | GEL | | Tipo di localizzazione | localizzazione fisica |
| | GET | | Tipo di georeferenziazione | georeferenziazione lineare |
| | GEP | | Sistema di riferimento | WGS84 |
| | GEC | | COORDINATE | |
| | | GECX | Coordinata x | 9.393873 |
| | | GECY | Coordinata y | 40.558305 |
| | | GECS | Note | inizio UR |
| | | GECX | Coordinata x | 9.398095 |
| | | GECY | Coordinata y | 40.555984 |
| | | GECS | Note | fine UR |
| | GPT | | Tecnica di georeferenziazione | rilievo tramite GPS |
| | GPM | | Metodo di posizionamento | posizionamento esatto |
| | VRP | | VALUTAZIONE DEL POTENZIALE ARCHEOLOGICO | |
| | | VRPS | Valutazione di sintesi | 2. potenziale molto basso |
| UR30 T AV. XXXVI | | | | |
| | RCG | | RICOGNIZIONE ARCHEOLOGICA | |
| | | RCGV | Denominazione ricognizione | Terenass - cavidotto di collegamento - UR30 |
| | | RCGD | Riferimento cronologico | 19/06 - 5/07/2020 |



| | | | | |
|------|--------------------|------|--|---|
| | | | | L'unità, suddivisa in due parti, a e b, si estende dal bivio sulla strada Bitti -Mamone sino all' incrocio a ovest per l'aerogeneratore BT08. Nella parte a, fitta vegetazione arbustiva e boschiva con radure e pietrame sparso; verso la fine dell'UR, prima dell'innesto con la Bitti - Mamone, sono visibili alcuni fabbricati sulla sinistra. Il tratto b, in direzione sud/sud-ovest sino al bivio, è caratterizzato da fitta vegetazione boschiva e arbustiva su base rocciosa, delimitata a bordo strada da muretti a secco. Non si segnalano evidenze archeologiche. |
| | | RCGT | Situazione ambientale | |
| | | RCGE | Motivo | verifica preventiva |
| | | RCGM | Metodo | sistematico |
| | | RCGR | Ente responsabile | SABAP SS e NU |
| | | RCGA | Responsabile scientifico | Manca di Mores, Giuseppina |
| | | RCGZ | Note | UR30a - Lato sinistro: visibilità bassa permanente. Lato destro: visibilità bassa permanente. // UR30b - Lato sinistro: visibilità bassa permanente. Lato destro: visibilità bassa permanente. |
| GE | | | GEOREFERENZIAZIONE | |
| | GEL | | Tipo di localizzazione | localizzazione fisica |
| | GET | | Tipo di georeferenziazione | georeferenziazione lineare |
| | GEP | | Sistema di riferimento | WGS84 |
| | GEC | | COORDINATE | |
| | | GECX | Coordinata x | 9.399627 |
| | | GECY | Coordinata y | 40.556288 |
| | | GECS | Note | inizio UR |
| | | GECX | Coordinata x | 9.397386 |
| | | GECY | Coordinata y | 40.544855 |
| | | GECS | Note | fine UR |
| | GPT | | Tecnica di georeferenziazione | rilievo tramite GPS |
| | GPM | | Metodo di posizionamento | posizionamento esatto |
| | VRP | | VALUTAZIONE DEL POTENZIALE ARCHEOLOGICO | |
| | | VRPS | Valutazione di sintesi | 2. potenziale molto basso |
| UR31 | TAV. XXXVII | | | |
| | RCG | | RICOGNIZIONE ARCHEOLOGICA | |
| | | RCGV | Denominazione ricognizione | Terenass - cavidotto di collegamento - UR31 |
| | | RCGD | Riferimento cronologico | 19/06 - 5/07/2020 |
| | | RCGT | Situazione ambientale | L'unità parte dall'incrocio sulla strada asfaltata sino all'aerogeneratore BT09. Sulla sx, foraggere e vegetazione erbacea alta; a dx, vegetazione arbustiva più meno fitta, che si dirada avvicinandosi al punto di istallazione dall'aerogeneratore. Non si segnalano evidenze archeologiche. |



| | | | | |
|------|---------------------|------|--|---|
| | | RCGE | Motivo | verifica preventiva |
| | | RCGM | Metodo | sistematico |
| | | RCGR | Ente responsabile | SABAP SS e NU |
| | | RCGA | Responsabile scientifico | Manca di Mores, Giuseppina |
| | | RCGZ | Note | Lato sinistro: visibilità bassa permanente. Lato destro: visibilità bassa temporanea. |
| GE | | | GEOREFERENZIAZIONE | |
| | GEL | | Tipo di localizzazione | localizzazione fisica |
| | GET | | Tipo di georeferenziazione | georeferenziazione lineare |
| | GEP | | Sistema di riferimento | WGS84 |
| | GEC | | COORDINATE | |
| | | GECX | Coordinata x | 9.397386 |
| | | GECY | Coordinata y | 40.544855 |
| | | GECS | Note | inizio UR |
| | | GECX | Coordinata x | 9.403454 |
| | | GECY | Coordinata y | 40.544819 |
| | | GECS | Note | fine UR |
| | GPT | | Tecnica di georeferenziazione | rilievo tramite GPS |
| | GPM | | Metodo di posizionamento | posizionamento esatto |
| | VRP | | VALUTAZIONE DEL POTENZIALE ARCHEOLOGICO | |
| | | VRPS | Valutazione di sintesi | 3. potenziale basso |
| UR32 | TAV. XXXVIII | | | |
| | | RCGV | Denominazione ricognizione | Terenass - cavidotto di collegamento - UR32 |
| | | RCGD | Riferimento cronologico | 19/06 - 5/07/2020 |



| | | | | |
|----|-----|------|-------------------------------|--|
| | | | | <p>Le fasce ai lati del sentiero sono occupate da vegetazione erbacea alta e foraggere con gruppi di vegetazione arborea (sughere). Nel tratto che dall'aerogeneratore BT10 va verso l'ubicazione dell'insediamento di Gallili, il terreno è coperto da foraggere non falciate e da fitta vegetazione erbacea. Avvicinandosi all'area in cui è segnalato l'abitato nuragico (?) di Galili, la vegetazione è fitta e coprente, con felci, rovi, cardi e rare querce che impediscono un'adeguata ricognizione. Non è stato infatti possibile documentare direttamente i resti dell'abitato, noto unicamente da una carta di distribuzione del Parco di Tepilora. Rientrando sul sentiero sterrato, ai lati si apprezza una fitta vegetazione arbustiva e erbacea: sulla sinistra alti elementi a rovo, sulla destra, oltre la recinzione, vegetazione erbacea coprente. Dal fondo del sentiero sterrato affiora in più tratti una sistemazione in pietrame, analoga a quelle precedentemente segnalate in UR10 e UR13, che suggerisce cautela per la presenza, in questa zona, di diramazioni secondarie delle rete viaria di età romana che da caput Thyrsi serviva diversi abitati nel territorio (cfr. relazione, 7.Potenziale archeologico). Proseguendo nel sentiero prima dell'ingresso all'area dell'aerogeneratore BT09 e a seguire sino all'aerogeneratore BT10, vegetazione erbacea alta, foraggere e gruppi isolati di vegetazione arborea (sughere).</p> |
| | | RCGT | Situazione ambientale | |
| | | RCGE | Motivo | verifica preventiva |
| | | RCGM | Metodo | sistematico |
| | | RCGR | Ente responsabile | SABAP SS e NU |
| | | RCGA | Responsabile scientifico | Manca di Mores, Giuseppina |
| | | RCGZ | Note | Lato sinistro: visibilità bassa permanente. Lato destro: visibilità bassa temporanea. |
| GE | | | GEOREFERENZIAZIONE | |
| | GEL | | Tipo di localizzazione | localizzazione fisica |
| | GET | | Tipo di georeferenziazione | georeferenziazione lineare |
| | GEP | | Sistema di riferimento | WGS84 |
| | GEC | | COORDINATE | |
| | | GECX | Coordinata x | 9.402540 |
| | | GECY | Coordinata y | 40.544644 |
| | | GECS | Note | inizio UR |
| | | GECX | Coordinata x | 9.404157 |
| | | GECY | Coordinata y | 40.540932 |
| | | GECS | Note | fine UR |
| | GPT | | Tecnica di georeferenziazione | rilievo tramite GPS |
| | GPM | | Metodo di posizionamento | posizionamento esatto |



| | VRP | | VALUTAZIONE DEL POTENZIALE ARCHEOLOGICO | |
|-------------|--------------------|------|--|---|
| | | VRPS | Valutazione di sintesi | 4. potenziale medio |
| UR33 | T AV. XXXIX | | | |
| | | RCGV | Denominazione ricognizione | Terenass - Aerogeneratore BT01 - UR33 |
| | | RCGD | Riferimento cronologico | 19/06 - 5/07/2020 |
| | | RCGT | Situazione ambientale | Survey nell'areale di 100 m di raggio e oltre in corrispondenza dell'ubicazione dell'aerogeneratore BT01. Vegetazione coprente arbustiva con rari alberi a basso fusto. Ai lati del sentiero sterrato che permette di raggiungere la base di un leggero rilievo sulla cui sommità è l'ubicazione della macchina, la vegetazione arbustiva e erbacea conferisce visibilità bassa al terreno, che, comunque indagato, non restituisce informazioni relative a presenze antropiche antiche. Nel punto esatto del posizionamento della macchina la vegetazione è coprente permanente, con arbusti e macchia mediterranea. |
| | | RCGE | Motivo | verifica preventiva |
| | | RCGM | Metodo | sistematico |
| | | RCGR | Ente responsabile | SABAP SS e NU |
| | | RCGA | Responsabile scientifico | Manca di Mores, Giuseppina |
| | | RCGZ | Note | Visibilità bassa permanente |
| GE | | | GEOREFERENZIAZIONE | |
| | GEL | | Tipo di localizzazione | localizzazione fisica |
| | GET | | Tipo di georeferenziazione | georeferenziazione puntuale |
| | GEP | | Sistema di riferimento | WGS84 |
| | GEC | | COORDINATE | |
| | | GECX | Coordinata x | 9.463958 |
| | | GECY | Coordinata y | 40.583863 |
| | | GECS | Note | baricentro aerogeneratore |
| | GPT | | Tecnica di georeferenziazione | rilievo tramite GPS |
| | GPM | | Metodo di posizionamento | posizionamento esatto |
| | VRP | | VALUTAZIONE DEL POTENZIALE ARCHEOLOGICO | |
| | | VRPS | Valutazione di sintesi | 2. potenziale molto basso |
| UR34 | T AV. XL | | | |
| | RCG | | RICOGNIZIONE ARCHEOLOGICA | |
| | | RCGV | Denominazione ricognizione | Terenass - Aerogeneratore BT02 - UR34 |
| | | RCGD | Riferimento cronologico | 19/06 - 5/07/2020 |



| | | | | |
|-------------|------------------|------|--|---|
| | | RCGT | Situazione ambientale | Survey nell'areale di 100 m di raggio e oltre in corrispondenza dell'ubicazione dell'aerogeneratore BT02. Vegetazione coprente erbosa; erba secca, ferula, cardi, macchia mediterranea e roverelle. Zone di pietrame sparso di piccole, medie e grandi dimensioni. Non si segnalano evidenze archeologiche. |
| | | RCGE | Motivo | verifica preventiva |
| | | RCGM | Metodo | sistematico |
| | | RCGR | Ente responsabile | SABAP SS e NU |
| | | RCGA | Responsabile scientifico | Manca di Mores, Giuseppina |
| | | RCGZ | Note | visibilità bassa temporanea |
| GE | | | GEOREFERENZIAZIONE | |
| | GEL | | Tipo di localizzazione | localizzazione fisica |
| | GET | | Tipo di georeferenziazione | georeferenziazione puntuale |
| | GEP | | Sistema di riferimento | WGS84 |
| | GEC | | COORDINATE | |
| | | GECX | Coordinata x | 9.455539 |
| | | GECY | Coordinata y | 40.580650 |
| | | GECS | Note | baricentro aerogeneratore |
| | GPT | | Tecnica di georeferenziazione | rilievo tramite GPS |
| | GPM | | Metodo di posizionamento | posizionamento esatto |
| | VRP | | VALUTAZIONE DEL POTENZIALE ARCHEOLOGICO | |
| | | VRPS | Valutazione di sintesi | 3. potenziale basso |
| UR35 | T AV. XLI | | | |
| | RCG | | RICOGNIZIONE ARCHEOLOGICA | |
| | | RCGV | Denominazione ricognizione | Terenass - Aerogeneratore BT03 - UR35 |
| | | RCGD | Riferimento cronologico | 19/06 - 5/07/2020 |



| | | | | |
|------------------------|-----|------|--|--|
| | | | | Survey nell'areale di 100 m di raggio e oltre in corrispondenza dell'ubicazione dell'aerogeneratore BT03. Si osserva molto pietrame sparso di piccola pezzatura sulla leggera collina dietro la casa, presso il traliccio dell'energia elettrica. Vegetazione erbacea bassa, visibilità buona, cespugli macchia mediterranea. Verso nord, vegetazione erbacea coprente. Nell'area a sud-ovest dell'ubicazione dell'aerogeneratore si apprezza un'area di spietramento con pietre di grandi dimensioni. Anche se sul terreno, in questo punto coperto anche da vegetazione arbustiva, non appaiono chiari allineamenti, si segnala cautela, anche con riferimento alla segnalazione, nella fotointerpretazione, di possibili anomalie ad andamento circolare. Nella parte più alta della legggera altura, buona visibilità data da rada vegetazione di cardi e dove il terreno non sembra suggerire evidenze degne di nota. Altra parte dell'area, nel rientrare verso la casa, ha copertura erbacea totalmente coprente. |
| | | RCGT | Situazione ambientale | |
| | | RCGE | Motivo | verifica preventiva |
| | | RCGM | Metodo | sistematico |
| | | RCGR | Ente responsabile | SABAP SS e NU |
| | | RCGA | Responsabile scientifico | Manca di Mores, Giuseppina |
| | | RCGZ | Note | Visibilità bassa temporanea |
| GE | | | GEOREFERENZIAZIONE | |
| | GEL | | Tipo di localizzazione | localizzazione fisica |
| | GET | | Tipo di georeferenziazione | georeferenziazione puntuale |
| | GEP | | Sistema di riferimento | WGS84 |
| | GEC | | COORDINATE | |
| | | GECX | Coordinata x | 9.446842 |
| | | GECY | Coordinata y | 40.583012 |
| | | GECS | Note | baricentro aerogeneratore |
| | GPT | | Tecnica di georeferenziazione | rilievo tramite GPS |
| | GPM | | Metodo di posizionamento | posizionamento esatto |
| | VRP | | VALUTAZIONE DEL POTENZIALE ARCHEOLOGICO | |
| | | VRPS | Valutazione di sintesi | 4. potenziale medio |
| UR36 T AV. XLII | | | | |
| | RCG | | RICOGNIZIONE ARCHEOLOGICA | |
| | | RCGV | Denominazione ricognizione | Terenass - Aerogeneratore BT04 - UR36 |
| | | RCGD | Riferimento cronologico | 19/06 - 5/07/2020 |



| | | | | |
|-------------------------|------------|------|--|--|
| | | RCGT | Situazione ambientale | Survey nell'areale di 100 m di raggio e oltre in corrispondenza dell'ubicazione dell'aerogeneratore BT04. Inizio cavidotto -a sx viale ingresso: vegetazione coprente di foraggiere falciate e ancora sul campo. A dx del viottolo, situazione analoga appena meno compatta. L'areale dei complessivi 200 m dell'aerogeneratore 8, ubicata sul retro della fattoria lungo il pendio collinare, è area pascolativa con vegetazione erbacea coprente e vegetazione arborea molto rada. |
| | | RCGE | Motivo | verifica preventiva |
| | | RCGM | Metodo | sistematico |
| | | RCGR | Ente responsabile | SABAP SS e NU |
| | | RCGA | Responsabile scientifico | Manca di Mores, Giuseppina |
| | | RCGZ | Note | visibilità:bassa temporanea |
| GE | | | GEOREFERENZIAZIONE | |
| | GEL | | Tipo di localizzazione | localizzazione fisica |
| | GET | | Tipo di georeferenziazione | georeferenziazione lineare |
| | GEP | | Sistema di riferimento | WGS84 |
| | GEC | | COORDINATE | |
| | | GECX | Coordinata x | 9.434270 |
| | | GECY | Coordinata y | 40.581822 |
| | | GECS | Note | baricentro aerogeneratore |
| | GPT | | Tecnica di georeferenziazione | rilievo tramite GPS |
| | GPM | | Metodo di posizionamento | posizionamento esatto |
| | VRP | | VALUTAZIONE DEL POTENZIALE ARCHEOLOGICO | |
| | | VRPS | Valutazione di sintesi | 2. potenziale molto basso |
| UR37 T AV. XLIII | | | | |
| | RCG | | RICOGNIZIONE ARCHEOLOGICA | |
| | | RCGV | Denominazione ricognizione | Terenass - Aerogeneratore BT05 -UR37 |
| | | RCGD | Riferimento cronologico | 19/06 - 5/07/2020 |
| | | RCGT | Situazione ambientale | Survey nell'areale di 100 m di raggio e oltre in corrispondenza dell'ubicazione dell'aerogeneratore BT05: macchia mediterranea, vegetazione arbustiva ed erbacea fitta, sia a bordo della strada di accesso che nell'area di ubicazione della macchina. Non si segnalano evidenze archeologiche. |
| | | RCGE | Motivo | verifica preventiva |
| | | RCGM | Metodo | sistematico |
| | | RCGR | Ente responsabile | SABAP SS e NU |
| | | RCGA | Responsabile scientifico | Manca di Mores, Giuseppina |
| | | RCGZ | Note | Visibilità bassa permanente |
| GE | | | GEOREFERENZIAZIONE | |
| | GEL | | Tipo di localizzazione | localizzazione fisica |



| | | | | |
|-------------|-------------------|------|--|---|
| | GET | | Tipo di georeferenziazione | georeferenziazione puntuale |
| | GEP | | Sistema di riferimento | WGS84 |
| | GEC | | COORDINATE | |
| | | GECX | Coordinata x | 9.393233 |
| | | GECY | Coordinata y | 40.566964 |
| | | GECS | Note | baricentro aerogeneratore |
| | GPT | | Tecnica di georeferenziazione | rilievo tramite GPS |
| | GPM | | Metodo di posizionamento | posizionamento esatto |
| | VRP | | VALUTAZIONE DEL POTENZIALE ARCHEOLOGICO | |
| | | VRPS | Valutazione di sintesi | 3. potenziale basso |
| UR38 | T AV. XLIV | | | |
| | RCG | | RICOGNIZIONE ARCHEOLOGICA | |
| | | RCGV | Denominazione ricognizione | Terenass - Aerogeneratore BT06 - UR38 |
| | | RCGD | Riferimento cronologico | 19/06 - 5/07/2020 |
| | | RCGT | Situazione ambientale | Survey nell'areale di 100 m di raggio e oltre in corrispondenza dell'ubicazione dell'aerogeneratore BT06: vegetazione rada erbacea, cardi; diversi accumuli da spietramento. Non si segnalano evidenze archeologiche. |
| | | RCGE | Motivo | verifica preventiva |
| | | RCGM | Metodo | sistematico |
| | | RCGR | Ente responsabile | SABAP SS e NU |
| | | RCGA | Responsabile scientifico | Manca di Mores, Giuseppina |
| | | RCGZ | Note | visibilità media |
| GE | | | GEOREFERENZIAZIONE | |
| | GEL | | Tipo di localizzazione | localizzazione fisica |
| | GET | | Tipo di georeferenziazione | georeferenziazione puntuale |
| | GEP | | Sistema di riferimento | WGS84 |
| | GEC | | COORDINATE | |
| | | GECX | Coordinata x | 9.392465 |
| | | GECY | Coordinata y | 40.562939 |
| | | GECS | Note | baricentro aerogeneratore |
| | GPT | | Tecnica di georeferenziazione | rilievo tramite GPS |
| | GPM | | Metodo di posizionamento | posizionamento esatto |
| | VRP | | VALUTAZIONE DEL POTENZIALE ARCHEOLOGICO | |
| | | VRPS | Valutazione di sintesi | 2. potenziale molto basso |
| UR39 | T AV. XLV | | | |
| | | RCGV | Denominazione ricognizione | Terenass - Aerogeneratore BT07 - UR39 |
| | | RCGD | Riferimento cronologico | 19/06 - 5/07/2020 |



| | | | | |
|------------------------|------------|------|--|---|
| | | | | Survey nell'areale di 100 m di raggio e oltre in corrispondenza dell'ubicazione dell'aerogeneratore BT07. Area pianeggiante con pietrame di piccola pezzatura affiorante. Vegetazione erbacea falciata, querce da sughero, macchia mediterranea. Sentiero verso cancello con macchia e sughere. Vegetazione arbustiva ed erbacea. Presenza scisto e granito chiaro. Non si segnalano evidenze archeologiche. |
| | | RCGT | Situazione ambientale | |
| | | RCGE | Motivo | verifica preventiva |
| | | RCGM | Metodo | sistematico |
| | | RCGR | Ente responsabile | SABAP SS e NU |
| | | RCGA | Responsabile scientifico | Manca di Mores, Giuseppina |
| | | RCGZ | Note | Visibilità alta |
| GE | | | GEOREFERENZIAZIONE | |
| | GEL | | Tipo di localizzazione | localizzazione fisica |
| | GET | | Tipo di georeferenziazione | georeferenziazione puntuale |
| | GEP | | Sistema di riferimento | WGS84 |
| | GEC | | COORDINATE | |
| | | GECX | Coordinata x | 9.389009 |
| | | GECY | Coordinata y | 40.558586 |
| | | GECS | Note | baricentro aerogeneratore |
| | GPT | | Tecnica di georeferenziazione | rilievo tramite GPS |
| | GPM | | Metodo di posizionamento | posizionamento esatto |
| | VRP | | VALUTAZIONE DEL POTENZIALE ARCHEOLOGICO | |
| | | VRPS | Valutazione di sintesi | 2. potenziale molto basso |
| UR40 T AV. XLVI | | | | |
| | RCG | | RICOGNIZIONE ARCHEOLOGICA | |
| | | RCGV | Denominazione ricognizione | Terenass - Aerogeneratore BT08 - UR40 |
| | | RCGD | Riferimento cronologico | 19/06 - 5/07/2020 |
| | | | | Survey nell'areale di 100 m di raggio e oltre in corrispondenza dell'ubicazione dell'aerogeneratore BT08. Zona pianeggiante risparmiata all'interno di un querceto; rari cespugli. Dopo alcune fasce di querce si apre una seconda radura, sede dell'aerogeneratore, con vegetazione coprente. Presenza di bestiame al pascolo. Oltre il raggio dei 100 m, la tomba di giganti di Ortai si trova a circa 30 m di distanza a NW, e il nuraghe Ortai a circa 85 m a N. Ai margini dell'area la fotointerpretazione sembra evidenziare anomalie lineari, da sottoporre a ulteriore verifica. |
| | | RCGT | Situazione ambientale | |
| | | RCGE | Motivo | verifica preventiva |
| | | RCGM | Metodo | sistematico |
| | | RCGR | Ente responsabile | SABAP SS e NU |



| | | | | |
|------|-------------|------|--|---|
| | | RCGA | Responsabile scientifico | Manca di Mores, Giuseppina |
| | | RCGZ | Note | visibilità bassa temporanea |
| GE | | | GEOREFERENZIAZIONE | |
| | GEL | | Tipo di localizzazione | localizzazione fisica |
| | GET | | Tipo di georeferenziazione | georeferenziazione puntuale |
| | GEP | | Sistema di riferimento | WGS84 |
| | GEC | | COORDINATE | |
| | | GECX | Coordinata x | 9.394637 |
| | | GECY | Coordinata y | 40.544829 |
| | | GECS | Note | baricentro aerogeneratore |
| | GPT | | Tecnica di georeferenziazione | rilievo tramite GPS |
| | GPM | | Metodo di posizionamento | posizionamento esatto |
| | VRP | | VALUTAZIONE DEL POTENZIALE ARCHEOLOGICO | |
| | | VRPS | Valutazione di sintesi | 8. potenziale alto |
| UR41 | T AV. XLVII | | | |
| | RCG | | RICOGNIZIONE ARCHEOLOGICA | |
| | | RCGV | Denominazione ricognizione | Terenass - Aerogeneratore BT09 -UR41 |
| | | RCGD | Riferimento cronologico | 19/06 - 5/07/2020 |
| | | RCGT | Situazione ambientale | Survey nell'areale di 100 m di raggio e oltre in corrispondenza dell'ubicazione dell'aerogeneratore BT09. Vegetazione coprente di cardo e fieno, punteggiata da sughere isolate che si infittiscono nella parte più lontana dal sentiero sterrato che costeggia il terreno, delimitato da una bassa recinzione. |
| | | RCGE | Motivo | verifica preventiva |
| | | RCGM | Metodo | sistematico |
| | | RCGR | Ente responsabile | SABAP SS e NU |
| | | RCGA | Responsabile scientifico | Manca di Mores, Giuseppina |
| | | RCGZ | Note | visibilità nulla temporanea |
| GE | | | GEOREFERENZIAZIONE | |
| | GEL | | Tipo di localizzazione | localizzazione fisica |
| | GET | | Tipo di georeferenziazione | georeferenziazione puntuale |
| | GEP | | Sistema di riferimento | WGS84 |
| | GEC | | COORDINATE | |
| | | GECX | Coordinata x | 9.404641 |
| | | GECY | Coordinata y | 40.544915 |
| | | GECS | Note | baricentro aerogeneratore |
| | GPT | | Tecnica di georeferenziazione | rilievo tramite GPS |
| | GPM | | Metodo di posizionamento | posizionamento esatto |
| | VRP | | VALUTAZIONE DEL POTENZIALE ARCHEOLOGICO | |
| | | VRPS | Valutazione di sintesi | 4. potenziale medio |



| UR42 T AV. XLVIII | | | | |
|-------------------|------------|------|--|---|
| | RCG | | RICOGNIZIONE ARCHEOLOGICA | |
| | | RCGV | Denominazione ricognizione | Terenass - Aerogeneratore BT10 - UR42 |
| | | RCGD | Riferimento cronologico | 19/06 - 5/07/2020 |
| | | RCGT | Situazione ambientale | Survey nell'areale di 100 m di raggio e oltre in corrispondenza dell'ubicazione dell'aerogeneratore BT10. Sulla destra del sentiero è presente un cancello, oltre il quale, a poca distanza, è ubicato il baricentro dell'installazione dell'aerogeneratore. L'area è occupata da varie piante di sughera; poco oltre il cancello è presente, a sinistra, un abbeveratoio. Al suolo la vegetazione erbacea è falciata, ma la visibilità è bassa per il permanere dello sfalcio. Sulla destra la visibilità è bassa per la presenza di vegetazione coprente. Procedendo oltre il cancello, lungo un sentierino e ai lati dello stesso, la vegetazione è costituita cardi e erba secca e da varie querce da sughero. Non si segnalano evidenze archeologiche. |
| | | RCGE | Motivo | verifica preventiva |
| | | RCGM | Metodo | sistematico |
| | | RCGR | Ente responsabile | SABAP SS e NU |
| | | RCGA | Responsabile scientifico | Manca di Mores, Giuseppina |
| | | RCGZ | Note | visibilità media |
| GE | | | GEOREFERENZIAZIONE | |
| | GEL | | Tipo di localizzazione | localizzazione fisica |
| | GET | | Tipo di georeferenziazione | georeferenziazione puntuale |
| | GEP | | Sistema di riferimento | WGS84 |
| | GEC | | COORDINATE | |
| | | GECX | Coordinata x | 9.404222 |
| | | GECY | Coordinata y | 40.540043 |
| | | GECS | Note | baricentro aerogeneratore |
| | GPT | | Tecnica di georeferenziazione | rilievo tramite GPS |
| | GPM | | Metodo di posizionamento | posizionamento esatto |
| | VRP | | VALUTAZIONE DEL POTENZIALE ARCHEOLOGICO | |
| | | VRPS | Valutazione di sintesi | 4. potenziale medio |
| UR43 T AV. XLIX | | | | |
| | RCG | | RICOGNIZIONE ARCHEOLOGICA | |
| | | RCGV | Denominazione ricognizione | Terenass - Aerogeneratore BT11 - UR43 |
| | | RCGD | Riferimento cronologico | 19/06 - 5/07/2020 |



| | | | | |
|----|-----|------|--|--|
| | | | | Survey nell'areale di 100 m di raggio e oltre in corrispondenza dell'ubicazione dell'aerogeneratore BT11. Zona pianeggiante al limite di un bosco di roverella, cui si accede con un sentiero. Vegetazione erbacea semi-coprente, pietrame sparso di media pezzatura. Al centro dell' area un bancone di roccia. Nella zona pianeggiante centrale, in corrispondenza dell'ubicazione dell'aerogeneratore, ampia presenza di pietrame di piccole dimensioni. Non si segnalano evidenze archeologiche. |
| | | RCGT | Situazione ambientale | |
| | | RCGE | Motivo | verifica preventiva |
| | | RCGM | Metodo | sistematico |
| | | RCGR | Ente responsabile | SABAP SS e NU |
| | | RCGA | Responsabile scientifico | Manca di Mores, Giuseppina |
| | | RCGZ | Note | visibilità alta |
| GE | | | GEOREFERENZIAZIONE | |
| | GEL | | Tipo di localizzazione | localizzazione fisica |
| | GET | | Tipo di georeferenziazione | georeferenziazione puntuale |
| | GEP | | Sistema di riferimento | WGS84 |
| | GEC | | COORDINATE | |
| | | GECX | Coordinata x | 9.397005 |
| | | GECY | Coordinata y | 40.555612 |
| | | GECS | Note | baricentro aerogeneratore |
| | GPT | | Tecnica di georeferenziazione | rilievo tramite GPS |
| | GPM | | Metodo di posizionamento | posizionamento esatto |
| | VRP | | VALUTAZIONE DEL POTENZIALE ARCHEOLOGICO | |
| | | VRPS | Valutazione di sintesi | 2. potenziale molto basso |